



การเตรียมและการพิสูจน์เอกสารลักษณ์อนุภาคของชิ้นงานที่มีรูปแบบระดับนานา  
จากกระบวนการโซล-เจล

โดย  
นางสาววารินี กล้าหาญ

วิทยานิพนธ์นี้เป็นส่วนหนึ่งของการศึกษาตามหลักสูตรปริญญาวิศวกรรมศาสตรมหาบัณฑิต<sup>๑</sup>  
สาขาวิชาวิทยาการและวิศวกรรมพอลิเมอร์  
ภาควิชาวิทยาการและวิศวกรรมวัสดุ  
บัณฑิตวิทยาลัย มหาวิทยาลัยศิลปากร  
ปีการศึกษา 2552  
ลิขสิทธิ์ของบัณฑิตวิทยาลัย มหาวิทยาลัยศิลปากร

การเตรียมและการพิสูจน์เอกสารลักษณ์อนุภาคของซีดิกาที่มีรูปหุนระดับนานาใน  
จากกระบวนการโซล-เจล

โดย  
นางสาววิทินี กล้าหาญ

วิทยานิพนธ์นี้เป็นส่วนหนึ่งของการศึกษาตามหลักสูตรปริญญาวิគกรรมศาสตรมหาบัณฑิต  
สาขาวิชาวิทยาการและวิគกรรมพอลิเมอร์  
ภาควิชาวิทยาการและวิគกรรมวัสดุ  
บัณฑิตวิทยาลัย มหาวิทยาลัยศิลปากร  
ปีการศึกษา 2552  
ลิขสิทธิ์ของบัณฑิตวิทยาลัย มหาวิทยาลัยศิลปากร

**FABRICATION AND CHARACTERIZATION OF NANOPOROUS SILICA-BASED  
PARTICLES VIA SOL-GEL PROCESS**

**By**

**Watinee Klaharn**

**A Thesis Submitted in Partial Fulfillment of the Requirements for the Degree  
MASTER OF ENGINEERING  
Department of Materials Science and Engineering  
Graduate School  
SILPAKORN UNIVERSITY  
2009**

บัณฑิตวิทยาลัย มหาวิทยาลัยศิลปากร อนุมัติให้วิทยานิพนธ์เรื่อง “ การเตรียมและการพิสูจน์เอกสารลักษณะอนุภาคนองซิลิกาที่มีรูพรุนระดับนาโนจากการกระบวนการโซล-เจล ” เสนอโดย นางสาว วาทินี กล้าหาญ เป็นส่วนหนึ่งของการศึกษาตามหลักสูตรปริญญาวิศวกรรมศาสตรมหาบัณฑิต สาขาวิชาวิทยาการและวิศวกรรมพอลิเมอร์

.....  
(รองศาสตราจารย์ ดร.ศรีชัย ชินะตังกูร)

คณบดีบัณฑิตวิทยาลัย  
วันที่ .....เดือน ..... พ.ศ .....

อาจารย์ที่ปรึกษาวิทยานิพนธ์

ผู้ช่วยศาสตราจารย์ ดร. บุศринทร์ เมฆะปะบุตร

คณะกรรมการตรวจสอบวิทยานิพนธ์

..... ประธานกรรมการ

(อาจารย์ ดร.ณัฐวุฒิ ชัยฤทธิ์)

...../...../.....

..... กรรมการ

(อาจารย์ ดร.ศรีพงษ์ ใจน้ำลือชัย)

...../...../.....

..... กรรมการ

(ผู้ช่วยศาสตราจารย์ ดร. บุศринทร์ เมฆะปะบุตร)

...../...../.....

50402222 : สาขาวิชาวิทยาการและวิศวกรรมผลิตเมอร์

คำสำคัญ : ตัวเร่งปฏิกิริยา/ ชิลิกา/ ไซลาเทrn/ โซล-เจล/ ท่อนาโนคาร์บอน

วาระนี้ กล้าหาญ : การเตรียมและการพิสูจน์เอกสารณ์อนุภาคของชิลิกาที่มีรูพรุนระดับนาโนจากกระบวนการโซล-เจล. อาจารย์ที่ปรึกษาวิทยานิพนธ์ : ผศ.ดร. บุศรินทร์ เมฆะปะบุตร. 100 หน้า.

งานวิจัยนี้ได้ทำการศึกษาการเตรียมชิลิกาผ่านกระบวนการโซล-เจล โดยใช้ไซลาเทrn เป็นสารตั้งต้นสำหรับการสังเคราะห์ตัวเร่งปฏิกิริยา  $\text{Fe/SiO}_2$  ต่อไป ซึ่งไซลาเทrn เป็นสารที่มีความเสถียรต่อการเกิดปฏิกิริยาไฮโดรไลซิส และสามารถสังเคราะห์ด้วยกระบวนการ Oxide one pot synthesis การเตรียมชิลิกาได้ศึกษาชนิดของตัวเร่งปฏิกิริยา อัตราส่วนของตัวทำละลาย เวลาที่ใช้ในการเกิดเจล และอุณหภูมิที่ใช้ในการเผา และนำชิลิกาที่เตรียมได้มาวิเคราะห์โครงสร้างทางเคมีด้วยเทคนิคฟูเรียร์แแทรนส์ฟอร์મอินฟราเรดスペกโตรมิเตอร์และลักษณะสัมฐานวิทยาด้วยกล้องจุลทรรศน์อิเล็กตรอนแบบส่อง粒粒 จากนั้นนำชิลิกาที่เตรียมได้ไปใช้เป็นตัวรองรับ โดยการเติมโลหะลงบนผิวของชิลิกาด้วยกระบวนการการทำให้ເອີ້ນຊຸມ และศึกษาผลของปริมาณโลหะ แหล่งโลหะ และอุณหภูมิที่ใช้ในการเผา จากนั้นนำตัวเร่งปฏิกิริยา  $\text{Fe/SiO}_2$  ที่ได้ไปใช้ในกระบวนการสังเคราะห์ท่อนาโนคาร์บอนด้วยกระบวนการตกสะสม ไอยค์นี

จากการทดลองพบว่าอัตราส่วนไฮโดรไลซิสที่เหมาะสมของไซลาเทrn ต่อน้ำ กือใช้อัตราส่วนโดยปริมาตรเป็น 50 ต่อ 1 เมื่อใช้กรดเป็นตัวเร่งปฏิกิริยา ระยะเวลาในการเกิดเจล 1 ชั่วโมง ภายหลังการเผา อุณหภูมิ 600 องศาเซลเซียส เป็นเวลา 3 ชั่วโมง จะได้ชิลิกาที่มีความบริสุทธิ์สูง จากนั้นศึกษาการเตรียม  $\text{Fe/SiO}_2$  พบว่าปริมาณโลหะเหล็กที่เหมาะสมคือ 5 % โดยโมลโดยใช้เหล็กในเตรตเป็นแหล่งโลหะเหล็กที่จะเติมลงบนชิลิกา และใช้กรดไนตริกเป็นตัวเร่งปฏิกิริยาในกระบวนการโซล-เจล ภายหลังการเผา อุณหภูมิ 600 องศาเซลเซียส อัตราการให้ความร้อน 10 องศาเซลเซียสต่อนาที เป็นเวลา 3 ชั่วโมง ทำให้ได้ออนุภาคของ  $\text{Fe/SiO}_2$  ที่มีพื้นที่ผิวสูงกว่าสภาวะอื่น และเมื่อนำ  $\text{Fe/SiO}_2$  ไปใช้เร่งปฏิกิริยาในกระบวนการสังเคราะห์ท่อนาโนคาร์บอนพบว่าสภาวะที่เหมาะสมคือ อุณหภูมิ 600 องศาเซลเซียส เป็นเวลา 2 ชั่วโมง ภายใต้บรรยากาศในไตรเจนทำให้ได้ผลิตภัณฑ์สูงถึง 92 เปอร์เซ็นต์

---

ภาควิชาวิทยาการและวิศวกรรมวัสดุ บัณฑิตวิทยาลัย มหาวิทยาลัยศิลปากร ปีการศึกษา 2552  
ลายมือชื่อนักศึกษา.....

ลายมือชื่ออาจารย์ที่ปรึกษาวิทยานิพนธ์ .....

50402222 : MAJOR : POLYMER SCIENCE AND ENGINEERING

KEY WORDS : CATALYST/ SILICA/ SILATRANE/ SOL-GEL/ CARBON NANOTUBES

WATINEE KLAHARN : FABRICATION AND CHARACTERIZATION OF NANOPOROUS SILICA-BASED PARTICLES VIA SOL-GEL PROCESS. THESIS ADVISOR: BUSARIN KSAPABUTR. 100 pp.

In this present work, silica was prepared via sol-gel technique using silatrane as precursor for synthesizing Fe/SiO<sub>2</sub> catalysts. The silatrane is hydrolytically stable and can be obtained by oxide one pot synthesis. The effect of catalyst type, solvent ratio, gelation time and calcination temperature on the preparation of silica was investigated. The obtained silica was characterized using Fourier Transform Infrared spectrometer and scanning electron microscope and was used as support for synthesizing silica-supported Fe catalysts via impregnation method by varying the metal content, metal source and calcination temperature. The resulting catalysts were applied for the growth of carbon nanotubes by chemical vapor deposition method.

The results showed that the optimal hydrolysis ratio (ratio of silatrane to water) was equal to 50:1 (v/v) when using acid catalyst, gelation time of 1 h, calcination temperature of 600 °C for 3 h, resulting in high purity silica. From the study of Fe/SiO<sub>2</sub> preparation, the optimal iron content was 5 mol% using iron nitrate as metal source and nitric acid as catalyst. High-surface area Fe/SiO<sub>2</sub> catalysts were obtained after heat treatment at 600 °C for 3 h. The appropriate condition for high-yield growth of carbon nanotubes (92%) was found to be at reaction temperature of 600 °C for 3 h under nitrogen atmosphere.

---

Department of Materials Science and Engineering Graduate School, Silpakorn University Academic Year 2009  
Student's signature.....  
Thesis Advisor's signature.....

## กิตติกรรมประกาศ

งานวิจัยนี้สำเร็จลุล่วง ได้กีเนื่องมาจากการได้รับความช่วยเหลือและคำแนะนำซึ่งแน่น  
แนวทางจากอาจารย์ทั้งสองท่านคือ พศ.ดร.บุศรินทร์ เผยะประบูตร และ พศ. มาณพ ปานะปอย ทำ  
ให้ผู้วิจัยสามารถแก้ปัญหาผ่านมาได้ด้วยดี และขอขอบพระคุณอาจารย์ทุกท่านที่ได้ให้คำแนะนำ  
อบรมสั่งสอนข้าพเจ้าตั้งแต่เลิกจนถึงปัจจุบัน

ขอขอบคุณภาควิชาพยาบาลและวิศวกรรมวัสดุ คณะวิศวกรรมศาสตร์และเทคโนโลยี  
อุตสาหกรรม มหาวิทยาลัยศิลปากร และศูนย์ความเป็นเลิศแห่งชาติด้านปีโตรเคมี ปีโตรเคมีและ  
วัสดุขั้นสูง สำหรับทุนการศึกษาและทุนสนับสนุนในการทำวิจัย

ขอบคุณพี่พินิจ เจียนระลึก และพี่ ๆ ทุกคนที่ทำงานในภาควิชาพยาบาลและวิศวกรรม  
วัสดุ คณะวิศวกรรมศาสตร์และเทคโนโลยีอุตสาหกรรม ที่ให้ความสำคัญในการทำงานวิจัยและ  
ขอบคุณพี่ ๆ ทุกคนที่ทำงานในห้องวิจัยเดียวกันที่ช่วยเหลือและอำนวยความสะดวกในการ  
ทำงานเป็นอย่างดี ขอบคุณเพื่อน ๆ ทุกคนที่เคยให้คำปรึกษาและช่วยเหลือกันและกันแม้จะ  
ไม่ได้อยู่ห้องวิจัยเดียวกัน และขอบคุณนายภูวิชช์ พนิตกมล ที่เคยช่วยเหลือทุกอย่างและเคยให้  
กำลังใจข้าพเจ้าตลอดระยะเวลาที่ผ่านมา

สุดท้ายนี้ขอบคุณพ่อและแม่ ที่เลี้ยงดูเอาไว้สู่ข้าพเจ้าและเคยให้กำลังใจเป็นอย่างดี  
และพื้นห้องในครอบครัวที่เคยเป็นกำลังใจให้เสมอมา

ประโยชน์อันใดที่เกิดจากการทำงานวิจัยในครั้งนี้ เป็นผลมาจากความกรุณาของทุกท่าน  
ที่กล่าวมาข้างต้น ดินนขอขอบพระคุณทุกท่านจากใจจริงมา ณ โอกาสนี้

## สารบัญ

	หน้า
บทคัดย่อภาษาไทย .....	๑
บทคัดย่อภาษาอังกฤษ .....	๑
กิตติกรรมประกาศ.....	๒
สารบัญตาราง .....	๒
สารบัญภาพ .....	๒
<b>บทที่</b>	
1 <b>บทนำ.....</b>	<b>1</b>
ความเป็นมาและความสำคัญของปัญหา.....	1
วัตถุประสงค์ของงานวิจัย.....	2
ขอบเขตของการศึกษา.....	2
ผลที่คาดว่าจะได้รับ.....	3
2 <b>เอกสารและงานวิจัยที่เกี่ยวข้อง.....</b>	<b>4</b>
<b>ชิลิกา.....</b>	<b>4</b>
การสังเคราะห์ไซเลท伦.....	5
การเตรียมชิลิกาผ่านเทคนิค โซล-เจล.....	6
ไฮโดรไอลซิสและ polycondensation .....	8
Gelation .....	10
Drying, aging และ fracture prevention .....	10
High temperature treatment and densification .....	11
ตัวเร่งปฏิกิริยา .....	12
ปัจจัยที่มีผลต่อสมบัติของตัวเร่งปฏิกิริยา.....	13
การหาพื้นที่ผิวของตัวเร่งปฏิกิริยา.....	14
ปริมาตรซ่องว่างและความหนาแน่นของแข็ง .....	15
การกระจายตัวของปริมาตรรูพรุนของตัวองรับ .....	15
วิธีการแทนที่ด้วยproto (Mercury-penetration) .....	16
วิธีการ Nitrogen-desorption.....	16
ระดับการกระจายตัวของโลหะ .....	17

บทที่		หน้า
	วิธีการเตรียมตัวเร่งปฏิกิริยา.....	17
	ตัวเร่งปฏิกิริยาที่มีตัวรองรับ .....	17
	ตัวเร่งปฏิกิริยาแบบบล็อก .....	18
	ตัวเร่งปฏิกิริยาที่ไม่มีตัวรองรับ .....	18
	การเตรียมตัวเร่งปฏิกิริยาที่มีตัวรองรับ .....	18
	การตกตะกอน (Precipitation) หรือการตกตะกอนร่วม (Co- precipitation) .....	18
	การพอกพูน (Deposition).....	19
	Incipient wetness หรือการทำให้เอินชั่น (Impregnation).....	19
	Excess solution.....	20
	การแลกเปลี่ยนอิオン (Ion exchange).....	20
	กรรมวิธีหลังการเตรียมตัวเร่งปฏิกิริยา.....	21
	การทำให้แห้ง (Drying).....	21
	การเผาที่อุณหภูมิสูง (Calcination) .....	22
	ท่อนาโนคาร์บอน (Carbon nanotube).....	22
	การสังเคราะห์และการผลิตท่อนาโนคาร์บอน .....	24
	วิธีอาร์คดิสchar์จ (Arc discharge).....	25
	วิธีการ夷ด้วยเลเซอร์ (Pulsed-laser vaporization) .....	25
	วิธีตกสะสมเคมี (Chemical vapor deposition).....	26
3	วิธีการดำเนินงานวิจัย .....	27
	สารเคมีที่ใช้ในการทดลอง .....	27
	เครื่องมือที่ใช้ในการวิเคราะห์ .....	27
	วิธีดำเนินการวิจัย.....	28
	การเตรียมตัวรองรับ.....	28
	การสังเคราะห์ไฮคลาเทน .....	28
	การสังเคราะห์ซิลิกา .....	28
	การเตรียมตัวเร่งปฏิกิริยาแบบวิชพันธ์ .....	28
	การเตรียม Fe/SiO <sub>2</sub> โดยวิธี Impregnation.....	28

บทที่		หน้า
	ศึกษาผลของอุณหภูมิ.....	28
	ศึกษาผลของปริมาณโลหะเหล็ก.....	29
	การสังเคราะห์ท่อนาโนคาร์บอนโดยใช้ตัวเร่งปฏิกิริยาเป็น $\text{Fe/SiO}_2$ .....	30
4	ผลการทดลองและวิจารณ์ผลการทดลอง .....	31
	การพิสูจน์เอกลักษณ์โครงสร้างไซลาเทрон .....	31
	การพิสูจน์เอกลักษณ์ของชิลิกา .....	33
	การทดสอบหาอุณหภูมิที่เหมาะสมต่อการเผาสารตัวอย่าง ด้วยเทคนิค TGA.....	33
	การทดสอบลักษณะสัมฐานวิทยาของชิลิกาด้วยเทคนิค SEM .....	35
	การทดสอบหาอุณหภูมิที่เหมาะสมต่อการเผาสารตัวอย่าง ที่ใช้กรดเป็นตัวเร่งปฏิกิริยาด้วยเทคนิค TGA .....	36
	การพิสูจน์เอกลักษณ์ทางโครงสร้างชิลิกาด้วยเทคนิค FT-IR .....	39
	การพิสูจน์เอกลักษณ์ของ $\text{Fe/SiO}_2$ .....	40
	$\text{Fe/SiO}_2$ ที่เตรียมโดยวิธี Impregnation .....	40
	การพิสูจน์เอกลักษณ์ทางโครงสร้าง $\text{Fe/SiO}_2$ ด้วยเทคนิค FT-IR ..	40
	การทดสอบลักษณะสัมฐานวิทยาของ $\text{Fe/SiO}_2$ ด้วยเทคนิค SEM .....	41
	ศึกษาผลของอุณหภูมิที่ใช้ในการเผา $\text{Fe/SiO}_2$ .....	41
	ศึกษาผลของปริมาณโลหะเหล็กที่ควบลงบนชิลิกา .....	45
	การพิสูจน์เอกลักษณ์ของท่อนาโนคาร์บอน .....	47
	ผลของชนิดของแก๊สเชื้อที่ใช้ในการเกิดปฏิกิริยา .....	47
	ผลของอุณหภูมิที่ใช้ในการเกิดปฏิกิริยา.....	47
	ผลของเวลาที่ใช้ในการเกิดปฏิกิริยา.....	48
	พิสูจน์เอกลักษณ์ทางโครงสร้างของท่อนาโนคาร์บอนด้วยเทคนิค Raman spectroscopy .....	50
5	สรุปผลการทดลอง .....	51
	บรรณานุกรม .....	52

บทที่	หน้า
ภาคผนวก .....	58
ภาคผนวก ก .....	59
ภาคผนวก ข .....	96
ประวัติผู้วิจัย .....	99

## สารบัญตาราง

ตารางที่	หน้า
1 สภาพวัสดุ Fe/SiO <sub>2</sub> โดยศึกษาผลของอุณหภูมิ แหล่งโลหะเหล็ก และตัวเร่งปฏิกิริยาที่ใช้ในการเตรียมซิลิกา .....	29
2 สภาพวัสดุ Fe/SiO <sub>2</sub> โดยศึกษาผลของปริมาณของเหล็ก แหล่งโลหะเหล็กและตัวเร่งปฏิกิริยาที่ใช้ในการเตรียมซิลิกา.....	30
3 สรุปตำแหน่งของสเปกตรัม FT-IR ของไชคานเทรนที่สังเคราะห์ได้.....	33
4 สรุปตำแหน่งที่เกิด D-band, G –band และ I <sub>D</sub> /I <sub>G</sub> ratios ของท่อนาโนคาร์บอน ที่เวลาในการเกิดปฏิกิริยาต่างกัน .....	50
5 ผลของปริมาณน้ำที่ใช้ในการเตรียมซิลิกาเมื่อใช้ H <sub>2</sub> SO <sub>4</sub> ตัวเร่งปฏิกิริยา.....	62
6 ผลของปริมาณน้ำที่ใช้ในการเตรียมซิลิกาเมื่อใช้ HNO <sub>3</sub> ตัวเร่งปฏิกิริยา .....	63
7 ผลของปริมาณน้ำที่ใช้ในการเตรียมซิลิกาเมื่อใช้ NH <sub>4</sub> OH ตัวเร่งปฏิกิริยา .....	64
8 ผลของปริมาณน้ำที่ใช้ในการเตรียมซิลิกาเมื่อใช้ NaOH ตัวเร่งปฏิกิริยา .....	65

## สารบัญภาพ

ภาพที่		หน้า
1	(a) โครงสร้างในผลึกของซิลิกา โดยซิลิกาจับกับ 4 อะตอมของออกซิเจน ในภาพไม่ได้แสดงอะตอมออกซิเจนที่อยู่ด้านหน้าหรือหลังของระนาบ กระดาษ (b) โครงสร้างของซิลิกาอสัมฐาน .....	4
2	โครงสร้างของสารประกอบไซลาเทรน (Silatrane complexes) ที่อัตราส่วน ของ [TIS]: [SiO <sub>2</sub> ] เป็น 1:1 .....	6
3	สมการแสดงการเกิดปฏิกิริยาไฮโดรไอลซิส .....	9
4	สมการแสดงการเกิดปฏิกิริยาการควบแน่นของน้ำ (Water condensation) .....	9
5	สมการแสดงการเกิดปฏิกิริยาการควบแน่นของแอลกอฮอล์ (Alcohol condensation) .....	9
6	สมการแสดงการเกิดปฏิกิริยา Polycondensation .....	9
7	กระบวนการ โซล-เจล .....	12
8	บทบาทหน้าที่ของตัวเร่งปฏิกิริยาที่มีผลต่อพลังงานก่อการมันต์ .....	13
9	การเตรียมตัวเร่งปฏิกิริยาที่มีตัวรองรับด้วยวิธีการตกตะกอน (Precipitation) หรือการตกตะกอนร่วม (Co- precipitation) .....	19
10	การเตรียมตัวเร่งปฏิกิริยาที่มีตัวรองรับด้วยวิธี Incipient wetness หรือ การทำให้อึบชุ่ม (Impregnation) .....	20
11	เซลล์หนึ่งหน่วย (Unit cell) ของโครงสร้างผลึกแบบกล่องจัตุรัสของเพชร .....	23
12	โครงสร้างของแกรฟิต (Graphite) .....	23
13	โครงสร้างของโมเลกุล C <sub>60</sub> .....	24
14	เครื่อง Arc discharge ที่ใช้ในการสังเคราะห์ท่อนาโนคาร์บอน .....	25
15	เครื่อง Pulsed-laser vaporization ที่ใช้ในการสังเคราะห์ท่อนาโนคาร์บอน .....	26
16	เครื่อง Chemical vapor deposition ที่ใช้ในการสังเคราะห์ท่อนาโนคาร์บอน .....	26
17	โครงสร้างของสารประกอบไซลาเทรนที่สังเคราะห์ได้ .....	31
18	スペクトรัม FT-IR ของไซลาเทรนที่สังเคราะห์ได้ .....	32
19	TGA thermogram ของสารตัวอย่างที่ใช้เตรียมซิลิกา .....	33

ภาพที่		หน้า
20	ถักยณะสารตัวอย่างที่เตรียมโดยใช้ NaOH เป็นตัวเร่งปฏิกิริยา ภายหลังการเผา ที่อุณหภูมิ 600 องศาเซลเซียส อัตราการให้ความร้อน 10 องศาเซลเซียส ต่อนาที เป็นเวลา 3 ชั่วโมง .....	34
21	ภาพถ่าย SEM ของซิลิกาที่เตรียมจากตัวเร่งปฏิกิริยาที่แตกต่างกันคือ (a) ไม่ใช้ ตัวเร่งปฏิกิริยา, (b) $H_2SO_4$ , (c) $HNO_3$ , (d) $NH_4OH$ และ (e) NaOH หลังผ่านการเผา ณ อุณหภูมิ 1000 องศาเซลเซียส .....	35
22	TGA thermogram ของสารตัวอย่างที่ใช้เตรียมซิลิกาโดยใช้ $HNO_3$ เป็นตัวเร่งปฏิกิริยา.....	36
23	TGA thermogram ของสารตัวอย่างที่ใช้เตรียมซิลิกาโดยใช้ $H_2SO_4$ เป็นตัวเร่งปฏิกิริยา.....	37
24	ถักยณะทางกายภาพของสารตัวอย่างที่เตรียมโดยใช้ $H_2SO_4$ เป็นตัวเร่งปฏิกิริยา ภายหลังการเผา ณ อุณหภูมิต่าง ๆ คือ 500, 550 และ 600 องศาเซลเซียส.....	38
25	ถักยณะทางกายภาพของสารตัวอย่างที่เตรียมโดยใช้ $HNO_3$ เป็นตัวเร่งปฏิกิริยา ภายหลังการเผา ณ อุณหภูมิต่าง ๆ คือ 500, 550 และ 600 องศาเซลเซียส.....	38
26	スペกตรัม FT-IR ของซิลิกาที่เตรียมโดยใช้ไชลาเทรนเป็นสารตั้งต้น .....	39
27	スペกตรัม FT-IR ของซิลิกาบริสุทธิ์ทางการค้า.....	40
28	スペกตรัม FT-IR ของ $Fe/SiO_2$ ภายหลังการเผาที่อุณหภูมิ 600 องศาเซลเซียส อัตราการให้ความร้อน 10 องศาเซลเซียสต่อนาที เป็นเวลา 3 ชั่วโมง .....	41
29	ภาพถ่าย SEM ของ $Fe/SiO_2$ ภายหลังการเผาที่อุณหภูมิ 400 องศาเซลเซียส อัตรา <sup>การให้ความร้อน 10 องศาเซลเซียสต่อนาที เป็นเวลา 3 ชั่วโมง .....</sup>	42
30	ภาพถ่าย SEM ของ $Fe/SiO_2$ ภายหลังการเผาที่อุณหภูมิ 500 องศาเซลเซียส อัตรา <sup>การให้ความร้อน 10 องศาเซลเซียสต่อนาที เป็นเวลา 3 ชั่วโมง .....</sup>	43
31	ภาพถ่าย SEM ของ $Fe/SiO_2$ ภายหลังการเผาที่อุณหภูมิ 600 องศาเซลเซียส อัตรา <sup>การให้ความร้อน 10 องศาเซลเซียสต่อนาที เป็นเวลา 3 ชั่วโมง .....</sup>	44
32	ภาพถ่าย SEM ของ $Fe/SiO_2$ เมื่อใช้ปริมาณโลหะเหล็กต่างกันคือ (a) – (d) 3%, (e) – (h) 5% และ (i) - (l) 7% หลังผ่านการเผา ณ อุณหภูมิ 600 องศาเซลเซียส ที่กำลังขยาย 10000 เท่า.....	46

ภาพที่		หน้า
33	ภาพถ่าย SEM ของท่อนาโนคาร์บอนเมื่อใช้แก๊สต่างกัน (a) ไนโตรเจน และ (b) อาร์กอน .....	47
34	ภาพถ่าย SEM ของท่อนาโนคาร์บอนเมื่อใช้อุณหภูมิต่างกันคือ (a) 600, (b) 650 และ (c) 700 องศาเซลเซียส .....	48
35	ภาพถ่าย SEM ของท่อนาโนคาร์บอนเมื่อใช้เวลาต่างกันคือ (a) 1, (b) 2 และ (c) 4 ชั่วโมง.....	49
36	ภาพถ่าย TEM ของท่อนาโนคาร์บอนเมื่อใช้เวลาต่างกันคือ (a) 1, (b) 2 และ (c) 4 ชั่วโมง.....	50
37	スペクトรัม FT-IR ของซิลิกาบริสุทธิ์ทางการค้า .....	60
38	スペクトรัม FT-IR ของไตรออกานอลเอมีน.....	60
39	スペクトรัม FT-IR ของไตรเรอทิลีนเททระเอมีน.....	61
40	スペクトรัม FT-IR ของเอทิลีนไกลดอล .....	61
41	การเตรียมซิลิกาด้วยกระบวนการโซล-เจล โดยใช้ $H_2SO_4$ เป็นตัวเร่งปฏิกิริยา เมื่อใช้ปริมาณน้ำ 0.1 และ 0.5 มิลลิลิตร .....	62
42	การเตรียมซิลิกาด้วยกระบวนการโซล-เจล โดยใช้ $HNO_3$ เป็นตัวเร่งปฏิกิริยา เมื่อใช้ปริมาณน้ำ 0.1 และ 0.5 มิลลิลิตร .....	63
43	การเตรียมซิลิกาด้วยกระบวนการโซล-เจล โดยใช้ $NH_4OH$ เป็นตัวเร่งปฏิกิริยา เมื่อใช้ปริมาณน้ำ 0.1 และ 0.5 มิลลิลิตร .....	64
44	การเตรียมซิลิกาด้วยกระบวนการโซล-เจล โดยใช้ $NaOH$ เป็นตัวเร่งปฏิกิริยา เมื่อใช้ปริมาณน้ำ 0.1 และ 0.5 มิลลิลิตร .....	65
45	ภาพถ่าย SEM ของซิลิกาที่เตรียมได้จากเทคนิคโซล-เจล เมื่อใช้ปริมาณน้ำ 0.1 มิลลิลิตรและไม่ใช้ตัวเร่งปฏิกิริยา ภายใต้ระบบปิดที่กำลังขยายต่าง ๆ ภายหลังการเผา ณ อุณหภูมิ 1000 องศาเซลเซียส (a) 500 เท่า (b) 2,000 เท่า (c) 5,000 เท่าและ (d) 10,000 เท่า .....	66
46	ภาพถ่าย SEM ของซิลิกาที่เตรียมได้จากเทคนิคโซล-เจล เมื่อใช้ปริมาณน้ำ 0.1 มิลลิลิตรและใช้ตัวเร่งปฏิกิริยาเป็น $H_2SO_4$ ภายใต้ระบบปิดที่กำลังขยาย ต่าง ๆ ภายหลังการเผา ณ อุณหภูมิ 1000 องศาเซลเซียส (a) 500 เท่า (b) 2,000 เท่า (c) 5,000 เท่า และ (d) 10,000 เท่า .....	67

ภาพที่		หน้า
47	ภาพถ่าย SEM ของซิลิกาที่เตรียมได้จากเทคนิคโซล-เจล เมื่อใช้ปริมาณน้ำ 0.1 มิลลิลิตรและใช้ตัวเร่งปฏิกิริยาเป็น $\text{HNO}_3$ ภายใต้ระบบปิดที่กำลังขยายต่าง ๆ ภายหลังการเผา ณ อุณหภูมิ 1000 องศาเซลเซียส (a) 500 เท่า (b) 2,000 เท่า (c) 5,000 เท่า และ (d) 10,000 เท่า .....	68
48	ภาพถ่าย SEM ของซิลิกาที่เตรียมได้จากเทคนิคโซล-เจล เมื่อใช้ปริมาณน้ำ 0.1 มิลลิลิตรและใช้ตัวเร่งปฏิกิริยาเป็น $\text{NH}_4\text{OH}$ ภายใต้ระบบปิดที่กำลังขยายต่าง ๆ ภายหลังการเผา ณ อุณหภูมิ 1000 องศาเซลเซียส (a) 500 เท่า (b) 2,000 เท่า (c) 5,000 เท่า และ (d) 10,000 เท่า .....	69
49	ภาพถ่าย SEM ของซิลิกาที่เตรียมได้จากเทคนิคโซล-เจล เมื่อใช้ปริมาณน้ำ 0.1 มิลลิลิตรและใช้ตัวเร่งปฏิกิริยาเป็น $\text{NaOH}$ ภายใต้ระบบปิดที่กำลังขยายต่าง ๆ ภายหลังการเผา ณ อุณหภูมิ 1000 องศาเซลเซียส (a) 500 เท่า (b) 2,000 เท่า (c) 5,000 เท่า และ (d) 10,000 เท่า .....	70
50	TGA thermogram ของ $\text{Fe}(\text{acac})_3$ .....	71
51	TGA thermogram ของ $\text{Fe}(\text{NO}_3)_3$ .....	71
52	ภาพถ่าย SEM ของ $\text{Fe/SiO}_2$ ที่เตรียมจากการกระบวนการ Impregnation ( $\text{Fe}(\text{NO}_3)_3 + \text{HNO}_3$ ภายหลังการเผาที่อุณหภูมิ 400 องศาเซลเซียส อัตราการให้ความร้อน 10 องศาเซลเซียสต่อนาที เป็นเวลา 3 ชั่วโมง (a) 1,000 เท่า (b) 2,000 เท่า (c) 5,000 เท่า และ (d) 10,000 เท่า .....	72
53	ภาพถ่าย SEM ของ $\text{Fe/SiO}_2$ ที่เตรียมจากการกระบวนการ Impregnation ( $\text{Fe}(\text{NO}_3)_3 + \text{H}_2\text{SO}_4$ ภายหลังการเผาที่อุณหภูมิ 400 องศาเซลเซียส อัตราการให้ความร้อน 10 องศาเซลเซียสต่อนาที เป็นเวลา 3 ชั่วโมง (a) 2,000 เท่า (b) 5,000 เท่า (c) 10,000 เท่า และ (d) 20,000 เท่า .....	73
54	ภาพถ่าย SEM ของ $\text{Fe/SiO}_2$ ที่เตรียมจากการกระบวนการ Impregnation ( $\text{Fe}(\text{acac})_3 + \text{HNO}_3$ ภายหลังการเผาที่อุณหภูมิ 400 องศาเซลเซียส อัตราการให้ความร้อน 10 องศาเซลเซียสต่อนาที เป็นเวลา 3 ชั่วโมง (a) 2,000 เท่า (b) 5,000 เท่า และ (c) 10,000 เท่า .....	74

ภาพที่		หน้า
55	ภาพถ่าย SEM ของ Fe/SiO <sub>2</sub> ที่เตรียมจากกระบวนการ Impregnation (Fe(acac) <sub>3</sub> )+H <sub>2</sub> SO <sub>4</sub> ภายหลังการเผาที่อุณหภูมิ 400 องศาเซลเซียส อัตราการให้ความร้อน 10 องศาเซลเซียสต่อนาที เป็นเวลา 3 ชั่วโมง (a) 2,000 เท่า (b) 5,000 เท่า (c) 10,000 เท่า และ (d) 20,000 เท่า .....	75
56	ภาพถ่าย SEM ของ Fe/SiO <sub>2</sub> ที่เตรียมจากกระบวนการ Impregnation (Fe(NO <sub>3</sub> ) <sub>3</sub> )+HNO <sub>3</sub> ภายหลังการเผาที่อุณหภูมิ 500 องศาเซลเซียส อัตราการให้ความร้อน 10 องศาเซลเซียสต่อนาที เป็นเวลา 3 ชั่วโมง (a) 2,000 เท่า (b) 5,000 เท่า (c) 10,000 เท่า และ (d) 20,000 เท่า .....	76
57	ภาพถ่าย SEM ของ Fe/SiO <sub>2</sub> ที่เตรียมจากกระบวนการ Impregnation (Fe(NO <sub>3</sub> ) <sub>3</sub> )+H <sub>2</sub> SO <sub>4</sub> ภายหลังการเผาที่อุณหภูมิ 500 องศาเซลเซียส อัตราการให้ความร้อน 10 องศาเซลเซียสต่อนาที เป็นเวลา 3 ชั่วโมง (a) 2,000 เท่า (b) 5,000 เท่า (c) 10,000 เท่า และ (d) 20,000 เท่า .....	77
58	ภาพถ่าย SEM ของ Fe/SiO <sub>2</sub> ที่เตรียมจากกระบวนการ Impregnation (Fe(acac) <sub>3</sub> )+HNO <sub>3</sub> ภายหลังการเผาที่อุณหภูมิ 500 องศาเซลเซียส อัตราการให้ความร้อน 10 องศาเซลเซียสต่อนาที เป็นเวลา 3 ชั่วโมง (a) 2,000 เท่า (b) 5,000 เท่า (c) 10,000 เท่า และ (d) 20,000 เท่า .....	78
59	ภาพถ่าย SEM ของ Fe/SiO <sub>2</sub> ที่เตรียมจากกระบวนการ Impregnation (Fe(acac) <sub>3</sub> )+H <sub>2</sub> SO <sub>4</sub> ภายหลังการเผาที่อุณหภูมิ 500 องศาเซลเซียส อัตราการให้ความร้อน 10 องศาเซลเซียสต่อนาที เป็นเวลา 3 ชั่วโมง (a) 2,000 เท่า (b) 5,000 เท่า (c) 10,000 เท่า และ (d) 20,000 เท่า .....	79
60	ภาพถ่าย SEM ของ Fe/SiO <sub>2</sub> ที่เตรียมจากกระบวนการ Impregnation (Fe(NO <sub>3</sub> ) <sub>3</sub> )+HNO <sub>3</sub> ภายหลังการเผาที่อุณหภูมิ 600 องศาเซลเซียส อัตราการให้ความร้อน 10 องศาเซลเซียสต่อนาที เป็นเวลา 3 ชั่วโมง (a) 2,000 เท่า (b) 5,000 เท่า (c) 10,000 เท่า และ (d) 20,000 เท่า .....	80
61	ภาพถ่าย SEM ของ Fe/SiO <sub>2</sub> ที่เตรียมจากกระบวนการ Impregnation (Fe(NO <sub>3</sub> ) <sub>3</sub> )+H <sub>2</sub> SO <sub>4</sub> ภายหลังการเผาที่อุณหภูมิ 600 องศาเซลเซียส อัตราการให้ความร้อน 10 องศาเซลเซียสต่อนาที เป็นเวลา 3 ชั่วโมง (a) 2,000 เท่า (b) 5,000 เท่า (c) 10,000 เท่า และ (d) 20,000 เท่า .....	81

ภาพที่		หน้า
62	ภาพถ่าย SEM ของ Fe/SiO <sub>2</sub> ที่เตรียมจากกระบวนการ Impregnation (Fe(acac) <sub>3</sub> )+HNO <sub>3</sub> ภายหลังการเผาที่อุณหภูมิ 600 องศาเซลเซียส อัตราการให้ความร้อน 10 องศาเซลเซียสต่อนาที เป็นเวลา 3 ชั่วโมง (a) 2,000 เท่า (b) 5,000 เท่า (c) 10,000 เท่า และ (d) 20,000 เท่า .....	82
63	ภาพถ่าย SEM ของ Fe/SiO <sub>2</sub> ที่เตรียมจากกระบวนการ Impregnation (Fe(acac) <sub>3</sub> )+H <sub>2</sub> SO <sub>4</sub> ภายหลังการเผาที่อุณหภูมิ 600 องศาเซลเซียส อัตราการให้ความร้อน 10 องศาเซลเซียสต่อนาที เป็นเวลา 3 ชั่วโมง (a) 2,000 เท่า (b) 5,000 เท่า (c) 10,000 เท่า และ (d) 20,000 เท่า .....	83
64	ภาพถ่าย SEM ของ Fe/SiO <sub>2</sub> ที่เตรียมจากกระบวนการ Impregnation (Fe(NO <sub>3</sub> ) <sub>3</sub> )+HNO <sub>3</sub> เมื่อใช้ปริมาณ โลหะเหล็ก 3% ภายหลังการเผาที่อุณหภูมิ 600 องศาเซลเซียส อัตราการให้ความร้อน 10 องศาเซลเซียสต่อนาที เป็นเวลา 3 ชั่วโมง (a) 2,000 เท่า (b) 5,000 เท่า (c) 10,000 เท่า และ (d) 20,000 เท่า .....	84
65	ภาพถ่าย SEM ของ Fe/SiO <sub>2</sub> ที่เตรียมจากกระบวนการ Impregnation (Fe(NO <sub>3</sub> ) <sub>3</sub> )+H <sub>2</sub> SO <sub>4</sub> เมื่อใช้ปริมาณ โลหะเหล็ก 3% ภายหลังการเผาที่อุณหภูมิ 600 องศาเซลเซียส อัตราการให้ความร้อน 10 องศาเซลเซียสต่อนาที เป็นเวลา 3 ชั่วโมง (a) 2,000 เท่า (b) 5,000 เท่า (c) 10,000 เท่า และ (d) 20,000 เท่า .....	85
66	ภาพถ่าย SEM ของ Fe/SiO <sub>2</sub> ที่เตรียมจากกระบวนการ Impregnation (Fe(acac) <sub>3</sub> )+HNO <sub>3</sub> เมื่อใช้ปริมาณ โลหะเหล็ก 3% ภายหลังการเผาที่อุณหภูมิ 600 องศาเซลเซียส อัตราการให้ความร้อน 10 องศาเซลเซียสต่อนาที เป็นเวลา 3 ชั่วโมง (a) 2,000 เท่า (b) 5,000 เท่า (c) 10,000 เท่า และ (d) 20,000 เท่า .....	86
67	ภาพถ่าย SEM ของ Fe/SiO <sub>2</sub> ที่เตรียมจากกระบวนการ Impregnation (Fe(acac) <sub>3</sub> )+H <sub>2</sub> SO <sub>4</sub> เมื่อใช้ปริมาณ โลหะเหล็ก 3% ภายหลังการเผาที่อุณหภูมิ 600 องศาเซลเซียส อัตราการให้ความร้อน 10 องศาเซลเซียสต่อนาที เป็นเวลา 3 ชั่วโมง (a) 2,000 เท่า (b) 5,000 เท่า (c) 10,000 เท่า และ (d) 20,000 เท่า .....	87

ภาพที่		หน้า
68 ภาพถ่าย SEM ของ Fe/SiO <sub>2</sub> ที่เตรียมจากกระบวนการ Impregnation (Fe(NO <sub>3</sub> ) <sub>3</sub> )+HNO <sub>3</sub> เมื่อใช้ปริมาณโลหะเหล็ก 5% ภายหลังการเผาที่อุณหภูมิ 600 องศาเซลเซียส อัตราการให้ความร้อน 10 องศาเซลเซียสต่อนาที เป็นเวลา 3 ชั่วโมง (a) 2,000 เท่า (b) 5,000 เท่า (c) 10,000 เท่า และ (d) 20,000 เท่า .....	88	
69 ภาพถ่าย SEM ของ Fe/SiO <sub>2</sub> ที่เตรียมจากกระบวนการ Impregnation (Fe(NO <sub>3</sub> ) <sub>3</sub> )+H <sub>2</sub> SO <sub>4</sub> เมื่อใช้ปริมาณโลหะเหล็ก 5% ภายหลังการเผาที่อุณหภูมิ 600 องศาเซลเซียส อัตราการให้ความร้อน 10 องศาเซลเซียสต่อนาที เป็นเวลา 3 ชั่วโมง (a) 2,000 เท่า (b) 5,000 เท่า (c) 10,000 เท่า และ (d) 20,000 เท่า .....	89	
70 ภาพถ่าย SEM ของ Fe/SiO <sub>2</sub> ที่เตรียมจากกระบวนการ Impregnation (Fe(acac) <sub>3</sub> )+HNO <sub>3</sub> เมื่อใช้ปริมาณโลหะเหล็ก 5% ภายหลังการเผาที่อุณหภูมิ 600 องศาเซลเซียส อัตราการให้ความร้อน 10 องศาเซลเซียสต่อนาที เป็นเวลา 3 ชั่วโมง (a) 2,000 เท่า (b) 5,000 เท่า (c) 10,000 เท่า และ (d) 20,000 เท่า .....	90	
71 ภาพถ่าย SEM ของ Fe/SiO <sub>2</sub> ที่เตรียมจากกระบวนการ Impregnation (Fe(acac) <sub>3</sub> )+H <sub>2</sub> SO <sub>4</sub> เมื่อใช้ปริมาณโลหะเหล็ก 5% ภายหลังการเผาที่อุณหภูมิ 600 องศาเซลเซียส อัตราการให้ความร้อน 10 องศาเซลเซียสต่อนาที เป็นเวลา 3 ชั่วโมง (a) 2,000 เท่า (b) 5,000 เท่า (c) 10,000 เท่า และ (d) 20,000 เท่า .....	91	
72 ภาพถ่าย SEM ของ Fe/SiO <sub>2</sub> ที่เตรียมจากกระบวนการ Impregnation (Fe(NO <sub>3</sub> ) <sub>3</sub> )+HNO <sub>3</sub> เมื่อใช้ปริมาณโลหะเหล็ก 7% ภายหลังการเผาที่อุณหภูมิ 600 องศาเซลเซียส อัตราการให้ความร้อน 10 องศาเซลเซียสต่อนาที เป็นเวลา 3 ชั่วโมง (a) 2,000 เท่า (b) 5,000 เท่า (c) 10,000 เท่า และ (d) 20,000 เท่า .....	92	

ภาพที่		หน้า
73 ภาพถ่าย SEM ของ Fe/SiO <sub>2</sub> ที่เตรียมจากกระบวนการ Impregnation (Fe(NO <sub>3</sub> ) <sub>3</sub> )+H <sub>2</sub> SO <sub>4</sub> เมื่อใช้ปริมาณโลหะเหล็ก 7% ภายหลังการเผาที่อุณหภูมิ 600 องศาเซลเซียส อัตราการให้ความร้อน 10 องศาเซลเซียสต่อนาที เป็นเวลา 3 ชั่วโมง (a) 2,000 เท่า (b) 5,000 เท่า (c) 10,000 เท่า และ (d) 20,000 เท่า .....	93	
74 ภาพถ่าย SEM ของ Fe/SiO <sub>2</sub> ที่เตรียมจากกระบวนการ Impregnation (Fe(acac) <sub>3</sub> )+HNO <sub>3</sub> เมื่อใช้ปริมาณโลหะเหล็ก 7% ภายหลังการเผาที่อุณหภูมิ 600 องศาเซลเซียส อัตราการให้ความร้อน 10 องศาเซลเซียสต่อนาที เป็นเวลา 3 ชั่วโมง (a) 2,000 เท่า (b) 5,000 เท่า (c) 10,000 เท่า และ (d) 20,000 เท่า .....	94	
75 ภาพถ่าย SEM ของ Fe/SiO <sub>2</sub> ที่เตรียมจากกระบวนการ Impregnation (Fe(acac) <sub>3</sub> )+H <sub>2</sub> SO <sub>4</sub> เมื่อใช้ปริมาณโลหะเหล็ก 7% ภายหลังการเผาที่อุณหภูมิ 600 องศาเซลเซียส อัตราการให้ความร้อน 10 องศาเซลเซียสต่อนาที เป็นเวลา 3 ชั่วโมง (a) 2,000 เท่า (b) 5,000 เท่า (c) 10,000 เท่า และ (d) 20,000 เท่า .....	95	

## บทที่ 1

### บทนำ

#### 1.1 ความเป็นมาและความสำคัญของปัจจัย

วัสดุระดับนาโน (Nanosized materials) ได้รับความสนใจมากในงานด้านต่าง ๆ เช่น อิเล็กทรอนิกส์ ทางการแพทย์ เคมีและวิศวกรรมศาสตร์ เช่น เซลล์สurya (Solar cells) ตัวเร่งปฏิกิริยา (Catalysts) ตัวรับสัญญาณ (Sensor) และเยื่อเลือกผ่าน (Membranes) เป็นต้น ลักษณะเด่นของอนุภาคนาโนคือมีพื้นผิวต่อป्रิมาตรสูง ดังนั้นจึงนิยมนำไปใช้ควบลงบนรูพรุน แต่ระดับการกระจายตัวของอนุภาคนาโนขึ้นอยู่กับปัจจัยหลายอย่าง เช่น วิธีการ合成 ปริมาณของอนุภาค โครงสร้างของรูพรุน ขนาดเส้นผ่านศูนย์กลางของรูพรุน ปริมาตรของรูพรุน และแรงกระทำระหว่างตัวรองรับกับอนุภาคนาโน [1] เพื่อให้เตรียมเป็นตัวเร่งปฏิกิริยา โดยขนาดอนุภาคของตัวเร่งปฏิกิริยาเป็นปัจจัยที่มีความสำคัญ คืออัตราการเกิดปฏิกิริยาจะเพิ่มขึ้นเมื่อขนาดอนุภาคของตัวเร่งปฏิกิริยาเล็กลง แต่อย่างไรก็ตามทำให้เกิดปัจจัยตามมาคือ การแยกตัวเร่งปฏิกิริยาออกจากผลิตภัณฑ์เพื่อนำกลับมาใช้ใหม่ทำได้ยาก ซึ่งสามารถแก้ปัจจัยได้โดยใช้ตัวรองรับที่มีพื้นผิวสูง ที่นิยมใช้คือ ซิลิกา ( $\text{SiO}_2$ ) กับอะลูมินา ( $\text{Al}_2\text{O}_3$ ) [2-5] แต่เมื่อเบรเยมเทียบกันพบว่าอะลูมินามีขนาดของรูพรุนที่เล็กกว่าและมีพื้นผิวน้อยกว่าซิลิกา [3] ทำให้ซิลิกาสามารถจับกับตัวเร่งปฏิกิริยาได้มากกว่า นอกจากนี้ซิลิกายังมีจุดเด่นอีกอย่างคือมีความสามารถจับกับตัวเร่งปฏิกิริยาได้มากกว่า นอกจากนี้ซิลิกายังมีจุดเด่นอีกอย่างคือมีความสามารถที่อุณหภูมิสูงและภายนอกจากเกิดปฏิกิริยาสามารถแยกออกจากผลิตภัณฑ์ได้ง่ายโดยใช้กรดไฮโดรฟลูออริก (HF) [2]

การเตรียมซิลิกาสามารถเตรียมได้จากการบวนการโซล-เจล โดยใช้ไซลานทราน (Silatrane) เป็นสารตั้งต้น ซึ่งไซลานทรานเป็นสารประกอบออร์แกโนซิลิเกต (Organosilicate compounds) ชนิดหนึ่งที่เตรียมได้จากการบวนการ Oxide one pot synthesis (OOPS) [6, 7] โดยการทำปฏิกิริยากันระหว่างซิลิกากับไตรอัลกานอลามีน (Trialkanolamines) เช่น ไตรเอทานอลามีน (Triethanolamine) หรือไตรไอโซโพพานอลามีน (Triisopropanolamine) [6-11] และเป็นสารที่มีความสามารถต่อการเกิดปฏิกิริยาไฮโดรไลซิสในอากาศได้หลายสัปดาห์จึงเหมาะสมสำหรับใช้เป็นสารตั้งต้นในการเตรียมซิลิกา ที่มีโครงสร้างร่างแรด้วยกระบวนการโซล-เจล ซึ่งกระบวนการโซล-เจล เป็นเทคนิคที่เตรียมง่าย ราคาถูก และจากการวิจัยของ N. Nagaraju และคณะ [4] พบว่าโลหะที่

กระบวนการตัวรองรับซิลิกาที่เตรียมจากกระบวนการโซล-เจลจะมีความว่องไวต่อการเกิดปฏิกิริยาสูงกว่าซิลิกาในทางการค้า (Commercial silica)

การสังเคราะห์ท่อนาโนคาร์บอนนี้ มีหลายวิธี โดยทั่วไปแล้วอาจแบ่งออกเป็น 3 วิธีหลัก ๆ ได้แก่ 1) วิธีตกสะสมไออกมี (Chemical vapor deposition: CVD) 2) วิธีอาร์คดิ沙ร์จ (Arc-discharge) และ 3) วิธีการเหยดด้วยเลเซอร์ (Laser vaporization) แต่วิธีที่นิยมมากที่สุดคือวิธีตกสะสมไออกมี [12-15] หรือบางที่เรียกว่า Catalytic chemical vapor deposition: CCVD [16] เนื่องจากได้ผลิตภัณฑ์ปริมาณมากและมีคุณภาพสูง อีกทั้งต้นทุนในการผลิตต่ำ โดยการผ่านไออกมีแก๊สของสารประกอบไฮโดรคาร์บอนซึ่งใช้ทำหน้าที่เป็นแหล่งกำเนิดคาร์บอนเข้าไปในเตาเผาที่มีอุณหภูมิประมาณเต็งแต่ 600-1200 องศาเซลเซียส ซึ่งต้องมีอุณหภูมานอนของตัวเร่งปฏิกิริยาอยู่บริเวณนี้ด้วย ทำให้โมเลกุลของแก๊สแตกตัว (Decomposed) ออกเป็นอะตอมของคาร์บอน โดยท่อนาโนคาร์บอนที่ได้ขึ้นอยู่กับหลายปัจจัย เช่น อุณหภูมิ ความดัน อัตราการไหลของแก๊ส สัดส่วนอะตอมของธาตุ C:O:H ในระบบ การควบคุมขนาดของอนุภาคตัวเร่งปฏิกิริยา ระยะเวลาในการสังเคราะห์ และปริมาณของตัวเร่งปฏิกิริยา

ในงานวิจัยนี้เป็นการศึกษาการเตรียมโซลาเทรนด้วยกระบวนการ Oxide one pot synthesis เพื่อใช้เป็นสารตั้งต้นในการสังเคราะห์ซิลิกาผ่านเทคนิคโซล-เจล สำหรับใช้เป็นตัวรองรับในการเตรียมตัวเร่งปฏิกิริยาที่จะนำไปใช้ในการสังเคราะห์ท่อนาโนคาร์บอนโดยศึกษาปัจจัยของชนิดตัวเร่งปฏิกิริยา อุณหภูมิ ระยะเวลาในการสังเคราะห์ และปริมาณของโลหะ

## 1.2 วัตถุประสงค์ของงานวิจัย

1.2.1 ศึกษาการเตรียมซิลิกาจากการใช้โซลาเทรนเป็นสารตั้งต้น

1.2.2 ศึกษาการเตรียมตัวเร่งปฏิกิริยาแบบวิชพันธ์ (Heterogeneous catalysts) โดยมีตัวรองรับเป็นซิลิกา โดยใช้กระบวนการโซล-เจล

1.2.3 สามารถนำตัวเร่งปฏิกิริยาที่มีตัวรองรับ (Supported catalyst) ไปใช้ในกระบวนการสังเคราะห์ท่อนาโนคาร์บอนได้

## 1.3 ขอบเขตของการศึกษา

งานวิจัยนี้จะทำการสังเคราะห์ตัวรองรับซิลิกาที่มีพื้นที่ผิวสูงจากโซลาเทรน เพื่อใช้เตรียมเป็นตัวเร่งปฏิกิริยาแบบวิชพันธ์ สำหรับนำไปใช้ในกระบวนการสังเคราะห์ท่อนาโนคาร์บอน โดยแบ่งออกเป็น 4 ส่วนดังนี้

1.3.1 สังเคราะห์โซลาเทรนเพื่อใช้เป็นสารตั้งต้นในการเตรียมซิลิกา

1.3.2 สังเคราะห์ชิลิกา ผ่านกระบวนการ โซล-เจล โดยศึกษาปัจจัยดังนี้

- ตัวเร่งปฏิกิริยา
- ปริมาณตัวทำละลาย
- เวลาในการเกิดเจล

1.3.3 ศึกษาการเตรียมตัวเร่งปฏิกิริยาลงบนตัวรองรับชิลิกา

1.3.4 นำตัวเร่งปฏิกิริยาที่เตรียมได้ไปใช้ในการสังเคราะห์ท่อนาโนคาร์บอน

#### 1.4 ผลที่คาดว่าจะได้รับ

1.4.1 สามารถเตรียมตัวรองรับชิลิกาที่มีพื้นที่ผิวสูงจากไชลากเทrn

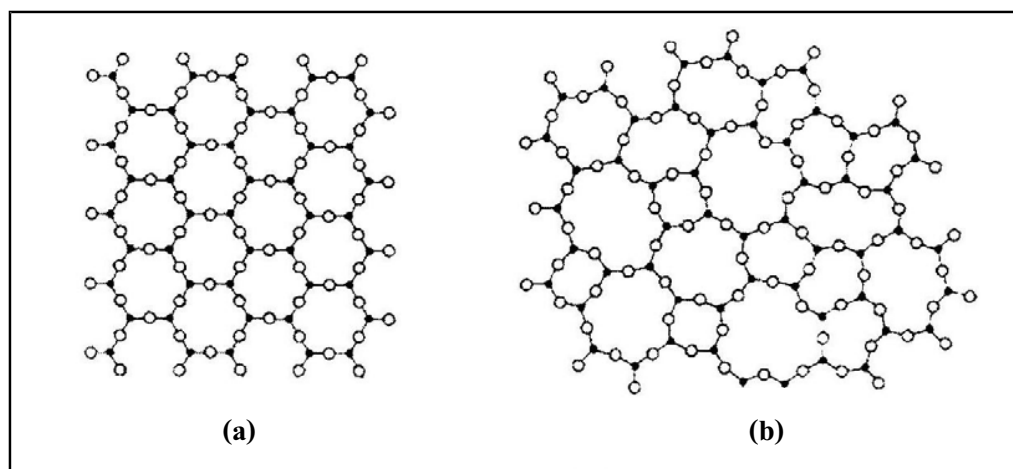
1.4.2 สามารถเตรียมตัวเร่งปฏิกิริยาไปใช้ในการสังเคราะห์ท่อนาโนคาร์บอนได้

## บทที่ 2

### เอกสารที่เกี่ยวข้องกับงานวิจัย

#### 2.1 ชิลิกา [17]

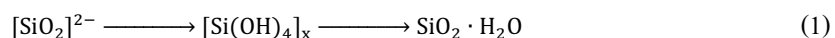
ชิลิกามีสูตรทั่วไปคือ  $\text{SiO}_2$  ประกอบด้วยอะตอมซิลิกอนจับอยู่กับอะตอมออกซิเจนจำนวน 4 อะตอม ซึ่งใช่วร์มกับชิลิกอนอะตอมอื่น ชิลิกาเป็นสารที่เหนียว ไม่มีพิษ ใช้เป็นตัวคูดความชื้น ตัวคูดซับและใช้เป็นวัสดุในการบรรจุภัณฑ์ในโครมาโทกราฟี ถ้าชิลิกามีความเป็นผลึกสูง เช่น ควอทซ์ จะมีลักษณะโครงสร้างดังในภาพที่ 1 (a) โดยชิลิกาจะจับกับออกซิเจน 4 อะตอม แต่ถ้าหากผลึกเร็วจะทำให้การจัดเรียงตัวไม่สมบูรณ์ แสดงดังภาพที่ 1 (b) ซึ่งเป็นลักษณะของอัมฟอร์ (Amorphous)



ภาพที่ 1 (a) โครงสร้างในผลึกของชิลิกา โดยชิลิกาจับกับ 4 อะตอมของออกซิเจน ในภาพไม่ได้แสดงอะตอมออกซิเจนที่อยู่ด้านหน้าหรือหลังของระนาบกระดาษ (b) โครงสร้างของชิลิกา อัมฟอร์ [17]

ชิลิกามีหลายรูป แต่โครงสร้างที่มีความพุ่นมาก ได้แก่ ชิลิกาเจล ซึ่งเตรียมได้จากสารละลายน้ำเดี่ยมชิลิกเกต (Sodium silicate) เรียกว่าウォเตอร์กลาส (Water glass) ซึ่งประกอบด้วย  $\text{Na}_2\text{SiO}_4$  และ  $\text{Na}_2\text{SiO}_3$  เมื่อทำให้กลายเป็นกรดชิลิซิก (Silicic acid,  $\text{Si}(\text{OH})_4$ ) จะเกิดการ

พอลิเมอไโรเชชัน เกิดพันธะ Si-O-Si ขึ้น กลายเป็นซิลิกาที่มีน้ำ (Hydrated silica) อย่างรวดเร็ว ดัง สมการที่ 1 ซึ่งสามารถกำจัดโมเลกุลของน้ำออกໄปได้โดยการให้ความร้อน ผลิตภัณฑ์สุดท้ายที่ได้ เรียกว่า ซีโรเจล (Xerogel) หรือ ซิลิกาพรูน (Porous silica) หรือซิลิกาเจล ซึ่งที่ผิวน้ำจะ ประกอบด้วยหมู่ไซลานอล (Silanol groups, Si-OH) และอาจมีน้ำที่ดูดซับแบบภายในภาพอยู่ โมเลกุล ของน้ำสามารถกำจัดได้โดยการให้ความร้อนที่อุณหภูมิระหว่าง 150 – 200 องศาเซลเซียส ถ้าเพิ่ม อุณหภูมิขึ้นอีกหน่อยไซลานอลจะถูกเปลี่ยนเป็นหมู่ไซโลกอเซน (Siloxane, Si-O-Si)



ซิลิกาในรูปอื่นๆ เช่น 1) ซิลิกาที่อยู่ในรูปคลออลอห์ (Colloidal silica) 2) กีเซลเกอร์ (Kieselguhr หรือ Diatomaceous earth) จากเปลือกของไคลอตอม (Diatoms) ซึ่งเป็นพืชน้ำสมัย โบราณสายพันธุ์ใกล้เคียงกับพวงสาหร่ายประกอบด้วยซิลิกาประมาณ 88 เปอร์เซ็นต์ ถ้าต้องการนำ ซิลิกาจากไคลอตอมมาใช้ในกระบวนการเร่งปฏิกิริยา ต้องผ่านกระบวนการทำให้บริสุทธิ์ก่อน 3) ฟูมซิลิกา (Fumed silica) เป็นซิลิกาซึ่งมีความบริสุทธิ์สูงที่ไม่พูน เตรียมจากปฏิกิริยาไฮโดรไลซิส ของซิลิกอนเตตระคลอไรต์ ( $\text{SiCl}_4$ ) ในเปลวไฟของออกซิเจนและไฮโดรเจน

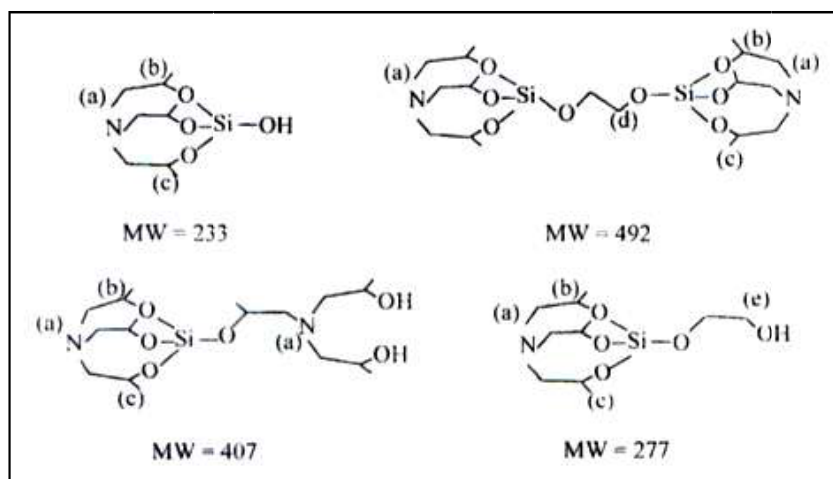
เมื่อเปรียบเทียบระหว่างอะลูมินากับซิลิกา อะลูมินาสามารถละลายได้ในกรดหรืออ่อน นุ่มลงในสภาพที่เป็นกรด ในขณะที่ซิลิกาจะมีความเสถียรและเหลืออยู่ในระหว่างการเผา (Calcination)

ตัวอย่างปฏิกิริยาที่ใช้ตัวเร่งปฏิกิริยาที่มีซิลิกาเป็นตัวรองรับได้แก่ ปฏิกิริยาไฮเดรต ไโรเชชันของอทิลีน [18] การสังเคราะห์กรดอะคริลิก (Acrylic acid) [19] จากการออกซิเดชันของโพลิ เอทิลีน [20] การเลือกเติมไฮโดรเจนในฟีโนล (Phenol) เพื่อให้ได้ไซโคลເອກະນອດ (Cyclohexanol) [21]

## 2.2 การสังเคราะห์ไซลอนเทน

กระบวนการ Oxide one pot synthesis เป็นกระบวนการในการสังเคราะห์โลหะอัลกอไชด์ (Metal alkoxide) เพื่อใช้เป็นสารตั้งต้น (Precursor) ในกระบวนการโซล-เจล สำหรับ สังเคราะห์พวกลอหะออกไชด์ (Inorganic metal oxides) เพื่อใช้เป็นตัวเร่งปฏิกิริยา คอมโพสิต (Composite) และวัสดุอิเล็กโทรเซรามิกส์ (Electroceramic) วัสดุเคลือบ (Coatings) และเส้นใย (Fibers) โดยข้อดีของกระบวนการนี้คือ ใช้วัตถุดินที่มีราคาถูกสามารถหาซื้อได้ง่าย มีกระบวนการ เตรียมเพียงขั้นตอนเดียวไม่เหมือนกับวิธีการอื่น ๆ ที่มีกระบวนการเตรียมหลายขั้นตอนและมีราคา

ແພນ ນອກຈາກນີ້ຢັ້ງສາມາດເຕີຣີມໄດ້ທີ່ອຸນຫວຼມໃຕໍ່ ໂດຍສາຍທີ່ເຕີຣີມໄດ້ຈະມີຄວາມຄວາມບິສຸທີ່ສູງແລະ  
ມີຄວາມເປັນເນື້ອເດືອກກັນ [22-25]



ภาพที่ 2 โครงสร้างของสารประกอบไซลัตเรน (Silatrane complexes) ที่อัตราส่วนของ  $[TIS]: [SiO_2]$  เป็น 1:1 [6]

### 2.3 การเตรียมชิ้นงานเทคนิคโซล-เจล [26]

เทคนิคโซล-เจลเป็นเทคนิคที่สำคัญในการผลิตวัสดุเชิงรุนิก เนื่องจากเป็นเทคนิคที่ง่าย และสะดวก ซึ่งเทคนิคโซล-เจล ได้รับการพัฒนาอย่างรวดเร็วในช่วงหลายปีที่ผ่านมาเพื่อสามารถใช้เตรียมสารระหบงสารอินทรีย์ (Organic) กับสารอนินทรีย์ (Inorganic) ได้

เทคนิคโซล-เจลเป็นกระบวนการเปลี่ยนอนุภาค colloidal ในของเหลวที่เรียกว่าโซล (Sol) ไปเป็นของแข็งที่เรียกว่าเจล (Gel) โดยเกิดปฏิกิริยา Polycondensation ได้เป็นสารที่มีโครงสร้างที่เรียกว่า Wet structure โดยเจลจะเป็นโครงร่างตาข่ายที่มีรูพรุนซึ่งอยู่ภายในของเหลว Hydrogel คือ เจลที่เกิดขึ้นใน Aqueous solution ส่วน Alcogel คือเจลที่เกิดขึ้นใน Alcoholic solution กระบวนการเกิดเจล (Gelation) จะเริ่มต้นโดยการเกิดการรวมกลุ่มกันของอนุภาค colloidal หรือได้เป็นลักษณะที่เป็นกลุ่มก้อน (Fractal cluster) จากนั้นจึงเกิดการเชื่อมโยงกันของ Fractal cluster ได้เป็นโครงร่างตาข่าย หลังจากนั้นจึงทำให้แห้งโดยระเหยตัวทำละลายออกจนได้เป็นสารที่เรียกว่า Xerogel แต่ถ้าทำการระเหยตัวทำละลายที่ Supercritical condition จะได้สารที่เรียกว่า Aerogel ซึ่ง Silica aerogel จะมีปริมาณชลินกาน้อยกว่า 2% และอีก 98% จะเป็นอากาศ [27]

เทคนิคโซล-เจลของสารอินทรีย์กับสารอนินทรีย์มีความแตกต่างกัน โดยเทคนิคโซล-เจลของสารอนินทรีย์จะเตรียมเซรามิกที่มีความเป็นผลึกสูง โดยใช้สารตั้งต้นเป็น Ceramic polymer ที่อุณหภูมิห้อง โดยจะมีรูปร่างตามแบบหล่อหรือมีรูปร่างเป็นแผ่นฟิล์มหรือเส้นใย หลังจากนั้นทำให้แห้งและมีความหนาแน่นตามต้องการ ซึ่งโดยทั่วไปจะนิยมใช้อัลกอไซด์ (Alkoxides) ของซิลิกอน (Si) [28] โนบرون (B) [29] ไทเทเนียม (Ti) [30] และอะลูมิเนียม (Al) [31] ในสารละลายแอลกอฮอล์และน้ำ แต่โซล-เจลของสารอินทรีย์จะใช้การให้ความร้อนแก่โนเลกุลของสารอินทรีย์ที่มีความว่องไวต่อความร้อนและโปรตีนที่มีความว่องไวทำให้เกิดเป็นโนเลกุลของเซรามิกที่มีรูปรุนได้

โดยทั่วไปเทคนิคโซล-เจล มักนิยมใช้น้ำและอัลกอไซด์ไซเลน (Alkoxy silanes) ที่มีน้ำหนักโนเลกุลต่ำเป็นสารตั้งต้น เช่น เตตራเอทธอกซ์ไซเลน (Tetraethoxy silane, TEOS) [32] หรือสารที่มี Equivalent organometallic alkoxide เช่นเตตระไอโซไโพรพอกซ์ ไทเทเนียม (Tetraisopropoxy titanium) [33] หรือไตรไอโซไโพรพอกซ์ อะลูมิเนียม (Triisopropoxy aluminium) [34]

เทคนิคโซล-เจลเป็นเทคนิคที่มีข้อดีในการผลิตเซรามิกที่มีลักษณะเป็นฟิล์มหรือเส้นใยเนื่องจากอุปกรณ์ที่ใช้มีราคาไม่แพง ปฏิกิริยาสามารถเกิดได้ที่อุณหภูมิห้องและสามารถควบคุมโครงสร้างระดับไมโคร (Microstructure) และองค์ประกอบทางเคมี (Chemical composition) ได้ง่าย แต่เทคนิคโซล-เจลก็มีข้อเสียคือผลิตภัณฑ์ที่ได้จะบอบบางแตกหักได้ง่ายและต้องทำไฮโดรไลซิสที่ pH สูงเนื่องจากสมบัติโดยธรรมชาติ (Intrinsic) ของ Silica matrix และขั้นตอนในการเกิดเจลจะต้องใช้อุณหภูมิสูงซึ่งทำได้ยากในห้องปฏิบัติการหรือการวิเคราะห์เพื่อการใช้งาน [35]

สารตั้งต้นที่ใช้ในกระบวนการโซล-เจล คือซิลิกอนอัลกอไซด์ (Silicon alkoxide) สาเหตุที่ใช้กันเนื่องจากซิลิกอนอัลกอไซด์มีความบริสุทธิ์สูง โดยพบว่าเตตระเมทอกซ์ไซเลน (Tetramethoxy silane, TMOS) สามารถเกิดปฏิกิริยาไฮโดรไลซ์ได้เร็วกว่าเตตระเอทธอกซ์ไซเลน ซึ่ง Aerogel ที่ได้จากเตตระเมทอกซ์ไซเลนจะมีรูปรุนที่แคบ มีความเป็นระเบียบและมีพื้นที่ผิวมากกว่า Aerogel ที่ได้จากเตตระเอทธอกซ์ไซเลน แต่ถ้าใช้สารตั้งต้นเป็นเมทิลไตรเอทธอกซ์ไซเลน (Methyltriethoxysilane, MTES) จะให้เจลที่เป็นโครงร่างตาข่ายที่มีความยืดหยุ่น การใช้สารตั้งต้นเป็นสารผสมระหว่างเมทิลไตรเอทธอกซ์ไซเลนกับเตตระเมทอกซ์ไซเลนหรือใช้ไดเมทิลไคลอฟอกซ์ไซเลน (Dimethyldiethoxy silane) กับเตตระเอทธอกซ์ไซเลนจะช่วยให้ Aerogel มีความไม่ชอบน้ำ (Hydrophobic) เพิ่มขึ้นและมีรูปรุนขนาดใหญ่ขึ้น โดยหมุนฟังก์ชัน (Functional group) ที่ติดกับอะตอมของซิลิกอนถ้าเป็นอะตอมที่มีค่าอิเล็กโตรเนกติกิติวิตี้ (Electronegativity , EN) สูงจะส่งผลต่อ

ความเป็น Hydrophobic ของเจลซึ่งการใช้สารตั้งต้นที่เป็น Silane agent ต่างชนิดกันในการสังเคราะห์เจลจะทำให้ได้ผลิตภัณฑ์ที่มี Chemical functionalities ที่มีลักษณะเฉพาะตัว

การเกิดปฏิกิริยาไฮโดรไอลชิส ถ้าใช้ตัวเร่งปฏิกิริยาที่เป็นกรดจะทำให้ได้ Silica sol ที่มีลักษณะเป็นสายโซ่อ่อนๆ หรือสายโซ่กึ่ง แต่ถ้าใช้ตัวเร่งปฏิกิริยาที่เป็นเบสจะทำให้ได้ออนุภาคที่มีลักษณะเป็นร่างแท่งภายในโซล ตัวเร่งปฏิกิริยากรดที่ใช้มักเป็นกรดไฮโดรคลอริก (HCl) [36] กรดซัลฟิวริก ( $H_2SO_4$ ) [37] กรดไนโตริก ( $HNO_3$ ) [38] กรดไฮโดรฟูออริก (HF) [39] กรดออกซาลิก ( $C_2O_4(OH)_2$ ) [40] กรดฟอร์มิก (HCOOH) [41] และกรดแอซีติก ( $CH_3COOH$ ) [42] โดยทั่วไปอัตราส่วนโดยปริมาตร (Volume ratio) ของ TEOS:C<sub>2</sub>H<sub>5</sub>OH:H<sub>2</sub>O:acid มักเป็น 1:3:4:0.002 และถ้า pH ของโซลมีค่าต่ำจะทำให้เวลาในการเกิดเจลยาวนานขึ้น และถ้าใช้ตัวเร่งปฏิกิริยาเป็นกรดไฮโดรฟูออริกจะทำให้ได้ผลิตภัณฑ์ที่มีปริมาตรของรูพรุนที่สูงและมีขนาดของรูพรุนที่กว้าง แต่จะทำให้ได้เจลที่ไม่แข็งแรง ถ้าทำการใช้ตัวเร่งปฏิกิริยาที่เป็นกรด 2 ชนิด เช่นกรดไฮโดรฟูออริกกับกรดไฮโดรคลอริก หรือกรดไนโตริก หรือกรดซัลฟิวริกในการเกิดปฏิกิริยาไฮโดรไอลชิสของเตตระเมทอกซิไซเลนที่อุณหภูมิ 70-80°C ในภาชนะเปิดจะทำให้ปฏิกิริยาการควบแน่นเกิดได้อย่างรวดเร็ว และขัดบpriman ของแอลกอฮอล์ที่กินออกมากโดยผ่านกระบวนการกลั่น

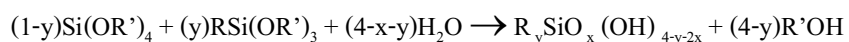
ถ้าใช้ตัวเร่งปฏิกิริยาที่เป็นเบสโดยทั่วไปมักใช้สารละลายแอมโมเนียเจือจางที่มีความเข้มข้น  $10^{-2} M$  ซึ่งจะทำให้ออนุภาคภายในโซลเกิดการก่อตัวกันเป็นร่างแท่งได้ง่ายดายขึ้น และทำให้ได้รูพรุนที่มีขนาดค่อนข้างใหญ่ นอกจากนี้ยังทำให้ปฏิกิริยาการควบแน่นเกิดได้เร็วกว่าปฏิกิริยาไฮโดรไอลชิส [27]

### เทคนิคโซล-เจลจะเกิดผ่าน 4 ขั้นตอน คือ

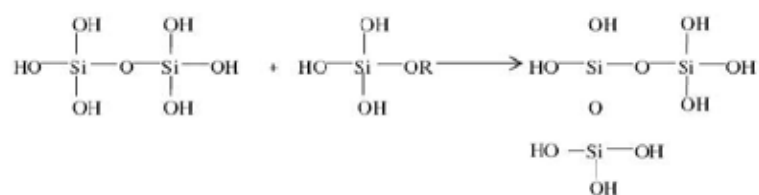
#### 2.3.1 ไฮโดรไอลชิสและ polycondensation

อัลกอไซด์ที่ใช้เป็นสารตั้งต้นจะสามารถเกิดปฏิกิริยาไฮโดรไอลชิสภายใต้สภาวะกรดหรือเบสก็ได้ จากนั้นจะเกิดกระบวนการ Polycondensation ของ Hydroxylate monomer ได้เป็นเจลที่มีรูพรุน โดยสารอินทรีย์ที่เติมลงไปจะถูกตรึงอยู่กับที่ภายใน Silica gel ที่เป็นเมทริกซ์ หรืออาจใช้หมูไชลันอลมีความว่องไวในการเกิดปฏิกิริยา ณ บริเวณพื้นผิวสูง เพื่อช่วยให้สารที่เติมลงไปเกิดการขึ้นกับผิวซิลิค้าได้ดี โดยจะเกิดเป็นพันธะ โควาเลนต์ โดยเมื่อเร็วๆนี้ ได้มีการศึกษาการเติมสารเจือ (Dopant) ลงใน Sol-gel glass ก่อนจะเกิดปฏิกิริยาในขั้นเริ่มต้น (Initiation) โดยจะสามารถปรับปรุงคุณสมบัติพิเศษของ Xerogel โดยการใช้สารตั้งต้นที่

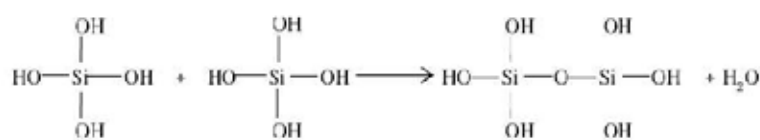
ประกอบด้วยพันธะ S-C ซึ่งจะไม่เกิดการเปลี่ยนแปลงในขณะที่เกิดปฏิกิริยาไฮโดร ไลซิสและ Polycondensation นอกจากนี้ Functional group (R) จะยังคงอยู่ที่ผิวน้ำของรูปrun ดังสมการ



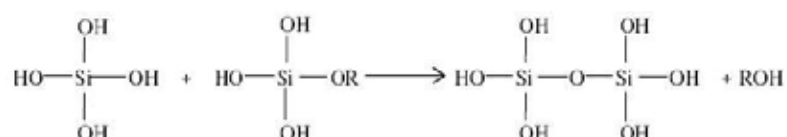
Where  $0 < y < 1$  and  $0 < x < 2$



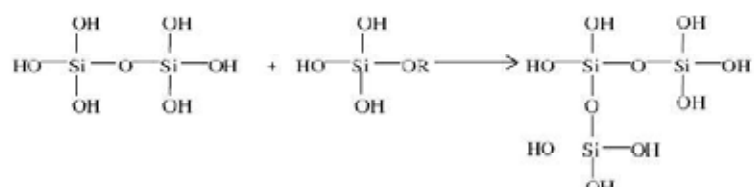
ภาพที่ 3 สมการแสดงการเกิดปฏิกิริยาไฮโดร ไลซิส [43]



ภาพที่ 4 สมการแสดงการเกิดปฏิกิริยาการควบแน่นของน้ำ (Water condensation) [43]



ภาพที่ 5 สมการแสดงการเกิดปฏิกิริยาการควบแน่นของแอลกอฮอล์ (Alcohol condensation) [43]



ภาพที่ 6 สมการแสดงการเกิดปฏิกิริยา Polycondensation [43]

### 2.3.2 Gelation

จุดที่เกิดเจล (Gel point) คือจุดที่ของแข็งที่แปรรูปอยู่ในสารละลายหั้งหมดเกิดการเชื่อมโยงกัน ณ ขั้นเริ่มต้นของการเกิดปฏิกิริยา เนื่องจากหมู่ไซเลนอลดออยู่ที่ผิวน้ำของอนุภาคที่กำลังเติบโตถูกดึงไป protonate (Deprotonate) ทำให้เกิดเป็นประจุลบซึ่งจะเกิดการผลักกันทำให้เกิดความเสถียร หลังจากนั้นระเหยตัวทำละลายออกไประะน้ำจะถูกใช้จนหมดโดยการทำปฏิกิริยา กับอัลกอฮอล์ชีไซเลนทำให้สารละลายมีความเข้มข้นมากขึ้นและไม่เสถียร ซึ่งจะทำให้ได้ผลิตภัณฑ์ที่เป็นของแข็งมากขึ้น

### 2.3.3 Drying, aging และ fracture prevention

การทำให้เจลแห้ง (Drying) สามารถทำได้หลายวิธี เช่น การแทนที่แอลกอฮอล์ด้วยการถ่ายด้วยการรับน้ำออกไซด์ ( $\text{CO}_2$ ) หรือ แล้วทำให้เจลแห้ง ณ จุดที่อุ่นเหนือจุดวิกฤต (Critical point) โดยในขั้นแรกจะทำการแทนที่แอลกอฮอล์แล้วจึงตามด้วยการถ่ายเจลโดยใช้อซิโตัน (Acetone) และการรับน้ำออกไซด์เหลว ที่มีอุณหภูมิ  $35^\circ\text{C}$  และความดัน  $8.5 \text{ MPa}$  ซึ่งเป็นอุณหภูมิและความดัน ณ จุดเหนือจุดวิกฤต (Supercritical) จากนั้นจึงทำการเปลี่ยนตัวทำละลายแล้วจึงทำให้เจลแห้ง ณ อุณหภูมิที่ทำการทดลอง ซึ่งการทำการทำแห้ง ณ จุด Supercritical จะไม่ทำให้พื้นผิวของ Silica gel network เกิดการเปลี่ยนแปลง โดยทั่วไปแล้วการทำแห้งจะทำให้เกิดแรงตึงผิวระหว่างเซลล์และแก๊ส โดยความดัน (Stress) ที่เกิดขึ้นจะแปรผันตรงกับความหนืดของของเหลวที่อยู่ภายในรูพรุน ส่วนอัตราการทำแห้งจะแปรผูกพันกับความสามารถซึมผ่าน (Permeability) ของ Wet gel โดยมีตัวแปรที่เกี่ยวข้องคือ ความแข็งแรงของเจลในตอนเริ่มต้น ขนาดของรูพรุน และตัวทำละลายที่ใช้ โดยรูพรุนที่มีขนาดเล็กจะทำให้เกิดการแตกหักในระหว่างการทำให้เจลแห้ง เนื่องจากแรงแคปิลารี (Capillary force) จะมีค่าสูงเกินไป โดยจะพบการลดตัวและการแตกหักเกิดขึ้นน้อยถ้าขนาดของรูพรุนมีขนาดใหญ่กว่า  $200 \text{ Å}$  เนื่องจากแรงตึงผิว (Surface tension) ที่เกิดขึ้นจะมีค่าน้อยกว่าที่เกิดในรูพรุนที่มีขนาดเล็ก แต่รูพรุนที่มีขนาดเล็กจะใช้เวลาในการทำแห้งน้อยกว่ารูพรุนที่มีขนาดใหญ่

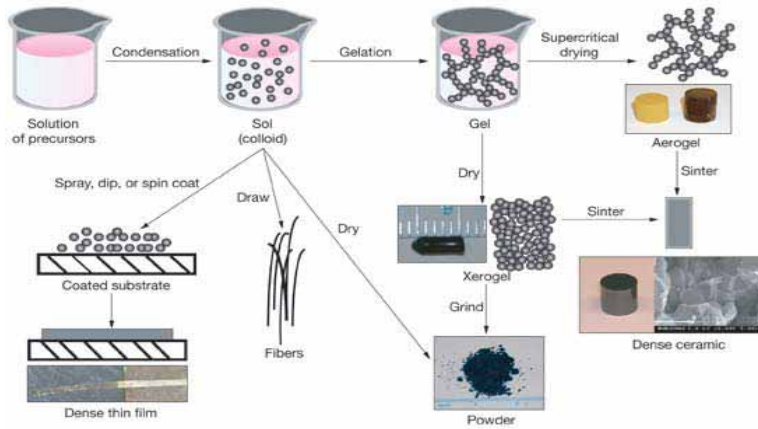
ณ จุดที่ต่ำกว่า Threshold point จะพบว่าความดันแคปิลารี (Capillary pressure) จะมีอิทธิพลต่อความแข็งแรงและโครงสร้างของเจล แต่ ณ จุดที่สูงกว่า Threshold point เจลจะมีความแข็งแรงสูงมากจึงไม่จำเป็นต้องคำนึงถึงการลดตัวของเจล โดย Threshold point จะขึ้นกับองค์ประกอบของเจล

การนำเจลไปล้างในเอทานอลและน้ำ ( $H_2O/EtOH$ ) จะเพิ่มความสามารถในการซึมผ่านของเหลวในส่วนที่เป็นของแข็งของเจล เนื่องจากการเกิดกระบวนการ Dissolution-reprecipitation ของซิลิกา การทำการบ่ม (Aging) ของสารละลายไซโลกเซน (Siloxane) สามารถเพิ่มแข็งแรง (Strength) และความแข็งเกร็ง (Stiffness) ให้แก่ Alcogel โดยสามารถทำได้โดยการเติมมอนอเมอร์ตัวใหม่ลงไปใน Silica network ซึ่งจะเป็นการปรับปรุงการเกิดการเชื่อมโยงกัน (Cross linking) ของไซโลกเซน แต่ก็จะส่งผลให้การซึมผ่านของเจลมีค่าลดลง จากการศึกษามุนท์เกิดจาก การกระเจิงของอนุภาคนิวตรอนหลังจากการทำการบ่มจะพบว่ามีการเพิ่มปริมาตรของ Porous gel network เพียงเล็กน้อยและการล้างเจลด้วยน้ำจะทำให้ความสามารถในการซึมผ่านของเจลเพิ่มขึ้น

#### 2.3.4 High temperature treatment and densification

การทำ High temperature treatment จะเป็นการทำให้เกิดการเขื่อมโยงกันมากขึ้น ทำให้ได้ของแข็งที่มีความหนาแน่นมากขึ้นและมีจำนวนรูพรุนที่ลดลง

การเปลี่ยนแปลงขนาดของรูพรุน (Pores) และสมบัติเชิงกลของเจลสามารถทำได้โดยการเติมสารเติมแต่ง (Additives) เช่นการเติมโพลิอิธิลีนไอกลคอล (Polyethylene glycol, PEG) ลงในสารละลาย โดยโพลิอิธิลีนไอกลคอลจะทำหน้าที่เป็นแม่แบบ (Through-pore template) และตัวทำละลาย (Solubilizer) ของ Silane agent การเติมสารลดแรงตึงผิว (Surfactant) ลงในสารละลายของเอทานอลและน้ำจะทำให้ได้ Aerogel ที่มีสารลดแรงตึงผิวเป็นแม่แบบ (Surfactant template aerogel) ส่วนการเพิ่มความเป็น Hydrophobic ของเตตระเมทอกซิไซเลนสามารถทำได้โดยนำไปใช้ร่วมกับเมทิลไตรเอทธอกซิไซเลน นอกจากนี้กลไกการเกิดนิวเคลียสยังมีความสัมพันธ์กับการเกิดปฏิกิริยาระหว่าง Main reagent เช่น เตตระเมทอกซิไซเลนหรือเตตระเอทอกซิไซเลนกับสารเติมแต่ง เช่น 3-(2-aminoethylamino)propyltrimethoxy-silane (EDAS), 3-aminopropyltriethoxysilane (AES), 3-aminopropyltrimethoxysilane (AMS), polytrimethoxysilane (PMS) และ 3(2-amino ethylamino)propyltriethoxysilane (EDAES) ซึ่งถ้าสารเติมแต่งที่ใช้มีหมุน窝กซี ( $R-O-CH_3$ ) ในขั้นแรกจะเกิดการก่อตัวเป็นอนุภาคของคลอ로ิດแล้วจึงเกิดปฏิกิริยาการควบแน่น แต่ถ้าสารเติมแต่งที่ใช้มีหมุน窝อทอกซี ( $R-O-CH_2CH_3$ ) จะไม่เกิดกลไกการสร้างนิวเคลียสในการเติมอะมีน ( $NH_2$ ) หรือสารเติมแต่งที่มีหมุน窝อัลกิล (Alkyl group) จะส่งผลต่อเวลาในการเกิดเจล และการเติม Silica spheres (Aerosol) ลงในสารละลายก่อนการเกิดเจล จะส่งผลต่อการรวมตัวกันของอนุภาค



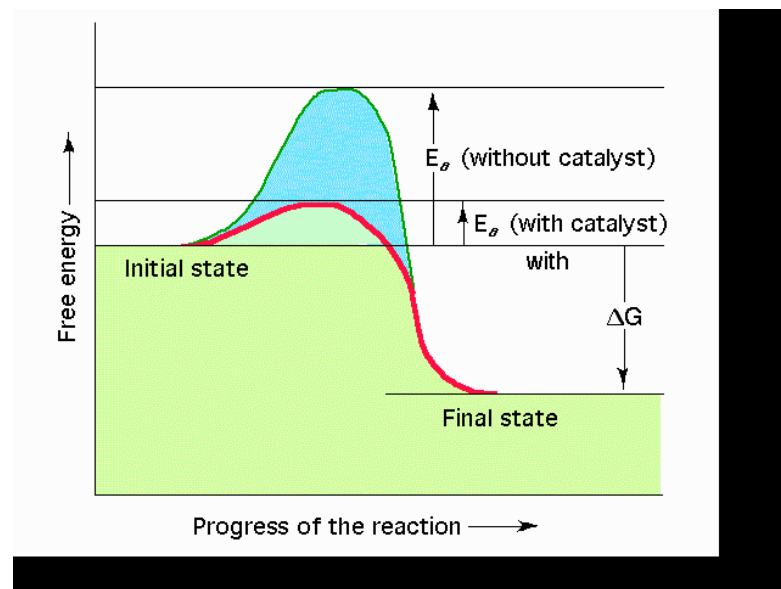
ภาพที่ 7 กระบวนการ โซล-เจล [26]

การนำเทคโนโลยีโซล-เจลมาใช้ประโยชน์สามารถทำได้หลายภาพแบบ เช่น ผงละเอียด พิล์มนบาง เส้นใย และวัตถุก้อน ซึ่งเป็นสารตั้งต้นสำหรับการผลิตผลิตภัณฑ์ต่าง ๆ ต่อไป เช่น แก้วชิลิกา สารเคลือบป้องกันการลึกกร่อน การสะท้อนแสง และเคาะติดพิวของน้ำ เป็นต้น โดยเทคนิคโซล-เจลจะมีประโยชน์ในการผลิตสารที่มีลักษณะเฉพาะตัวหรือมีความบริสุทธิ์สูง หรือ ผลิตวัสดุทดแทนการใช้แร่หรือทรัพยากรธรรมชาติ โดยผลิตภัณฑ์ที่ได้จากเทคนิคโซล-เจลจะมีความบริสุทธิ์สูงเนื่องจากเป็นการเตรียมสารหรือวัสดุในระดับโมเลกุลทำให้สามารถกำหนดสมบัติตามที่ต้องการได้ง่าย ซึ่งเป็นประโยชน์ต่ออุตสาหกรรมหลายประเภท เช่น อุตสาหกรรมเคมี เทคโนโลยีพลังงาน อุตสาหกรรมรถยนต์ และอุตสาหกรรมเซรามิก เป็นต้น การนำเทคนิคโซล-เจลมาใช้ในเชิงอุตสาหกรรมยังต้องศึกษารายละเอียดเกี่ยวกับสภาพที่เหมาะสมในการเตรียม และสมบัติหรือลักษณะของวัสดุที่ต้องการ ซึ่งมีความแตกต่างกันในแต่ละผลิตภัณฑ์ อย่างไรก็ตาม แนวโน้มในการนำเทคนิคดังกล่าวมาใช้ประโยชน์ในเชิงพาณิชย์มีความเป็นไปได้สูง เนื่องจากเป็นเทคนิคที่สามารถทำได้ที่อุณหภูมิห้อง และสามารถทำได้ตั้งแต่ระดับห้องปฏิบัติการจนถึงระดับอุตสาหกรรม ซึ่งสามารถตอบสนองความต้องการของผู้บริโภคได้อย่างแท้จริง

## 2.4 ตัวเร่งปฏิกิริยา [44]

ตัวเร่งปฏิกิริยาเป็นสารที่เติมลงไประบบปฏิกิริยาในจำนวนน้อยมากเมื่อเทียบกับสารตั้งต้น มีผลทำให้อัตราเร็วของปฏิกิริยาเพิ่มขึ้นอย่างมากในขณะที่สารนั้นไม่เกิดการเปลี่ยนแปลงทางเคมี กล่าวคือ ตัวเร่งปฏิกิริยามีบทบาทหน้าที่ในการเร่งปฏิกิริยาให้เร็วขึ้นได้ โดยการเปลี่ยนแปลงกลไก

ในการเกิดปฏิกิริยาทำให้พลังงานก่อกัมมันต์ (Activation energy) ที่ต้องการสำหรับการเกิดปฏิกิริยาลดต่ำลง ดังแสดงในภาพที่ 8



ภาพที่ 8 บทบาทหน้าที่ของตัวเร่งปฏิกิริยาที่มีผลต่อพลังงานก่อกัมมันต์ [45]

ปฏิกิริยาที่ถูกกระตุ้นด้วยตัวเร่งปฏิกิริยานี้จะถูกเรียกว่าปฏิกิริยาเชิงเร่ง (Catalytic reaction) ซึ่งสามารถจำแนกออกโดยพิจารณาถึงวัสดุภาคที่มีอยู่ในระบบซึ่งแบ่งออกได้เป็น 2 แบบ คือปฏิกิริยาเชิงเร่งแบบเอกพันธ์ (Homogeneous catalytic reaction) เป็นปฏิกิริยาเชิงเร่งที่มีสารตั้งต้นและตัวเร่งปฏิกิริยาอยู่ในวัสดุภาคเดียวกัน และปฏิกิริยาเชิงเร่งแบบวิชพันธ์ (Heterogeneous catalytic reaction) เป็นปฏิกิริยาเชิงเร่งที่สารตั้งต้นและตัวเร่งปฏิกิริยาอยู่ในสถานะวัสดุภาคที่ต่างกัน โดยส่วนใหญ่สารตั้งต้นจะอยู่ในสถานะของเหลวและแก๊ส ในขณะที่ตัวเร่งปฏิกิริยามักอยู่ในสถานะของแข็ง

#### 2.4.1 ปัจจัยที่มีผลต่อสมบัติของตัวเร่งปฏิกิริยา

ลักษณะทางกายภาพของตัวเร่งปฏิกิริยา เช่น ขนาดของพื้นผิว การกระจายตัวของขนาดและปริมาตรของรูพรุนของตัวรองรับ และระดับการกระจายตัวของโลหะในกรณีที่มีการฉบับตัวเร่งปฏิกิริยานั้นตัวรองรับ เป็นต้น เป็นปัจจัยที่สำคัญที่มีผลต่อการเร่งปฏิกิริยาของตัวเร่งปฏิกิริยา

โดยเฉพาะพื้นผิวของตัวเร่งปฏิกิริยาเป็นปัจจัยหนึ่งที่สำคัญต่อประสิทธิภาพในการเร่งปฏิกิริยาของตัวเร่งปฏิกิริยา ก่อให้เกิดการพัฒนาตัวเร่งปฏิกิริยาใหม่มีรูพรุนมากขึ้น โดยสามารถทำให้ตัวเร่งปฏิกิริยามีพื้นที่ผิวมากถึง 1500 ตารางเมตรต่อกิโลกรัม แต่อย่างไรก็ตาม มีตัวเร่งปฏิกิริยาบางชนิดที่ไม่สามารถพัฒนาให้มีรูพรุนได้ โดยเฉพาะตัวเร่งปฏิกิริยาจำพวกของแข็งที่ไม่มีรูพรุน (Nonporous solids) วิธีการเพิ่มพื้นผิวสามารถทำได้ โดยใช้วิธีการบดของแข็งที่ไม่มีรูพรุนนั้นให้มีขนาดเล็กลงในกรณีเช่นนี้เราสามารถเพิ่มพื้นผิวของตัวเร่งปฏิกิริยาประเภทนี้ได้โดยการฉาบบนตัวรองรับ ซึ่งจะทำให้ตัวเร่งปฏิกิริยาเกิดการกระจายตัวเป็นอนุภาคเล็ก ๆ อยู่บนตัวรองรับเหล่านั้น

#### 2.4.1.1 การหาพื้นที่ผิวของตัวเร่งปฏิกิริยา

โดยทั่วไปประสิทธิภาพของตัวเร่งปฏิกิริยามักจะขึ้นกับสภาพพื้นผิวของตัวเร่งปฏิกิริยา เช่น พลังงานของพื้นผิวและหมู่ฟังก์ชันบนพื้นผิว (Functional group) เนื่องจากปฏิกิริยาเชิงเร่งแบบวิธีพันธ์ที่มีตัวเร่งปฏิกิริยาอยู่ในสถานะของแข็งมักจะเกิดขึ้นบนพื้นผิว ดังนั้นพื้นผิวของตัวเร่งปฏิกิริยาจึงเป็นปัจจัยที่สำคัญยิ่งต่อการเร่งปฏิกิริยา ซึ่งอาจคาดคะเนประสิทธิภาพของตัวเร่งปฏิกิริยาได้โดยพิจารณาขนาดพื้นที่ผิวของตัวเร่งปฏิกิริยานั้น

พื้นผิวของอนุภาคต่อหนึ่งหน่วยน้ำหนัก ( $S_g$ ) จะเรียกว่า พื้นที่ผิวจำเพาะ (Specific surface area) ในกรณีที่อนุภาคมีลักษณะทรงกลม ค่า  $S_g$  จะคำนวณได้จากการที่

$$S_g = \frac{6}{\rho d_p} \quad (2)$$

$\rho$  = ความหนาแน่นของอนุภาคโลหะตัวเร่งปฏิกิริยา (กิโลกรัมต่อลูกบาศก์เมตร)

$d_p$  = เส้นผ่าศูนย์กลางของอนุภาค (เมตร)

แต่โดยความเป็นจริงแล้วอนุภาคของของแข็งมักจะมีขนาดไม่สม่ำเสมอ บ้างก็ไม่ใช่ทรงกลม บ้างก็มีรูพรุน การหาพื้นที่ผิวจำเพาะสามารถแบ่งออกได้เป็น 2 วิธีใหญ่ ๆ คือวิธีการดูดซับ (Adsorption method) และวิธีการส่งผ่าน (Transmission method)

วิธีแรกเป็นวิธีการหาพื้นผิวของตัวเร่งปฏิกิริยา โดยการทำให้แก๊สหรือของเหลวดูดซับบนพื้นผิวของตัวเร่งปฏิกิริยานั้น และทำการคำนวณหาพื้นผิวจากปริมาณการดูดซับของโนมแคลคูล (หรืออะตอน) ของแก๊สที่ใช้เป็นตัวถูกดูดซับ โดยทั่วไปนิยมเรียกวิธีการหาพื้นผิวแบบนี้ว่า วิธี BET เนื่องจากเป็นวิธีที่คิดค้นโดย Brunauer emmett teller

ส่วนวิธีที่สองเป็นวิธีการหาพื้นผิวของตัวเร่งปฏิกิริยา โดยให้แก๊สหรือของเหลวส่งผ่านเบดของตัวเร่งปฏิกิริยาและคำนวณหาพื้นผิวจากอัตราเร็วในการส่งผ่าน วิธีนี้ทำได้ง่าย แต่ไม่ถูกต้องแม่นยำเท่ากับวิธีการคุณซับ

#### 2.4.1.2 ปริมาตรช่องว่างและความหนาแน่นของของแข็ง

ปริมาตรช่องว่าง (Void volume) หรือปริมาตรรูพรุน (Pore volume) ของอนุภาคของตัวเร่งปฏิกิริยาสามารถหาได้อย่างคร่าวๆ โดยการต้มตัวอย่างที่ทราบน้ำหนักในขณะที่เปลี่ยนในของเหลว เช่น น้ำ หลังจากที่อากาศภายในรูพรุนถูกแทนที่ด้วยของเหลวแล้ว ตัวอย่างจะถูกทำให้แห้งเฉพาะที่ผิว (Superficially dried) และนำไปชั่งน้ำหนัก เมื่อหารน้ำหนักส่วนที่เพิ่มขึ้นด้วยความหนาแน่นของของเหลวนั้น ก็จะทราบปริมาตรของรูพรุน แต่วิธีนี้ไม่ถูกต้องแม่นยำเท่าใดนัก วิธีที่ถูกต้องแม่นย้ำกว่า คือ วิธี Helium-mercury

วิธีการนี้จะวัดปริมาตรของไฮเดรียมซึ่งถูกแทนที่ด้วยตัวเร่งปฏิกิริยา หลังจากนั้นจะนำเอาไฮเดรียมออกจากระบบ และวัดปริมาตรของprotoที่ถูกแทนที่ด้วยตัวเร่งปฏิกิริยานั้นอีกครั้ง เนื่องจากprotoจะไม่สามารถแพร่เข้าไปในรูพรุนส่วนใหญ่ของตัวเร่งปฏิกิริยาในสภาพะบรรยายได้ ในขณะที่ไฮเดรียมจะแพร่เข้าไปได้ ดังนั้นปริมาตรของprotoที่ถูกแทนที่ด้วยตัวเร่งปฏิกิริยาที่วัดได้จะมีปริมาตรเท่ากับปริมาตรในส่วนที่เป็นของแข็งของตัวเร่งปฏิกิริยา ผลต่างระหว่างปริมาตรทั้งสองจะเท่ากับปริมาตรในส่วนที่เป็นของแข็งของตัวเร่งปฏิกิริยา ผลต่างสัดส่วนของช่องว่างหรือรูพรุนในอนุภาคของตัวเร่งปฏิกิริยาซึ่งเป็นแทนด้วย  $\xi_p$  ได้ดังสมการที่ 3

$$\xi_p = \frac{\text{ปริมาตรของรูพรุนในอนุภาค}}{\text{ปริมาตรทั้งหมดของอนุภาค}} \quad (3)$$

#### 2.4.1.3 การกระจายตัวของปริมาตรรูพรุนของตัวรองรับ

เนื่องจากพื้นผิวภายในรูพรุนจะมีบทบาทสำคัญอย่างยิ่งต่อการเร่งปฏิกิริยา มากกว่าพื้นผิวภายนอก แต่การใช้พื้นผิวภายในรูพรุนให้เกิดประโยชน์อย่างมีประสิทธิภาพนั้นไม่เพียงแต่จะขึ้นอยู่กับปริมาตรของรูพรุนเท่านั้นแต่จะขึ้นอยู่กับรากที่มีของรูพรุนนั้นด้วย ดังนั้นจึงมีความจำเป็นอย่างยิ่งที่ต้องการทราบการกระจายตัวของปริมาตรรูพรุนตามขนาดของรูพรุนต่างๆ ซึ่งเป็นเรื่องที่ยาก เพราะว่าช่องว่างภายในอนุภาคของตัวเร่งปฏิกิริยาจะมีขนาด รูปร่าง และความยาวไม่สม่ำเสมอและโดยปกติมักจะเชื่อมต่อกัน

ประเภทของรูพ魯นบนตัวรองรับ แบ่งตามขนาดของรูพ魯น ได้ดังนี้

1. รูพ魯นที่มีขนาดเส้นผ่านศูนย์กลางใหญ่กว่า 50 นาโนเมตร รูพ魯นที่มีขนาดเช่นนี้ จะมีผลทำให้ไม่เกิดข่องตัวถูกคัดซับสามารถแพร่ผ่านจากพื้นผิวด้านนอกของตัวเร่งปฏิกิริยาเข้าสู่ภายในรูพ魯น ได้อ่าย่างรวดเร็ว เรียกรูพ魯นที่มีขนาดใหญ่กว่า 50 นาโนเมตร นี้ว่า Macropores
2. รูพ魯นที่มีขนาดเส้นผ่านศูนย์กลาง 2-50 นาโนเมตร เรียกว่า Mesopores
3. รูพ魯นที่มีขนาดเส้นผ่านศูนย์กลาง 0.8-2 นาโนเมตร เรียกว่า Micropores
4. รูพ魯นที่มีขนาดเส้นผ่านศูนย์กลางน้อยกว่า 0.8 นาโนเมตร ซึ่งจะมีขนาดใกล้เคียงกับขนาดเส้นผ่านศูนย์กลางของไม่เกิดข่องสารจะเรียกรูพ魯นที่มีขนาดเช่นนี้ว่า Sub-micropores

การวัดการกระจายตัวของปริมาตรของรูพ魯นสามารถวัดได้ 2 วิธีด้วยกัน คือ

#### 2.4.1.3.1 วิธีการแทนที่ด้วยproto (Mercury-penetration)

หลักการของวิธีนี้ คือ เนื่องจากprotoมีแรงตึงผิวมากจึงไม่ทำให้พื้นผิวของตัวเร่งปฏิกิริยาเปียก ดังนั้นถ้าต้องการที่จะทำให้protoไหลเข้าสู่ภายในของรูพ魯น ได้จะต้องใช้ความดันในการอัด ซึ่งความดันที่ต้องใช้นี้จะขึ้นอยู่กับขนาดรัศมีของรูพ魯น ความดันจะประพฤตินั้นกับรัศมีของรูพ魯น ความสัมพันธ์ระหว่างความดันที่ใช้อัดprotoเข้าสู่รูพ魯นและขนาดรัศมีของรูพ魯น คือ แรง เนื่องจากแรงตึงผิว (ซึ่งเป็นแรงที่พยายามทำให้protoไหลออกจากรูพ魯น) จะเท่ากับแรงที่ต้องใช้ในการดันให้protoไหลเข้าสู่รูพ魯น

#### 2.4.1.3.2 วิธีการ Nitrogen-desorption

หลักการของวิธีนี้ คือ ทำการคัดซับในไตรเจนที่อุณหภูมิต่ำอย่างต่อเนื่อง เนื่องจากความดันต่ำจะกระตุ้นกระบวนการดันสูงขึ้นเรื่อยๆ ไม่เกิดข่องในไตรเจนจะถูกคัดซับบนพื้นผิวโดยการเรียงช้อนกันมากขึ้นจนกระตุ้นเติมรูพ魯น และเกิดการควบแน่นของในไตรเจนภายในรูพ魯น เมื่อรูพ魯นทึบหมัดภายในตัวเร่งปฏิกิริยาลูกบวรรจุด้วยในไตรเจนที่ควบแน่นแล้ว จะค่อยๆ ลดความดันลงเป็นช่วงๆ ทีละน้อย ทำให้ในไตรเจนเกิดการระเหยโดยไตรเจนจะเริ่มระเหยออกจากรูพ魯นที่มีขนาดใหญ่สุดก่อน หลังจากนั้นในไตรเจนก็จะเริ่มระเหยออกจากรูพ魯นที่มีขนาดเล็กลงมา ด้วยเหตุนี้เมื่อวัดปริมาณ Nitrogen-desorption ที่อัตราส่วนความดันไออกต่อตัวเองแล้วจะทำให้สามารถทราบค่าปริมาตรของรูพ魯นที่รัศมีต่างๆ นั้นได้

#### 2.4.1.4 ระดับการกระจายตัวของโลหะ

ในกรณีของตัวเร่งปฏิกิริยาจำพวกโลหะที่ฉบับนั้นตัวองรับ การกระจายตัวของโลหะจะมีบทบาทสำคัญอย่างยิ่งต่อความไว (Activity) ใน การเกิดปฏิกิริยา กล่าวคือ ถ้าโลหะมีการกระจายตัวเพิ่มมากขึ้น ก็จะทำให้ไม่เพียงแต่จำนวนพื้นที่ที่ว่องไว (Active site) ที่มีผลต่อการเร่งปฏิกิริยาเพิ่มขึ้นเท่านั้น แต่ยังมีผลให้อะตอมที่ส่วนมุม (Corner) และขอบ (Edge) ของอนุภาคโลหะ เพิ่มขึ้นด้วย นอกจากนั้นยังอาจเปลี่ยนแปลงความสามารถในการเร่งปฏิกิริยาและค่าการเลือก (Selectivity) ของปฏิกิริยาเนื่องจากผลของอันตรกิริยา (Interaction) ระหว่างโลหะและตัวองรับ นั้น

เนื่องจากตัวเร่งปฏิกิริยาที่มีโลหะฉบับนั้นตัวองรับ ส่วนใหญ่มักจะมีขนาดเส้นผ่าศูนย์กลางของอนุภาคเล็กในระดับนาโนเมตร (nm) ดังนั้นวิธีที่เหมาะสมในการหาระดับการกระจายตัว คือ วิธีการคัดซับแก๊ส โดยวิธีนี้เป็นวิธีทางระดับการกระจายตัวของโลหะ โดยการวัดปริมาณการคัดซับแก๊สต่อหน่วยน้ำหนักของตัวเร่งปฏิกิริยาจำพวกโลหะที่ฉบับนั้นตัวองรับ และให้ 1 อะตอมที่พื้นที่ผิวโลหะสามารถคัดซับ โมเลกุล (อะตอม) ของแก๊สไนโตรเจน 1 โมเลกุล (อะตอม)

#### 2.4.2 วิธีการเตรียมตัวเร่งปฏิกิริยา [46]

ตัวเร่งปฏิกิริยาวิธพันธ์แบ่งเป็น 3 ประเภทตามลักษณะทางกายภาพ

**2.4.2.1 ตัวเร่งปฏิกิริยาที่มีตัวองรับ (Supported catalyst)** ประกอบด้วย 2 องค์ประกอบหลัก ได้แก่ สารก่อกัมมันต์หรือสารที่ว่องไวในการเร่งปฏิกิริยา (Active component) และตัวองรับ ซึ่งตัวองรับมักเป็นวัสดุที่มีพื้นที่ผิวสูง มีความเสถียร และมีรูพรุน เพื่อช่วยในการกระจายตัวของสารก่อกัมมันต์ เช่น โลหะ (Pt, Ag, Ni หรือ Cu) โลหะออกไซด์ (Metal oxides) โลหะซัลไฟด์ (Metal sulfides) หรือโลหะคลอไรด์ (Metal chlorides) ที่อ่อนนุ่มน้ำองรับที่มีรูพรุน เช่น อะลูมินาหรือซิลิค้า

ตัวองรับที่รู้จักกันดี เช่น ซิลิค้า อะลูมินา ถ่านกัมมันต์ (Activated carbon) ซีโอไลต์ (Zeolite) ไทเทเนียม (Titania) เป็นต้น ซึ่งต้องการให้สารก่อกัมมันต์กระจายตัวได้ดีบนตัวองรับ โดยทั่วไปคุณสมบัติของตัวองรับสำหรับตัวเร่งปฏิกิริยาคือ

- มีพื้นที่ผิว (Surface area) สูงและมีรูพรุน (Porosity) ซึ่งช่วยให้วัตถุประสงค์การใช้งาน เนื่องจากถ้ามีขนาดรูพรุนเล็กเกินไปจะทำให้เกิดการอุดตันได้
- มีความเสถียรและทนต่อสภาพแวดล้อมต่างๆ ในระหว่างการทำปฏิกิริยาและการนำกลับมาใช้ใหม่

- มีความแข็งแรงเชิงกล
- Dual Functionality บางครั้งสามารถทำหน้าที่ในการเร่งปฏิกิริยาได้ด้วย
- สามารถปรับปรุงความว่องไวและความสามารถของสัดส่วนการเลือกทำปฏิกิริยาได้ด้วย
  - มีราคาถูก ช่วยลดต้นทุนการผลิตตัวเร่งปฏิกิริยา

**2.4.2.2 ตัวเร่งปฏิกิริยาแบบบล็อก (Bulk catalyst)** เป็นของแข็งที่มีรูพื้นที่ช่องตัวมันเองมีความว่องไวในการเร่งปฏิกิริยา โดยไม่จำเป็นต้องใส่โลหะกัมมันต์ (Active metal) ลงไป เช่น กรดที่เป็นของแข็ง (Solid acid) ไಡเกล ซีโอໄอลิต์ (Zeolite) หรือ ไทเทเนียม ( $TiO_2$ )

**2.4.2.3 ตัวเร่งปฏิกิริยาที่ไม่มีตัวรองรับ (Unsupported metal)** เป็นตัวเร่งปฏิกิริยาที่มีพื้นที่ผิวต่ำ มักจะใช้ในบางกรณีเท่านั้น เช่น ตัวเร่งปฏิกิริยาโลหะ (Metal catalyst)

#### 2.4.3 การเตรียมตัวเร่งปฏิกิริยาที่มีตัวรองรับ (Supported catalyst)

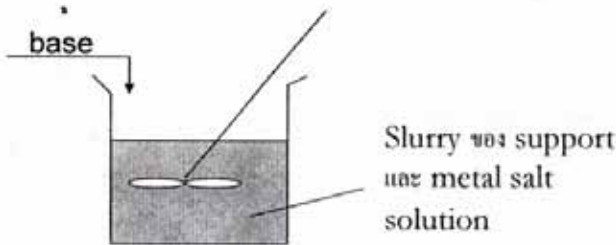
วิธีการที่ทำให้องค์ประกอบกัมมันต์ (Active component) กระจายตัวบนตัวรองรับ หรือการเดินทางค์ประกอบกัมมันต์ลงไปในตัวรองรับ ที่นิยมมีอยู่ 3 วิธีคือ

##### 2.4.3.1 การตกตะกอน (Precipitation) หรือการตกตะกอนร่วม (Co-precipitation)

เป็นการทำให้ผงอนุภาคของตัวรองรับเกิดปฏิกิริยากับเกลือของสารละลาย ซึ่งอาจจะเป็นเกลือของคลอไรด์ ในเตรต หรือชัลฟेट เป็นต้น ในตัวกลางที่เป็นด่าง เช่น สารละลายโซเดียมไฮดรอกไซด์ โซเดียมโซเดียมไฮดรอกไซด์ หรือ แอมโมนีียมไฮดรอกไซด์ เป็นต้น จะทำให้ได้โลหะไฮดรอกไซด์ที่ไม่ละลายน้ำ จากนั้นจะสามารถเปลี่ยนไปเป็นโลหะออกไซด์ได้เมื่อผ่านการเผา

วิธีการเตรียมสามารถทำได้โดยการผสมกันของตัวรองรับกับสารละลายเกลือของโลหะกัมมันต์ตามปริมาณที่ต้องการ จากนั้นเดินสารละลายด่างลงไปเพื่อทำให้เกิดการตกตะกอนของสารละลายเกลือของโลหะกัมมันต์ ขั้นตอนไปก็ทำการกรองหรือแยกตะกอนที่ได้ออกจากสารละลาย และล้างตะกอนเพื่อกำจัดสารต่าง ๆ เช่น สารละลายด่างที่เป็นอิออนของสารตั้งต้น และสารที่จับที่พื้นผิวของตัวรองรับที่มากเกินไปออก หลังจากล้างแล้วก็ทำให้แห้งโดยการอบเพื่อไล่น้ำที่อยู่ในรูพื้นที่ จากนั้นก็ผ่านการเผาเพื่อให้โลหะไฮดรอกไซด์เปลี่ยนเป็นโลหะออกไซด์ที่

ເສດຖາ ທີ່ຈຶ່ງບັນກັບອຸປະກູມທີ່ໃຊ້ ເຫັນ ນິກເກີລ ໄກສຣອກໄຊດ໌ທີ່ຈັບອູ່ບຸນຕົວຮອງຮັບອະລຸມືນາຈະສາມາຮັດສລາຍຕົວເປັນນິກເກີລອອກໄຊດ໌ໄດ້ທີ່ອຸປະກູມປະມານ 300 ອົງຄາແລລເຊີຍສ



ກາພທີ່ 9 ກາຮເຕີຢີມຕົວເຮັງປັກົງກີຍາທີ່ມີຕົວຮອງຮັບດ້ວຍວິທີກາຮຕກຕະກອນ (Precipitation) ມີກາຮຕກຕະກອນຮ່ວມ (Co- precipitation) [3]

ສິ່ງທີ່ຕ້ອງຮະນັດຮ່ວງໃນກາຮຕກຕະກອນກີ່ອື່ອ ກາຮເກີດນິວເຄລື່ຍສພລືກ (Nucleation) ແລະ ກາຮເພີ່ມຂາດຕະກອນ (Growth) ອ່າງຮວດເຮົວ ເນື່ອງຈາກຈະທຳໃຫ້ເກີດໂໂສລທີ່ມີຂັນາດໄຫຼູ່ທຳໃຫ້ເຫົາໄປໃນຮູ່ພຽນຂອງຕົວຮອງຮັບໄດ້ຍາກ ມີກາຮຕກຕະກອນຮ່ວມທີ່ພື້ນຜົວກາຍນອກທ່ານັ້ນ

#### 2.4.3.2 ກາຮພອກພູນ (Deposition)

ເປັນກາຮນໍາຕົວຮອງຮັບທີ່ແໜ່ງມາແຂ່ໃນສາຣະລາຍຂອງເກລື່ອຂອງໂລໜ່າກັນມັນທີ່ມີຄວາມເຂັ້ມ່ານີ້ທີ່ເໝາະສົມສໍາຮັບກາຮເກີດກາຮຄຸດຊັບ (Adsorption) ວິທີນີ້ເປັນວິທີທີ່ເໝາະສົມເມື່ອຕ້ອງກາຮບົນາມຂອງອົງອົງກົບກັນມັນທີ່ໄມ່ສູງ ທີ່ຈົ່ງຕົວຮອງຮັບຈະຄຸກທຳໃຫ້ຊຸ່ນໃນສາຣະລາຍ ທີ່ຈົ່ງອົງກົບກັນມັນທີ່ຈະເຂົ້າໄປຈັນໃນຮູ່ພຽນຍ່າງທ່ານີ້ໃນຮ່າວງກາຮທຳໃຫ້ຊຸ່ນ

ຂໍ້ເລີຍຂອງເທິກິນິກາຮພອກພູນກີ່ອ ປົຣິມານທີ່ທຳໃຫ້ເກີດກາຮອື່ນຕົວມີຄ່າຕ່າງ ເຫັນຕົວຮອງຮັບອະລຸມືນາແລະໃໝ່ສາຣະລາຍເກລື່ອຂອງນິກເກີລຈະສາມາຮັດເຕີຢີມໄທ້ມີປົຣິມານໂລໜ່າໄດ້ເພີຍງ 2-3% ເທົ່ານັ້ນ ທີ່ສາມາຮັດທຳໃຫ້ປົຣິມານໂລໜ່ານັ້ນໄດ້ໂດຍກາຮທຳກາຮພອກພູນຫລາຍໆ ຄວັງແຕ່ຈະຕ້ອງໃຊ້ເວລານານ

ກາຮພອກພູນ (Deposition) ສາມາຮັດແນ່ງອອກໄດ້ 2 ຊົນິດ

#### 2.4.3.2.1 Incipient wetness ມີກາຮຕກຕະກອນ (Impregnation)

ເປັນກາຮເດີມສາຣະລາຍຂອງເກລື່ອຂອງໂລໜ່າເຂົ້າໄປໃນຮູ່ພຽນຂອງຕົວຮອງຮັບໂດຍທີ່ສາຣະລາຍທີ່ໃຊ້ຕ້ອງມີປົຣິມານທີ່ສາມາຮັດເຕີມຮູ່ພຽນໄດ້ພອດີ



ภาพที่ 10 การเตรียมตัวเร่งปฏิกิริยาที่มีตัวรองรับด้วยวิธี Incipient wetness หรือการทำให้อึบชุม (Impregnation) [3]

ขั้นตอนการเตรียมคือ การทำให้ตัวรองรับแห้งเพื่อกำจัดความชื้นในรูพุนซึ่งจะทำให้เกิดการแพร่ของสารละลายของเกลือของโลหะเข้าไปในรูพุนได้ดีขึ้น จากนั้นหยดสารละลายของเกลือของโลหะในปริมาณที่พอดีที่จะเติมรูพุนและทำให้ผิวน้ำภายในอกของตัวรองรับเปียกพอดีลงไปบนตัวรองรับ ซึ่งปริมาณที่จะเติมนี้สามารถคำนวณได้จากปริมาตรของรูพุน

#### 2.4.3.2.2 Excess solution

คล้ายคลึงกับวิธี Incipient wetness หรือเรียกว่าการทำให้อึบชุม (Impregnation) ต่างกันตรงที่เป็นการเติมสารละลายของเกลือของโลหะเข้าไปในรูพุนของตัวรองรับโดยที่สารละลายที่ใช้ต้องมีปริมาณที่มากเกินพอ

#### 2.4.3.3 การแลกเปลี่ยนอิオン (Ion exchange)

การแลกเปลี่ยนอิออนจะเกิดได้เมื่ออิออนตัวใหม่ที่จะเข้ามาแทนที่สามารถจับกับตัวรองรับได้แข็งแรงกว่าอิออนเดิม เช่น  $\text{Na}^+$  และเปลี่ยนอิออนกับอิออนที่มีประจุสูงกว่า เช่น  $\text{Ni}^{2+}$  และมีสมดุลเกิดขึ้นดังนี้



หมายเหตุ : S แทนหมู่ฟังก์ชันใดๆ

เมื่อพูดถึงการแลกเปลี่ยนอิออนมักจะนึกถึงการแลกเปลี่ยนรับในสารละลายนองเกลือของโลหะที่ต้องการจะแลกเปลี่ยนอิออน แล้วอาจได้ปริมาณการแลกเปลี่ยนที่ต้องการ ซึ่งข้อดีของการแลกเปลี่ยนอิออนนี้คือ การกระจายตัวของอิออนโลหะที่เป็นเนื้อเดียว แต่ว่านี่มีข้อจำกัดคือ ต้องใช้เวลา และเมื่อการแลกเปลี่ยนอิ่มตัวแล้วไม่สามารถเพิ่มปริมาณอิออนได้

ตัวรองรับที่นิยมใช้ในการแลกเปลี่ยนอิออน คือ ชีโอลาย特 เนื่องจาก ชีโอลาย特มีอิออนนาวิกที่สามารถแลกเปลี่ยนอิออนได้ กรณีที่โครงสร้าง Z<sup>+</sup> ที่มีอิออน A<sup>+</sup> อยู่ในโครงสร้าง ซึ่งจะถูกแลกเปลี่ยนได้ด้วยอิออน B<sup>+</sup> ซึ่งก็จะเป็นตำแหน่งกัมมันต์ในโครงสร้าง Z ดังสมการต่อไปนี้



ค่าคงที่สมดุล (Equilibrium constant) ของการแลกเปลี่ยนคือ

$$K_a = \frac{C_{ZB^+} C_{A^+}}{C_{ZA^+} C_{B^+}} \quad (6)$$

เมื่อเกิดการแลกเปลี่ยนอิออนขึ้น มันไม่สามารถเกิดได้ทั้งหมดครึ่องเบอร์เช่นต์ ซึ่งประดิษฐ์ภาพในการเกิดจะขึ้นอยู่กับอุณหภูมิและความเข้มข้นเริ่มต้น เช่น การใช้ชีโอลายต์โซเดียมวาฟ (NaY) และแลกเปลี่ยนอิออนกับแอมโมเนียม (NH<sub>4</sub><sup>+</sup>) ถ้าใช้อุณหภูมิ 25 องศาเซลเซียส จะสามารถเกิดการแลกเปลี่ยนได้ 73% เท่านั้น

จะเห็นได้ว่าวิธีการทำให้อิบชุ่มเป็นวิธีการเตรียมตัวเร่งปฏิกิริยาที่ค่อนข้างง่ายและสามารถควบคุมปริมาณการฉาบของสาร ได้ ข้อควรระวังคือการปนเปื้อนของสิ่งเจือปนซึ่งไม่สามารถกำจัดออกได้และเมื่อทำการเผาจะทำให้เกิดเป็นสิ่งปนเปื้อนหลงเหลืออยู่ในตัวเร่งปฏิกิริยา ด้วยเหตุนี้เพื่อไม่ให้มีสิ่งปนเปื้อนหลงเหลืออยู่จึงจำเป็นที่จะต้องเลือกใช้วัตถุดินที่มีความบริสุทธิ์สูง

#### 2.4.4 กรรมวิธีหลังการเตรียมตัวเร่งปฏิกิริยา [44]

##### 2.4.4.1 การทำให้แห้ง (Drying)

เป็นกระบวนการที่กระทำเพื่อกำจัดน้ำในโครงสร้างของตัวเร่งปฏิกิริยา โดยทำในตู้อบหรือทิงไว้ในอากาศ แต่นิยมทำในตู้อบที่ 100 องศาเซลเซียส ประมาณ 24 ชั่วโมง

#### 2.4.4 .2 การเผาที่อุณหภูมิสูง (Calcination)

การเผาตัวเร่งปฏิกิริยาที่อุณหภูมิสูง มีเหตุผลหลายประการ ดังนี้

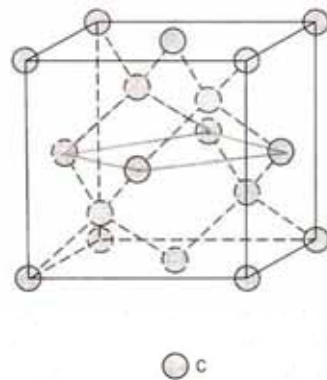
- เพื่อกำจัดสิ่งแปรปรวนที่ไม่ต้องการ เช่น ไอออนบวก/ไอออนลบที่ไม่สตีเบอร์ และสารที่ระบุได้ยากที่เติมลงไปในขั้นตอนการเตรียมตัวเร่งปฏิกิริยา
- การเปลี่ยนรูปเกลือโลหะให้เป็นโลหะออกไซด์ โดยการเลือกใช้อุณหภูมิขึ้นกับโลหะที่เป็นตัวเร่งปฏิกิริยา และถ้าโลหะออกไซด์นั้นถูกรีดิวชั่อย่างต่อเนื่องที่อุณหภูมิสูงก็จะทำให้เกิดเป็นโลหะขึ้น

อุณหภูมิที่ใช้ควรสูงพอเพื่อทำให้เกิดสภาพการเริ่มต้นของการรวมตัวของผลึก (Incipient sintering) แต่ต้องไม่ให้เกิดการรวมของผลึกอันเกิดจากความร้อนที่มากเกินไป (Excessive sintering) ซึ่งถ้าเกิดการรวมตัว (Sintering) จะทำให้พื้นที่ผิว (Surface area) ลดลง มีผลทำให้ตำแหน่งที่ว่างไวในการเกิดปฏิกิริยา (Active site) ลดลง และอาจเป็นสาเหตุของการจำกัดการแพร่ (Diffusional limitation) เพราะขนาดของรูพรุนที่เล็กลง ปริมาณและการแยกแขง (Dispersion) ของเกลือโลหะบนพื้นผิวภายในของตัวรองรับมีผลต่อสมบัติของตัวเร่งปฏิกิริยาที่เตรียมขึ้น ปริมาณและการแยกเปลี่ยนขึ้นอยู่กับลักษณะการคุณภาพของเกลือเข้าไปอยู่ในรูพรุนของตัวรองรับ ในขั้นตอนแรก การแยกแขงของเกลือโลหะยังไม่สม่ำเสมอ ซึ่งในตอนแรกปริมาณการคุณภาพขึ้นอยู่กับปริมาณความเข้มข้นของสารละลาย และเมื่อการคุณภาพถึงจุดอิ่มตัวแล้วความเข้มข้นจะไม่มีผลต่อการคุณภาพ เมื่อการคุณภาพอิ่มตัวแล้ว จะนำตัวเร่งปฏิกิริยา岀มาบนแห้ง เพื่อเป็นการจำกัดตัวทำละลาย การอบจะมีการให้ความร้อนอย่างช้า ๆ เพื่อให้การระเหยเป็นไปอย่างช้า ๆ (เนื่องจากตัวรองรับมีขนาดรูพรุนต่ำกว่า เมื่อทำการระเหยสารละลายที่มีอยู่ในรูพรุนที่มีขนาดใหญ่กว่าจะระเหยไปก่อน เนื่องจากความดันจะดันสารละลายไปอยู่ในรูพรุนที่มีขนาดเล็กกว่า)

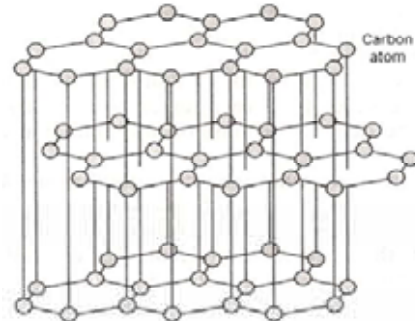
#### 2.5 ท่อนานोคาร์บอน (Carbon nanotube)

คาร์บอน (Carbon) เป็นธาตุหลักหนึ่งในสี่ธาตุของสิ่งมีชีวิต (ธาตุที่เป็นองค์ประกอบพื้นฐานของสิ่งมีชีวิตบนโลกคือ ไฮโตรเจน คาร์บอน ในไตรเจน และ ออกซิเจน) สิ่งมีชีวิตทุกชนิดเป็นสิ่งมีชีวิตในรูปแบบที่มีคาร์บอนเป็นธาตุพื้นฐานของชีวิตหรืออาจกล่าวได้ว่า โน阴谋ลที่ได้ชื่อว่า เป็นสารอินทรีย์ทุกชนิดนั้น มีคาร์บอนเป็นองค์ประกอบ นอกจากนี้ คาร์บอนยังมีอยู่ในอาหาร เสื้อผ้า น้ำมันเชื้อเพลิงที่ใช้กับรถยนต์ และอื่น ๆ เป็นต้น ที่กล่าวมานี้เป็นเพียงบทบาทบางส่วนของ คาร์บอนเท่านั้น

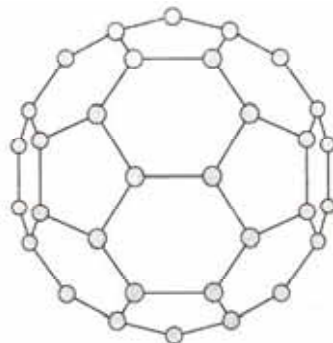
คาร์บอนมีอัลตรูปในธรรมชาติสี่แบบ ก็อแบบบกัณฑุราน (Amorphous carbon) และแบบกราไฟต์ (Graphite) แบบเพชร (Diamond) และแบบบักมินสเตอร์ฟูลเลอเรน (Buckminsterfullerene)



ภาพที่ 11 เชลล์หนึ่งหน่วย (Unit cell) ของโครงสร้างผลึกแบบกล่องจักรัสของเพชร [47]



ภาพที่ 12 โครงสร้างของกราไฟต์ (Graphite) [47]



ภาพที่ 13 โครงสร้างของโมเลกุล  $C_{60}$  [47]

ตัวอย่างโครงสร้างแบบบล็อกฐานของการบอนกีคือเขม่าควัน ส่วนโครงสร้างแบบกราไฟต์และแบบเพชรน้ำตกต่างกัน เนื่องจากกราไฟต์นั้นมีโครงสร้างในลักษณะที่ประกอบด้วยหน่วยของคาร์บอนที่เชื่อมต่อกันเป็นรูปหกเหลี่ยมซ้อนกันเป็นแผ่นในระนาบเดียวกัน เรียกว่าแผ่นกราฟีน (Graphene) และเชื่อมต่อระหว่างระนาบเป็นชั้น ๆ แต่ละชั้นสามารถเลื่อนไปมาได้ แต่โครงสร้างแบบเพชรมีการเกาะเกี้ยวกันแน่นเป็นรูปทรงสามมิติ ส่วนโครงสร้างแบบบักกิมสเตอร์ฟูลเลอเริน หรือบักกิบูล (Bucky ball) เป็นโครงสร้างที่ถูกค้นพบเมื่อไม่นานมานี้ ประกอบด้วยคาร์บอนจำนวน 60 อะตอมมาต่อกันเป็นทรงกลมคลุมแบบลูกฟุตบอล

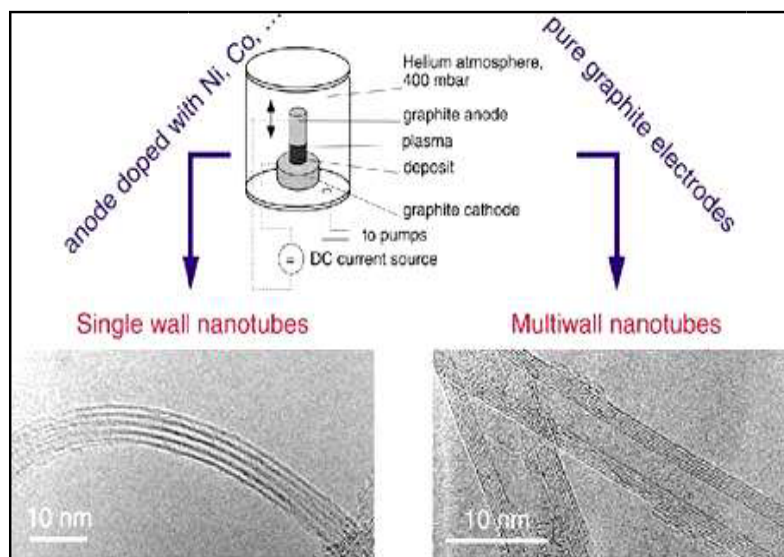
ท่อนาโนคาร์บอนเป็นอีกโครงสร้างหนึ่งของการบอน ซึ่งถูกค้นพบในปี ค.ศ. 1991 กล่าวคือ มีลักษณะคล้ายกับฟูลเลอเริน ต่างกันที่ฟูลเลอเรินมีโครงสร้างเป็นทรงกลม (Spherical shape) แต่ท่อนาโนคาร์บอนมีโครงสร้างเป็นทรงกระบอก (Cylindrical shape) ซึ่งของท่อนาโนคาร์บอน มาจากนาดาของมัน ซึ่งมีขนาดระดับนาโน ( $10^{-9}$  เมตร) หรือมีความกว้างประมาณ 1 ใน 10,000 ของความกว้างของเส้นผมมนุษย์ มีความยาวประมาณ 1 ล้านเท่าของความกว้างของมัน ท่อนาโนคาร์บอน มีด้วยกัน 2 ชนิด กือ ชนิดที่มีผนังชั้นกัน 2 – 50 ชั้น เรียกว่า ท่อนาโนคาร์บอนผนังหลายชั้น (Multi-walled carbon nanotube, MWNT) และชนิดที่มีผนังชั้นเดียวหรือเป็นท่อเดียว เรียกว่า ท่อนาโนคาร์บอนผนังชั้นเดียว (Single-walled carbon nanotube, SWNT)

### 2.5.1 การสังเคราะห์และการผลิตท่อนาโนคาร์บอน [12, 13, 15, 48, 49]

เทคนิคในการผลิตท่อนาโนคาร์บอน ที่ใช้กันอยู่ในปัจจุบันมีดังนี้

### 2.5.1.1 วิธีอาร์คดิสชาร์จ (Arc discharge)

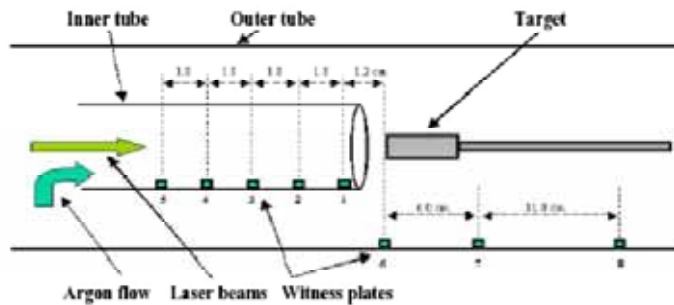
เป็นการใช้ไฟฟ้ากระแสตรงขนาด 100 แอมป์ และสักยีไฟฟ้าประมาณ 20 โวลต์ โดยควบคุมอุณหภูมิที่ 2,000 ถึง 3,000 องศาเซลเซียส ซึ่งทำให้เกิดไอพลาสมาร้อนระหว่างขั้วการบอน 2 ขั้ว (วางห่างกัน 2 - 3 มิลลิเมตร) จะเกิดการควบแน่นที่ขั้วแคปโตด ได้ผลิตผลเป็นท่อนาโนการ์บอนผนังหลายชั้น ประมาณ 30 เปรอร์เซ็นต์ของน้ำหนัก และมีขนาดเส้นผ่านศูนย์กลางประมาณ 2 - 20 นาโนเมตร ด้วยความยาวน้อยกว่า 50 มิลลิเมตร และถ้ามีการใช้ตัวเร่งปฏิกิริยาโลหะร่วมด้วยจะได้เป็นท่อนาโนการ์บอนผนังหลายชั้น



ภาพที่ 14 เครื่อง Arc discharge ที่ใช้ในการสังเคราะห์ท่อนาโนการ์บอน [50]

### 2.5.1.2 วิธีการ夷ด้วยเลเซอร์ (Pulsed-laser vaporization)

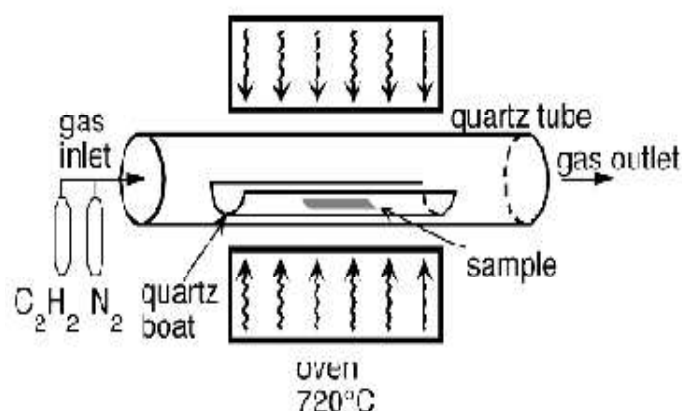
ใช้การยิงแสงเลเซอร์ทำให้การ์บอนพสมโลหะกลายเป็นไอในเดาเพาที่อุณหภูมิ 1,100 – 1,200 องศาเซลเซียส และใช้แก๊สเฉียบเช่น อาร์กอนหรือไนโตรเจนไปภาดท่อนาโนที่ได้ออกจากเดาเพาไปหล่อเย็นที่ตัวเก็บกัก (Collector) ทองแดงด้านนอกเดาเพา เทคนิคนี้ใช้โคมอลต์และนิกเกิลเป็นตัวเร่งปฏิกิริยาได้ท่อนาโนการ์บอนผนังเดียว [51] ที่เป็นระเบียบมากกว่าวิธีแรก แต่มีข้อเสียคือต้นทุนการผลิตสูงทั้งสองเทคนิคและมีปัญหาในเรื่องของการสังเคราะห์ให้ได้สารปริมาณมาก และทำให้ได้ท่อนาโนการ์บอนที่มีรูระเบียบยาก



ภาพที่ 15 เครื่อง Pulsed-laser vaporization ที่ใช้ในการสังเคราะห์ท่อนาโนคาร์บอน [50]

#### 2.5.1.3 วิธีตอกสะสมไออกมี (Chemical vapor deposition)

เป็นอิทธิพลน้ำที่มีต้นทุนต่ำ โดยอาศัยการก่อรูปของท่อนาโนคาร์บอนบนวัสดุรองรับ (Substrate) เมื่อใช้แก๊สไฮโดรคาร์บอน เช่น มีเทน (Methane) [49, 52] และอะเซทิลีน (Acetylene) [53, 54] ภายใต้บรรยายกาศในโตรเจนในห้องปฏิกริยาที่อุณหภูมิ 600 - 800 องศาเซลเซียส สำหรับการผลิตท่อนาโนคาร์บอนพนังหลาชั้น และ 900 – 1,200 องศาเซลเซียส สำหรับการผลิตท่อนาโนคาร์บอนพนังเดี่ยวในบรรยายกาศปกติ การเร่งปฏิกริยาทำได้โดยใช้วัสดุรองรับพวกลोหะหรือโลหะออกไซด์ หรือปืนแก๊สสดิ้งกล่าวร่วมกับตัวเร่งปฏิกริยาโลหะเข้าไปในห้องซึ่งทำให้สามารถผลิตท่อนาโนคาร์บอนได้ในปริมาณมาก และสามารถควบคุมขนาดและความยาวของท่อนาโนคาร์บอนได้ง่ายโดยควบคุมอัตราการไหลของแก๊สและระยะเวลาในการเกิดปฏิกริยา



ภาพที่ 16 เครื่อง Chemical vapor deposition ที่ใช้ในการสังเคราะห์ท่อนาโนคาร์บอน [50]

## บทที่ 3

### วิธีการดำเนินงานวิจัย

#### 3.1 สารเคมีที่ใช้ในการทดลอง

1. Ammonium hydroxide ( $\text{NH}_4\text{OH}$ ) (J.T. Baker)
2. Argon
3. Benzene
4. Ethylene glycol (Carlo ERBA)
5. Fumed silica (Sigma)
6. Iron (III) acetylacetone (ACROS)
7. Iron (III) nitrate (Carlo ERBA)
8. Nickel (II) nitrate (Carlo ERBA)
9. Nitric acid ( $\text{HNO}_3$ ) (J.T. Baker)
10. Nitrogen
11. Sodium hydroxide ( $\text{NaOH}$ ) (J.T. Baker)
12. Sulfuric acid ( $\text{H}_2\text{SO}_4$ ) (J.T. Baker)
13. Triethanolamine (Carlo ERBA)
14. Triethylenetetraamine 60% (ACROS)

#### 3.2 เครื่องมือที่ใช้ในการวิเคราะห์

1. Fourier transform infrared spectrophotometer (Bruker Optik GmbH: Vertex 70, Germany)
2. Raman spectrometer (Spectrum GX, Perkin Elmer)
3. Scanning electron microscope (S-3400N, Hitachi)
4. Thermogravimetric analyzer (Perkin Elmer: TGA7HT, USA)
5. Transmission electron microscope (JEOL 2100, JEOL)

### 3.3 วิธีดำเนินการวิจัย

#### 3.3.1 การเตรียมตัวของรับ

##### 3.3.1.1 การสังเคราะห์ไซลาเทرن

การสังเคราะห์ไซลาเทرنสามารถเตรียมผ่านกระบวนการ Oxide one pot synthesis โดยนำชิลิกาผสมกับไตรอทานอลเอมีน (Triethanolamine, TEA) ที่มีไตรอทิลีนเททระเอมีน (Triethylenetetraamine, TETA) เป็นตัวเร่งปฏิกิริยาและใช้อทิลลีนไกลคอล (Ethylene glycol, EG) เป็นตัวทำละลาย ใส่ในขวดก้นกลมแล้วนำไปต่อเข้ากับ Condenser ภายใต้สภาวะในโตรเจนที่อุณหภูมิ 200 องศาเซลเซียสเป็นเวลา 3 ชั่วโมง

##### 3.3.1.2 การสังเคราะห์ชิลิกา

ศึกษาการเตรียมชิลิกาผ่านเทคนิคโซล-เจล โดยใช้ไซลาเทرنที่สังเคราะห์ได้เป็นสารตั้งต้นปริมาณ 5 มิลลิลิตร นำมาย่อย ๆ หยดน้ำปริมาณ 0.1-0.5 มิลลิลิตรลงในไซลาเทرنที่กวนอยู่ต่อกันแล้วกวนต่อไปอีกประมาณ 5 นาที จากนั้นค่อย ๆ เติมตัวเร่งปฏิกิริยาที่ใช้ได้แก่ แอมโมเนียมไฮดรอกไซด์ ( $\text{NH}_4\text{OH}$ ) กรดซัลฟิวริก ( $\text{H}_2\text{SO}_4$ ) กรดไนโตริก ( $\text{HNO}_3$ ) หรือโซเดียมไฮดรอกไซด์ ( $\text{NaOH}$ ) ทีละหยดประมาณ 5 หยด ภายใต้ระบบปิด ณ อุณหภูมิห้องเป็นเวลา 1 ชั่วโมง จากนั้นนำไปเผาที่อุณหภูมิ 400, 500 และ 600 องศาเซลเซียสเพื่อให้สารอินทรีย์อันๆ ถลวยตัวออกไปจะได้ชิลิกาที่มีความบริสุทธิ์

#### 3.3.2 การเตรียมตัวเร่งปฏิกิริยาแบบบิวชันนิช

##### 3.3.2.1 การเตรียม $\text{Fe/SiO}_2$ โดยวิธี Impregnation

ทำการคลานโลหะเหล็ก (Fe) ที่ได้จากเหล็กไนเตรต (Iron (III) nitrate) ใช้ตัวย่อเป็น  $\text{Fe}(\text{NO}_3)_3 \cdot 9\text{H}_2\text{O}$  และเหล็กอะซิทิลอะซิโนเนต (Iron (III) acetylacetone) ใช้ตัวย่อเป็น  $\text{Fe}(\text{acac})_3$  ลงบนชิลิกาด้วยวิธี Impregnation โดยนำชิลิกาที่เตรียมได้ 0.1500 กรัม ใส่ลงในสารละลายเหล็กแล้วแช่ให้อิ่มตัวที่อุณหภูมิห้อง 1 คืน จากนั้นนำไปประเทน้ำออกที่อุณหภูมิ 100 องศาเซลเซียส เป็นเวลา 12 ชั่วโมง แล้วนำไปเผาที่อุณหภูมิ 600 องศาเซลเซียส เป็นเวลา 3 ชั่วโมง

##### 3.3.2.1.1 ศึกษาผลของอุณหภูมิ

ศึกษาผลของอุณหภูมิที่ใช้ในการเผาตัวอย่าง  $\text{Fe/SiO}_2$  เมื่อใช้ชิลิกาที่เตรียมโดยใช้ตัวเร่งปฏิกิริยาที่เป็นกรดคือ  $\text{HNO}_3$  และ  $\text{H}_2\text{SO}_4$  และใช้แหล่งโลหะเหล็กต่างกันคือ  $\text{Fe}(\text{NO}_3)_3$  และ  $\text{Fe}(\text{acac})_3$  และนำไปเผาที่อุณหภูมิ 400, 500 และ 600 องศาเซลเซียส ตามลำดับ

โดยใช้อัตราการให้ความร้อน (Heating rate) 10 องศาเซลเซียสต่อนาที เป็นเวลา 3 ชั่วโมง โดย สภาวะที่ศึกษาสรุปได้ดังตารางที่ 1

ตารางที่ 1 สภาวะที่ใช้ในการเตรียม  $\text{Fe/SiO}_2$  โดยศึกษาผลของอุณหภูมิ แหล่งโลหะเหล็กและตัวเร่งปฏิกิริยาที่ใช้ในการเตรียมซิลิกา

อุณหภูมิที่ผ่า ( $^{\circ}\text{C}$ )	แหล่งโลหะเหล็กและตัวเร่งปฏิกิริยาที่ใช้ในการเตรียมซิลิกา
400	<ul style="list-style-type: none"> <li>- <math>(\text{Fe}(\text{NO}_3)_3 + \text{HNO}_3)</math></li> <li>- <math>(\text{Fe}(\text{NO}_3)_3 + \text{H}_2\text{SO}_4)</math></li> <li>- <math>(\text{Fe}(\text{acac})_3 + \text{HNO}_3)</math></li> <li>- <math>(\text{Fe}(\text{acac})_3 + \text{H}_2\text{SO}_4)</math></li> </ul>
500	<ul style="list-style-type: none"> <li>- <math>(\text{Fe}(\text{NO}_3)_3 + \text{HNO}_3)</math></li> <li>- <math>(\text{Fe}(\text{NO}_3)_3 + \text{H}_2\text{SO}_4)</math></li> <li>- <math>(\text{Fe}(\text{acac})_3 + \text{HNO}_3)</math></li> <li>- <math>(\text{Fe}(\text{acac})_3 + \text{H}_2\text{SO}_4)</math></li> </ul>
600	<ul style="list-style-type: none"> <li>- <math>(\text{Fe}(\text{NO}_3)_3 + \text{HNO}_3)</math></li> <li>- <math>(\text{Fe}(\text{NO}_3)_3 + \text{H}_2\text{SO}_4)</math></li> <li>- <math>(\text{Fe}(\text{acac})_3 + \text{HNO}_3)</math></li> <li>- <math>(\text{Fe}(\text{acac})_3 + \text{H}_2\text{SO}_4)</math></li> </ul>

### 3.3.2.1.2 ศึกษาผลของปริมาณโลหะเหล็ก

ศึกษาผลของปริมาณโลหะเหล็กที่ใช้ในการตัวอย่าง  $\text{Fe/SiO}_2$  เมื่อใช้ซิลิกาที่เตรียมโดยใช้ตัวเร่งปฏิกิริยาที่เป็นกรดคือ  $\text{HNO}_3$  และ  $\text{H}_2\text{SO}_4$  และใช้แหล่ง Fe ต่างกันได้แก่  $(\text{Fe}(\text{NO}_3)_3)$  และ  $(\text{Fe}(\text{acac})_3)$  ในปริมาณที่แตกต่างกันคือ 3, 5 และ 7% และนำไปเผาที่อุณหภูมิ  $600^{\circ}\text{C}$  โดยใช้อัตราการให้ความร้อน 10 องศาเซลเซียสต่อนาทีเป็นเวลา 3 ชั่วโมง โดยสภาวะที่ศึกษาสรุปได้ดังตารางที่ 2

ตารางที่ 2 สภาพะที่ใช้ในการเตรียม  $\text{Fe/SiO}_2$  โดยศึกษาผลของปริมาณของโลหะเหล็ก แหล่งโลหะเหล็กและตัวเร่งปฏิกิริยาที่ใช้ในการเตรียมซิลิกา

ปริมาณของโลหะเหล็ก (%)	แหล่งโลหะเหล็กและตัวเร่งปฏิกิริยาที่ใช้ในการเตรียมซิลิกา
3	<ul style="list-style-type: none"> <li>- <math>(\text{Fe}(\text{NO}_3)_3 + \text{HNO}_3)</math></li> <li>- <math>(\text{Fe}(\text{NO}_3)_3 + \text{H}_2\text{SO}_4)</math></li> <li>- <math>(\text{Fe(acac})_3 + \text{HNO}_3)</math></li> <li>- <math>(\text{Fe(acac})_3 + \text{H}_2\text{SO}_4)</math></li> </ul>
5	<ul style="list-style-type: none"> <li>- <math>(\text{Fe}(\text{NO}_3)_3 + \text{HNO}_3)</math></li> <li>- <math>(\text{Fe}(\text{NO}_3)_3 + \text{H}_2\text{SO}_4)</math></li> <li>- <math>(\text{Fe(acac})_3 + \text{HNO}_3)</math></li> <li>- <math>(\text{Fe(acac})_3 + \text{H}_2\text{SO}_4)</math></li> </ul>
7	<ul style="list-style-type: none"> <li>- <math>(\text{Fe}(\text{NO}_3)_3 + \text{HNO}_3)</math></li> <li>- <math>(\text{Fe}(\text{NO}_3)_3 + \text{H}_2\text{SO}_4)</math></li> <li>- <math>(\text{Fe(acac})_3 + \text{HNO}_3)</math></li> <li>- <math>(\text{Fe(acac})_3 + \text{H}_2\text{SO}_4)</math></li> </ul>

### 3.3.3 การสังเคราะห์ท่อนโนนคาร์บอนโดยใช้ตัวเร่งปฏิกิริยาเป็น $\text{Fe/SiO}_2$

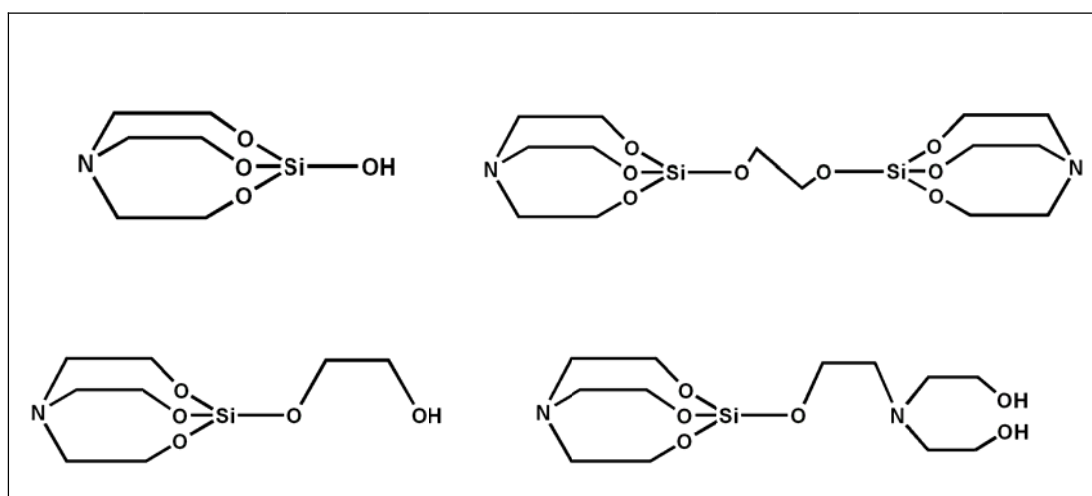
ศึกษาความสามารถในการเร่งปฏิกิริยาของ  $\text{Fe/SiO}_2$  ที่ใช้เป็นตัวเร่งปฏิกิริยาในการสังเคราะห์ท่อนโนนคาร์บอนด้วยวิธีตกสะสม ไอโเคมี โดยใช้แหล่งการรับอนเป็นเบนซีน (Benzene) ภายใต้บรรยายกาศในไตรเจน ( $\text{N}_2$ ) หรืออาร์กอน ( $\text{Ar}$ ) ที่อัตราการไหล (Flow rate) เป็น 1 ลูกบาศก์เซนติเมตรต่อนาทีและใช้อุณหภูมิในการเกิดปฏิกิริยาที่ 600, 650 และ 700 องศาเซลเซียส เป็นเวลา 1, 2 และ 4 ชั่วโมง เพื่อศึกษาสภาพะที่เหมาะสมต่อการเกิดท่อนโนนคาร์บอนที่สมบูรณ์

## บทที่ 4

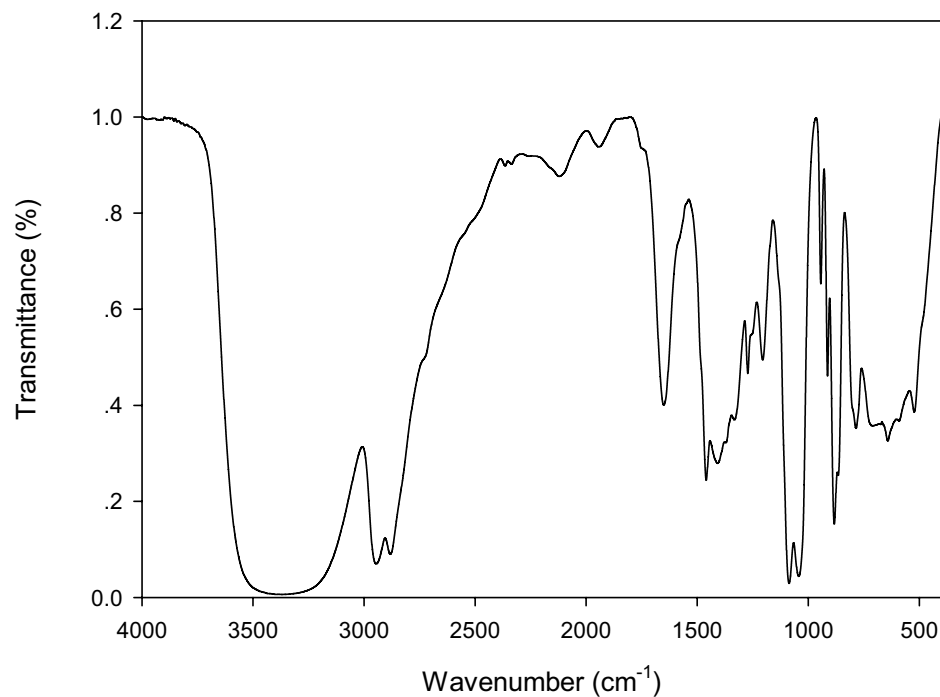
### ผลการทดลองและวิจารณ์ผลการทดลอง

#### 4.1 การพิสูจน์เอกลักษณ์โครงสร้างไซลาเทرن

ไซลาเทرنที่สังเคราะห์ได้เป็นสารประกอบออร์แกโนซิลิเกต (Organosilicate compounds) ชนิดหนึ่งที่ประกอบด้วยโครงสร้าง 4 แบบรวมกันอยู่ [6, 10] ดังภาพที่ 17 ซึ่งสอดคล้องกับผลการทดสอบที่ได้จากการพิสูจน์เอกลักษณ์ไซลาเทرنที่สังเคราะห์ด้วยเทคนิค FT-IR ดังภาพที่ 18



ภาพที่ 17 โครงสร้างของสารประกอบไซลาเทرنที่สังเคราะห์ได้



ภาพที่ 18 สเปกตรัม FT-IR ของไซคลาเทรนที่สังเคราะห์ได้

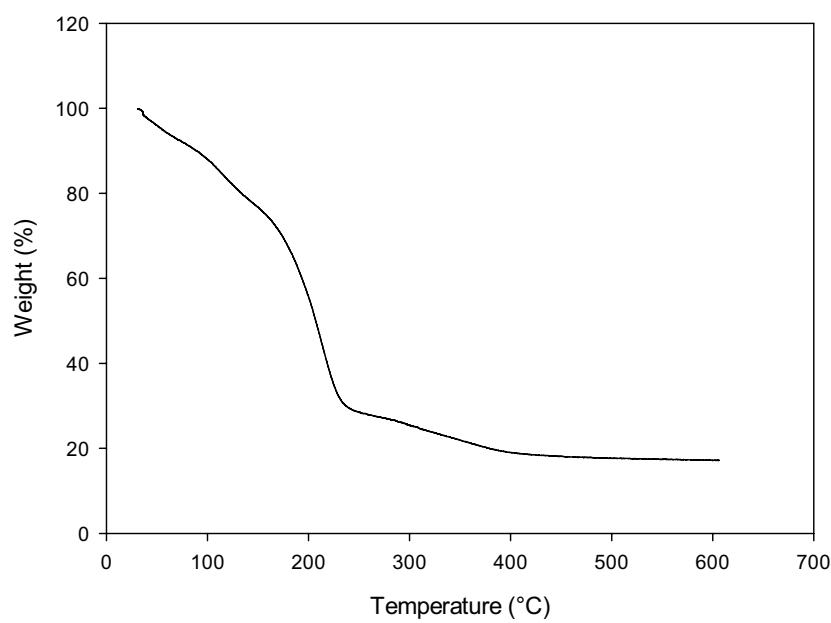
จากการทดสอบด้วยเทคนิค FT-IR พบว่าไซคลาเทรนที่สังเคราะห์ได้แสดงตัวແນ່ງ สเปกตรัมดังนี้  $3369\text{ cm}^{-1}$  ( $\nu\text{O-H}$ ),  $2860\text{-}2970\text{ cm}^{-1}$  ( $\nu\text{C-H}$ ),  $1380\text{-}1460\text{ cm}^{-1}$  ( $\delta\text{C-H}$ ),  $1244\text{-}1275\text{ cm}^{-1}$  ( $\nu\text{C-N}$ ),  $1087\text{ cm}^{-1}$  ( $\nu\text{C-O}$ ),  $1043\text{ cm}^{-1}$  ( $\nu\text{Si-O}$ ),  $785,883\text{ cm}^{-1}$  ( $\delta\text{Si-O-C}$ ) และ  $560\text{-}590\text{ cm}^{-1}$  ( $\nu\text{N} \rightarrow \text{Si}$ ) ซึ่งสอดคล้องกับงานวิจัยที่มีรายงานไว้ [8, 10, 11] ซึ่งสรุปได้ดังตารางที่ 3

ตารางที่ 3 สรุปตำแหน่งของสเปกตรัม FT-IR ของไซลาราเทรนที่สังเคราะห์ได้

Characterization	Silatrane complexes
Si-N stretching	560-590 $\text{cm}^{-1}$
Si-O-C	785,883 $\text{cm}^{-1}$
Si-O	1043 $\text{cm}^{-1}$
C-O	1087 $\text{cm}^{-1}$
C-N	1244-1275 $\text{cm}^{-1}$
C-H bending	1380-1460 $\text{cm}^{-1}$
C-H stretching	2860-2970 $\text{cm}^{-1}$
O-H	3369 $\text{cm}^{-1}$

#### 4.2 การพิสูจน์เอกสารณ์ของซิลิกา

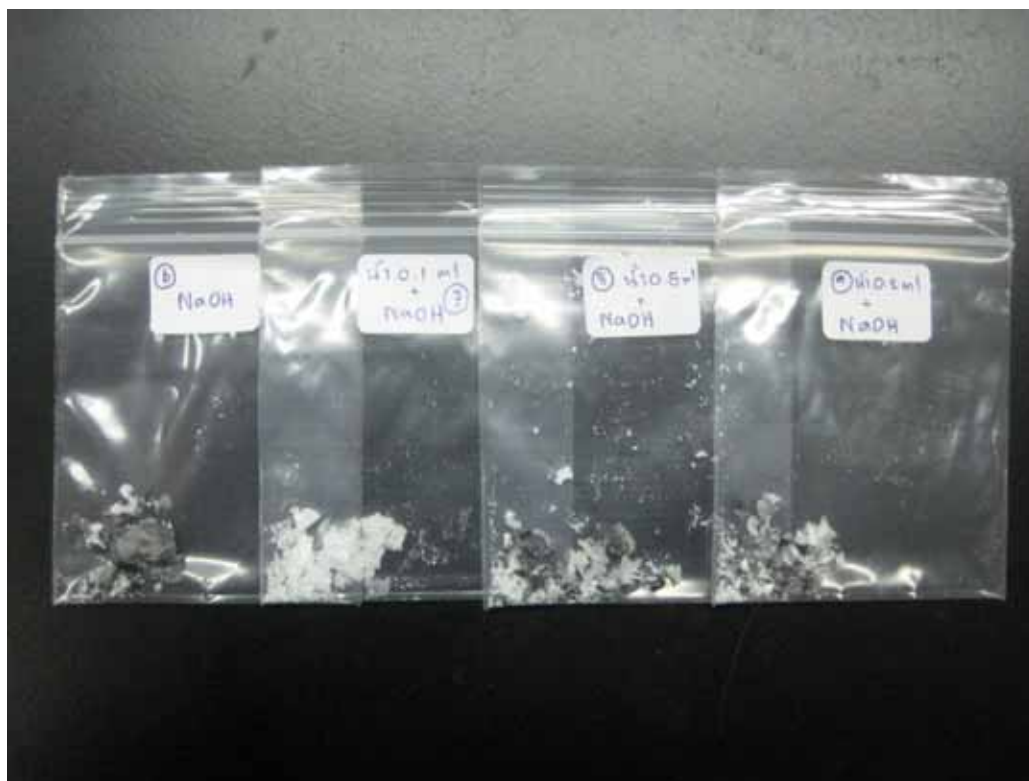
##### 4.2.1 การทดสอบหาอุณหภูมิที่เหมาะสมต่อการเผาสารตัวอย่างด้วยเทคนิค TGA



ภาพที่ 19 TGA thermogram ของสารตัวอย่างที่ใช้เตรียมซิลิกา

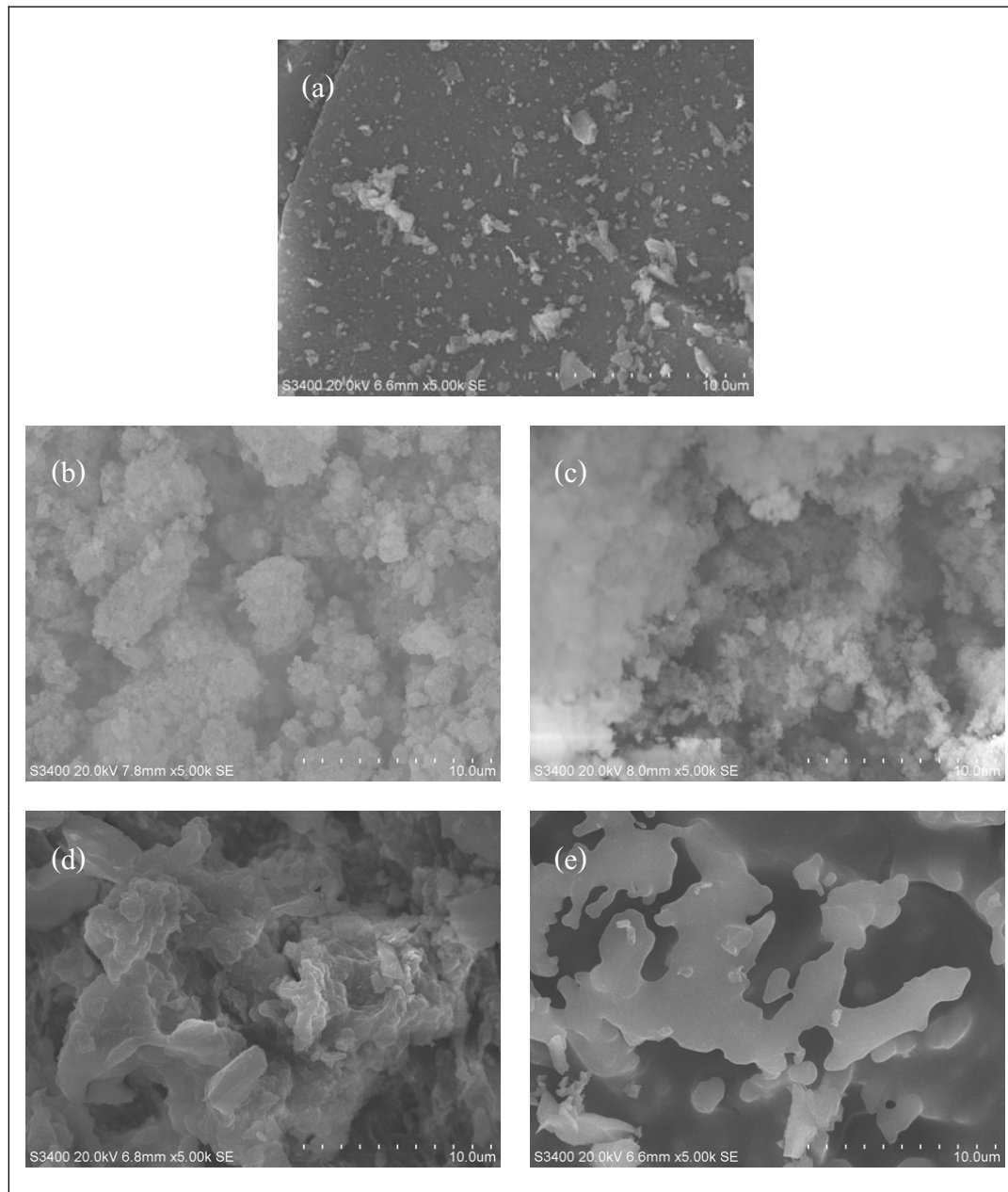
จากการทดสอบ TGA ดังภาพที่ 19 พบร้าสารอินทรีย์ต่าง ๆ จะสลายตัวจนหมดที่ อุณหภูมิ 450 องศาเซลเซียส จากนั้นจะคงเหลือแต่สารอนินทรีย์ที่สามารถทนความร้อนได้สูงซึ่ง คาดว่าเป็นชิลิกา การทดสอบหาอุณหภูมิการสลายตัวของสารอินทรีย์เพื่อนำไปใช้เพาสารตัวอย่าง ให้มีความบริสุทธิ์

จากการทดสอบเพาสารตัวอย่างที่ใช้ตัวเร่งปฏิกิริยาเป็น NaOH ที่อุณหภูมิ 500 องศาเซลเซียส และ 600 องศาเซลเซียส พบร้าสารอินทรีย์ต่าง ๆ ยังสลายตัวไม่สมบูรณ์คือยังมีถ้าสี ดำของสารรับอนเหลืออยู่ดังภาพที่ 20 เนื่องจากลักษณะของสารตัวอย่างก่อนเพาเป็นเจลแข็งและเป็น แผ่นแน่นทำให้สารอินทรีย์ที่ถูกกักขังอยู่ภายในโครงสร้างที่มีรูพรุนของชิลิกาสลายตัวออกไม่หมด ดังนั้นจึงต้องใช้อุณหภูมิสูงขึ้นเพื่อทำให้สารอินทรีย์ต่าง ๆ สลายตัวออกหมดอย่างสมบูรณ์ ดังนั้น จึงเลือกใช้อุณหภูมิ 1000 องศาเซลเซียส ในการเพาสารตัวอย่างที่สภาวะต่างๆ เพื่อใช้เปรียบเทียบ



ภาพที่ 20 ลักษณะสารตัวอย่างที่เตรียมโดยใช้ NaOH เป็นตัวเร่งปฏิกิริยา ภายหลังการเพาที่อุณหภูมิ 600 องศาเซลเซียส อัตราการให้ความร้อน 10 องศาเซลเซียสต่อนาที เป็นเวลา 3 ชั่วโมง

#### 4.2.2 การทดสอบลักษณะสัณฐานวิทยาของซิลิกาด้วยเทคนิค SEM

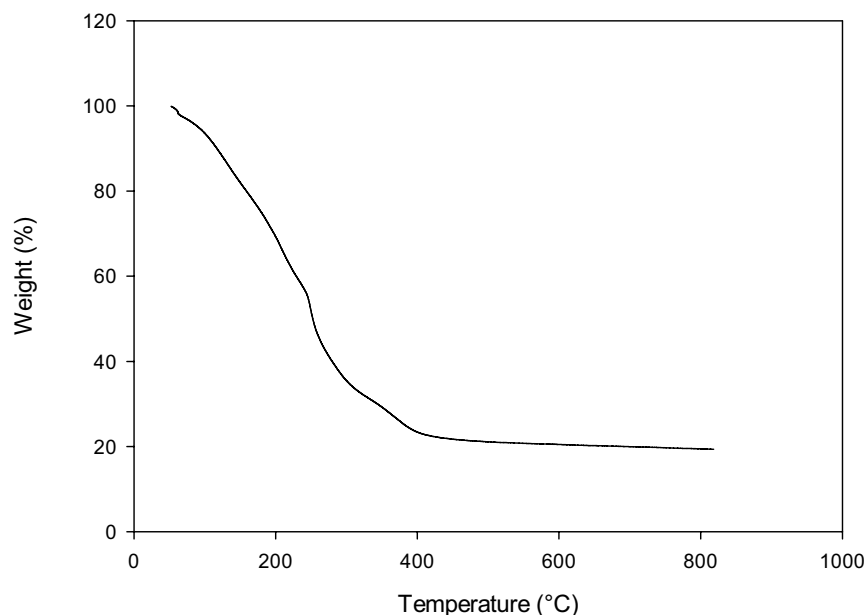


ภาพที่ 21 ภาพถ่าย SEM ของซิลิกาที่เตรียมจากตัวเร่งปฏิกิริยาที่แตกต่างกันคือ (a) ไม่ใช้ตัวเร่งปฏิกิริยา, (b)  $\text{H}_2\text{SO}_4$ , (c)  $\text{HNO}_3$ , (d)  $\text{NH}_4\text{OH}$  และ (e)  $\text{NaOH}$  หลังผ่านการเผา ณ อุณหภูมิ 1000 องศาเซลเซียส

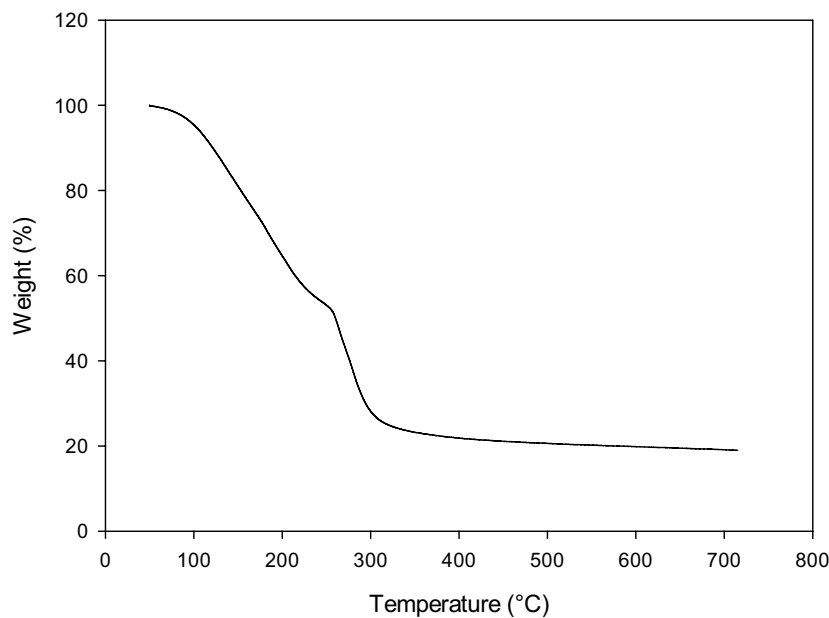
จากภาพที่ 21 จะเห็นว่าเมื่อใช้ตัวร่างปูนิกริยาในการเตรียมซิลิกาเทียบกับกรณีที่ไม่ใช้ตัวร่างปูนิกริยาพบว่าเมื่อใช้ตัวร่างปูนิกริยาที่เป็นเบส ได้แก่  $\text{NH}_4\text{OH}$  และ  $\text{NaOH}$  ลักษณะพื้นผิวคล้ายกับกรณีที่ไม่ใช้ตัวร่างปูนิกริยาคือเป็นแผ่นที่มีผิวค่อนข้างเรียบ ไม่ค่อยพรุนตัว แต่เมื่อใช้ตัวร่างปูนิกริยาที่เป็นกรด ได้แก่  $\text{H}_2\text{SO}_4$  และ  $\text{HNO}_3$  พบว่าพื้นผิวขรุขระและมีขนาดเล็ก (ลักษณะเหมือนฟองน้ำ) ทั้งนี้เนื่องจากในการเกิดปูนิกริยาโดยไอลิซิสถ้าใช้ตัวร่างปูนิกริยาที่เป็นกรดจะทำให้ได้ Silica sol ที่มีลักษณะเป็นสายโซ่ตรงหรือสายโซ่กึ่ง แต่ถ้าใช้ตัวร่างปูนิกริยาที่เป็นเบสจะทำให้ได้ออนุภาคที่มีลักษณะเป็นร่างแท่งภายในโซลทำให้ขนาดอนุภาคของซิลิกาที่ได้มีขนาดใหญ่ ส่งผลให้มีพื้นที่ผิวต่ำ

#### 4.2.3 การทดสอบหาอุณหภูมิที่เหมาะสมต่อการเผาสารตัวอย่างที่ใช้กรดเป็นตัวร่างปูนิกริยาด้วยเทคนิค TGA

ก่อนที่จะนำไปซิลิกาที่เตรียมได้ไปใช้เป็นตัวรองรับได้หาอุณหภูมิที่เหมาะสมที่ใช้เผาซิลิกาเมื่อใช้ตัวร่างปูนิกริยาเป็น  $\text{HNO}_3$  และ  $\text{H}_2\text{SO}_4$  (ไม่ต้องเปรียบเทียบกับตัวร่าง  $\text{NaOH}$ ) โดยผลการทดสอบ TGA เป็นดังภาพที่ 22 และ 23 ตามลำดับ



ภาพที่ 22 TGA thermogram ของสารตัวอย่างที่ใช้เตรียมซิลิกาโดยใช้  $\text{HNO}_3$  เป็นตัวร่างปูนิกริยา

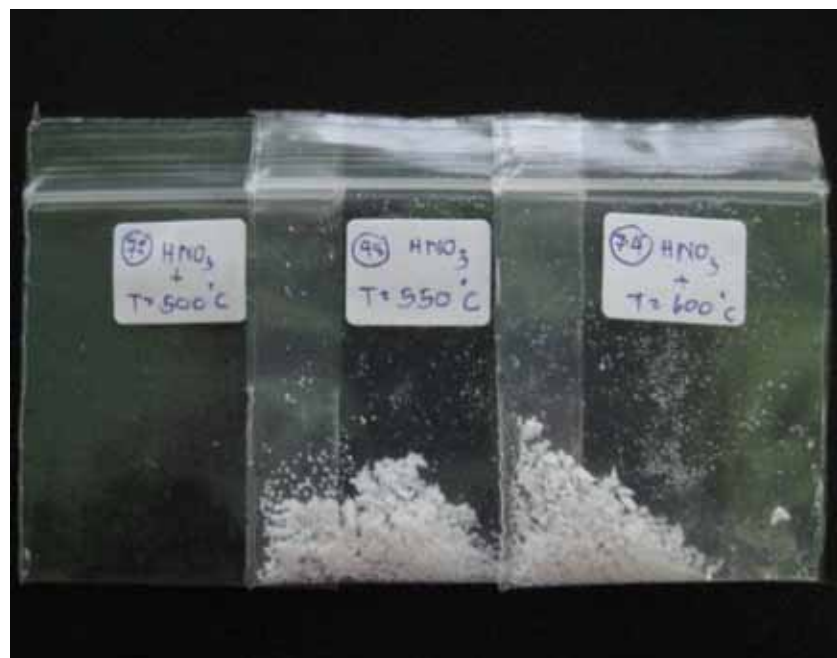


ภาพที่ 23 TGA thermogram ของสารตัวอย่างที่ใช้เตรียมชิลิกาโดยใช้  $H_2SO_4$  เป็นตัวเร่งปฏิกิริยา

จากการทดสอบ TGA พบร่วมกับการทดสอบ HNO<sub>3</sub> และ  $H_2SO_4$  สารอินทรีย์ต่างๆ สามารถถ่ายตัวหนอนคือน้ำหนักเริ่มคงที่ที่อุณหภูมิ 500 องศาเซลเซียส แต่จากการทดสอบเพาสารตัวอย่างชิลิกาเมื่อใช้ตัวเร่งปฏิกิริยาเป็น HNO<sub>3</sub> และ  $H_2SO_4$  ในเดาเพาพบว่าที่อุณหภูมิ 500 องศาเซลเซียส สารตัวอย่างทั้งสองมีสีดำและคงให้เห็นว่ายังมีสารอินทรีย์ปนอยู่ซึ่งไม่สอดคล้องกับผลที่ได้จากการทดสอบ TGA ทั้งนี้เนื่องจากโครงสร้างที่มีรูพรุนของชิลิกาทำให้สารอินทรีย์ที่อยู่ภายในรูพรุนได้รับความร้อนไม่ทั่วถึง ไม่เกิดการถ่ายตัว ส่วนที่อุณหภูมิ 550 องศาเซลเซียส สารตัวอย่างไม่มีสีดำเหลืออยู่แล้ว แต่เมื่อเทียบกับที่ 600 องศาเซลเซียส พบร่วมกับสารตัวอย่างทั้งสองที่เผาได้จะไม่ขาวสะอาดเท่ากับที่ 600 องศาเซลเซียส ดังนั้นสรุปได้ว่าอุณหภูมิที่เหมาะสมที่ใช้ในการเผาชิลิกาให้มีความบริสุทธิ์สูงเมื่อใช้ตัวเร่งปฏิกิริยาเป็น  $H_2SO_4$  และ HNO<sub>3</sub> คือ 600 องศาเซลเซียส ดังภาพที่ 24 และ 25



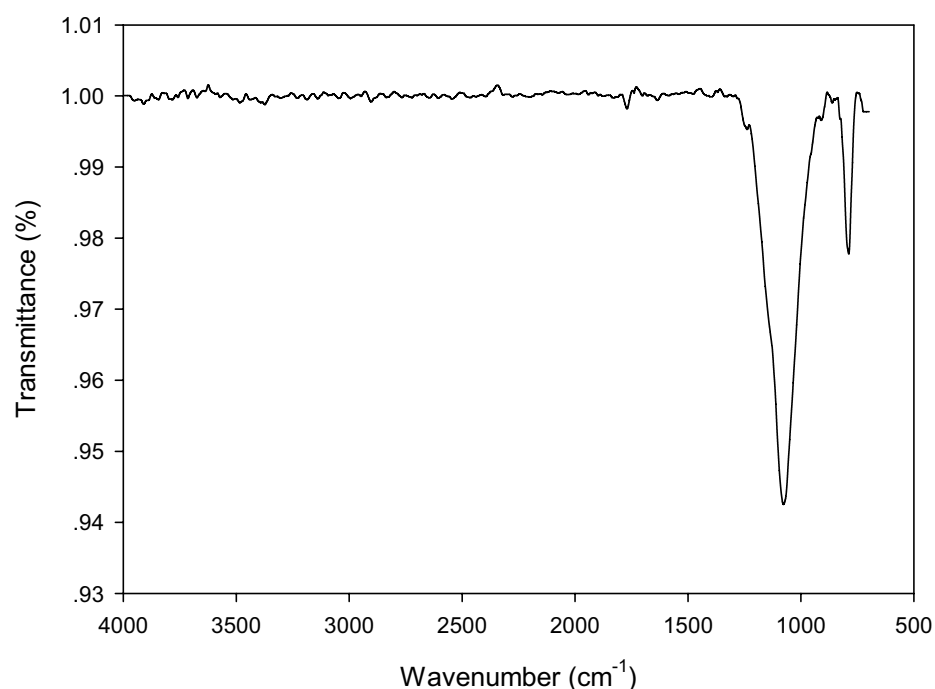
ภาพที่ 24 ลักษณะทางกายภาพของสารตัวอย่างที่เตรียมโดยใช้  $\text{H}_2\text{SO}_4$  เป็นตัวเร่งปฏิกิริยาภายหลังการเผา ณ อุณหภูมิต่าง ๆ คือ 500, 550 และ 600 องศาเซลเซียส



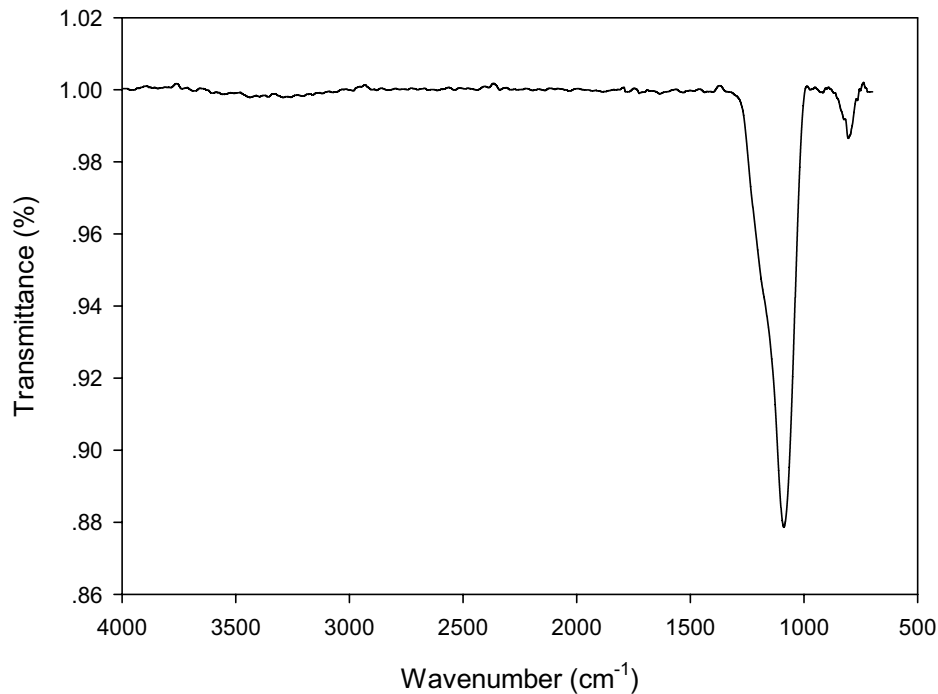
ภาพที่ 25 ลักษณะทางกายภาพของสารตัวอย่างที่เตรียมโดยใช้  $\text{HNO}_3$  เป็นตัวเร่งปฏิกิริยา ภายหลังการเผา ณ อุณหภูมิต่าง ๆ คือ 500, 550 และ 600 องศาเซลเซียส

#### 4.2.4 การพิสูจน์เอกสารลักษณ์ทางโครงสร้างซิลิกาด้วยเทคนิค FT-IR

ซิลิกาที่สังเคราะห์ได้จากการกระบวนการโซล-เจลมีความบริสุทธิ์ซึ่งเห็นได้จากผลการทดสอบด้วย FT-IR โดยเปรียบเทียบกับซิลิกาทางการค้า (Commercial silica) ดังภาพที่ 26 และภาพที่ 27 ตามลำดับ นั่นคือแสดงแบบนัด์การสั่นที่สามารถแบบยืดของ Si-O ที่ประมาณ  $1101\text{ cm}^{-1}$  และที่ความยาวคลื่นประมาณ  $798\text{ cm}^{-1}$  แสดงแบบนัด์ของการสั่นที่ไม่สามารถแบบยืดของ Si-O และการสั่นแบบงอในโครงสร้างของซิลิกาที่เป็นระเบียบ



ภาพที่ 26 สเปกตรัม FT-IR ของซิลิกาที่เตรียมโดยใช้โซลเจลเป็นสารตั้งต้น



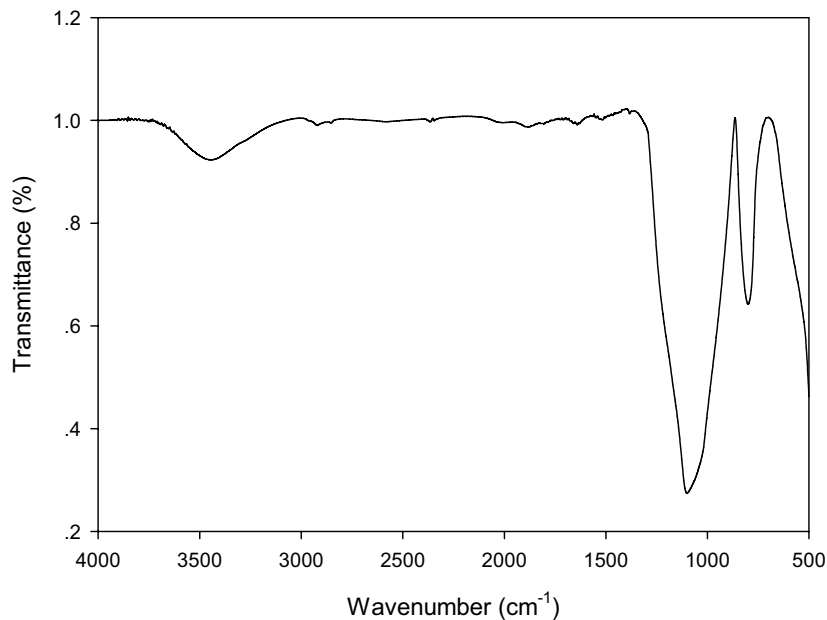
ภาพที่ 27 สเปกตรัม FT-IR ของชิลิกาบริสุทธิ์ทางการค้า

#### 4.3 การพิสูจน์เอกสารน้ำของ $\text{Fe/SiO}_2$

##### 4.3.1 $\text{Fe/SiO}_2$ ที่เตรียมโดยวิธี Impregnation

###### 4.3.1.1 การพิสูจน์เอกสารน้ำทางโครงสร้าง $\text{Fe/SiO}_2$ ด้วยเทคนิค FT-IR

สเปกตรัม FT-IR ของ  $\text{Fe/SiO}_2$  หลังจากเผาที่อุณหภูมิ 600 องศาเซลเซียส อัตราการให้ความร้อน 10 องศาเซลเซียสต่อนาที เป็นเวลา 3 ชั่วโมง จะแสดงแบบแผนค์การสั่นที่สมมาตรแบบยีดของ Si-O ที่ประมาณ  $1101 \text{ cm}^{-1}$  และที่เลขคณิตประมาณ 798 และ  $467 \text{ cm}^{-1}$  แสดงแบบแผนค์ของการสั่นที่ไม่สมมาตรแบบยีดของ Si-O และการสั่นแบบบองในโครงสร้างของชิลิกาที่เป็นระเบียบ ดังภาพที่ 28 ซึ่งสอดคล้องกับงานวิจัยของ A. Iqbal-Gill และคณะ [55]

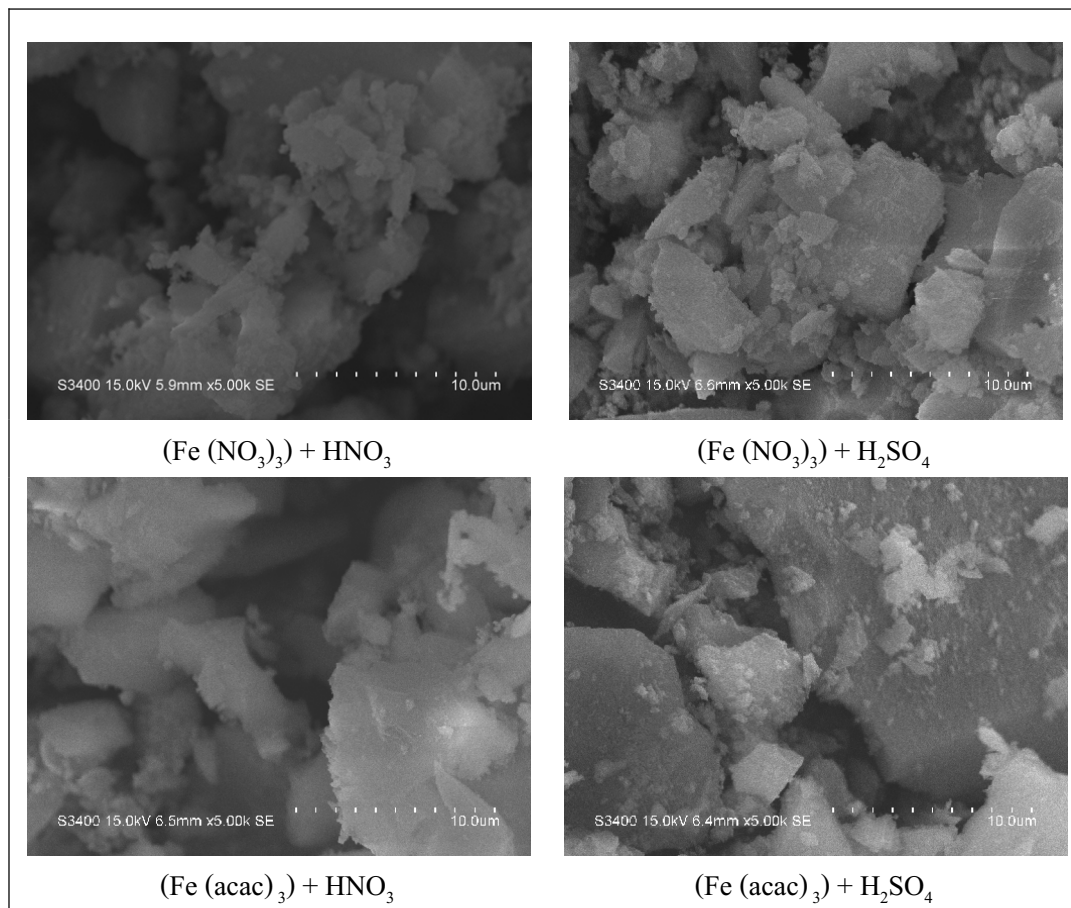


ภาพที่ 28 สเปกตรัม FT-IR ของ  $\text{Fe/SiO}_2$  ภายหลังการเผาที่อุณหภูมิ 600 องศาเซลเซียส อัตราการให้ความร้อน 10 องศาเซลเซียสต่อนาที เป็นเวลา 3 ชั่วโมง

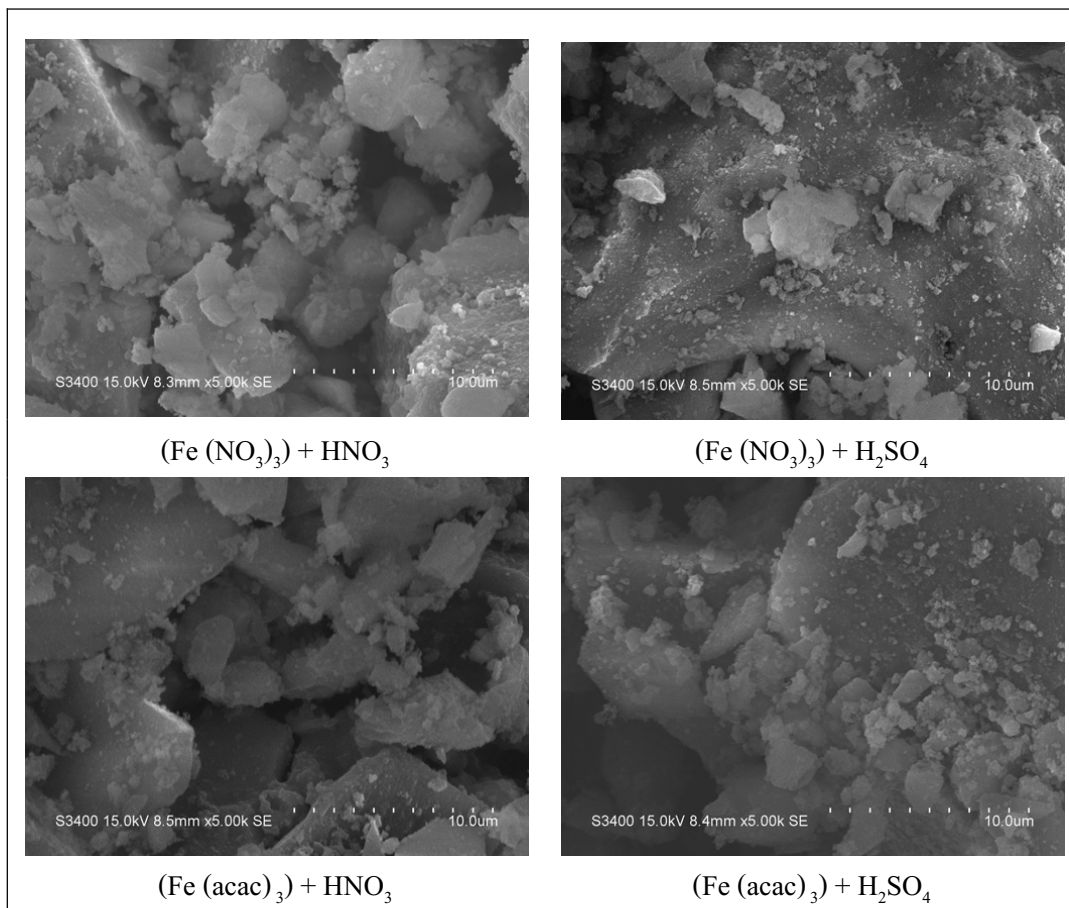
#### 4.3.1.2 การทดสอบลักษณะสัณฐานวิทยาของ $\text{Fe/SiO}_2$ ด้วยเทคนิค SEM

##### 4.3.1.2.1 ศึกษาผลของอุณหภูมิที่ใช้ในการเผา $\text{Fe/SiO}_2$

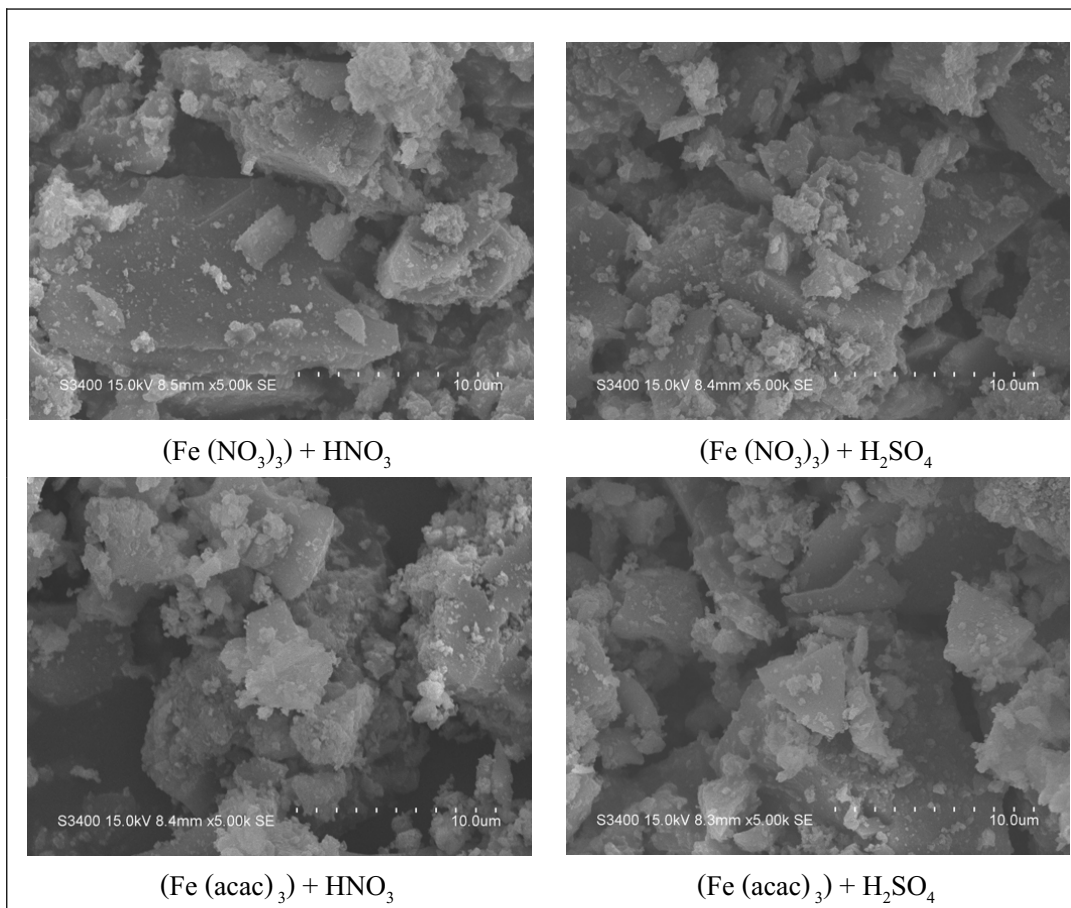
จากผลทดสอบด้วย TGA ของ  $\text{Fe}(\text{acac})_3$  พบว่าที่อุณหภูมิ 400 องศาเซลเซียสสารอินทรีย์ต่าง ๆ สามารถถลายตัวได้หมด ส่วน  $\text{Fe}(\text{NO}_3)_3$  สามารถถลายตัวได้หมดที่อุณหภูมิประมาณ 250 องศาเซลเซียสและเพื่อนำผลมาเบรยบเทียบกันจึงเลือกอุณหภูมิที่ใช้ในการเผาซึ่ลิกาที่พบด้วยโลหะเหล็ก ( $\text{Fe/SiO}_2$ ) เป็น 400, 500 และ 600 องศาเซลเซียส ซึ่งลักษณะพื้นผิวจากการทดสอบ SEM แสดงดังภาพที่ 29-31



ภาพที่ 29 ภาพถ่าย SEM ของ Fe/SiO<sub>2</sub> ภายหลังการเผาที่อุณหภูมิ 400 องศาเซลเซียส อัตราการให้ความร้อน 10 องศาเซลเซียสต่อนาที เป็นเวลา 3 ชั่วโมง



ภาพที่ 30 ภาพถ่าย SEM ของ  $\text{Fe}/\text{SiO}_2$  ภายหลังการเผาที่อุณหภูมิ 500 องศาเซลเซียส อัตราการให้ความร้อน 10 องศาเซลเซียสต่อนาที เป็นเวลา 3 ชั่วโมง



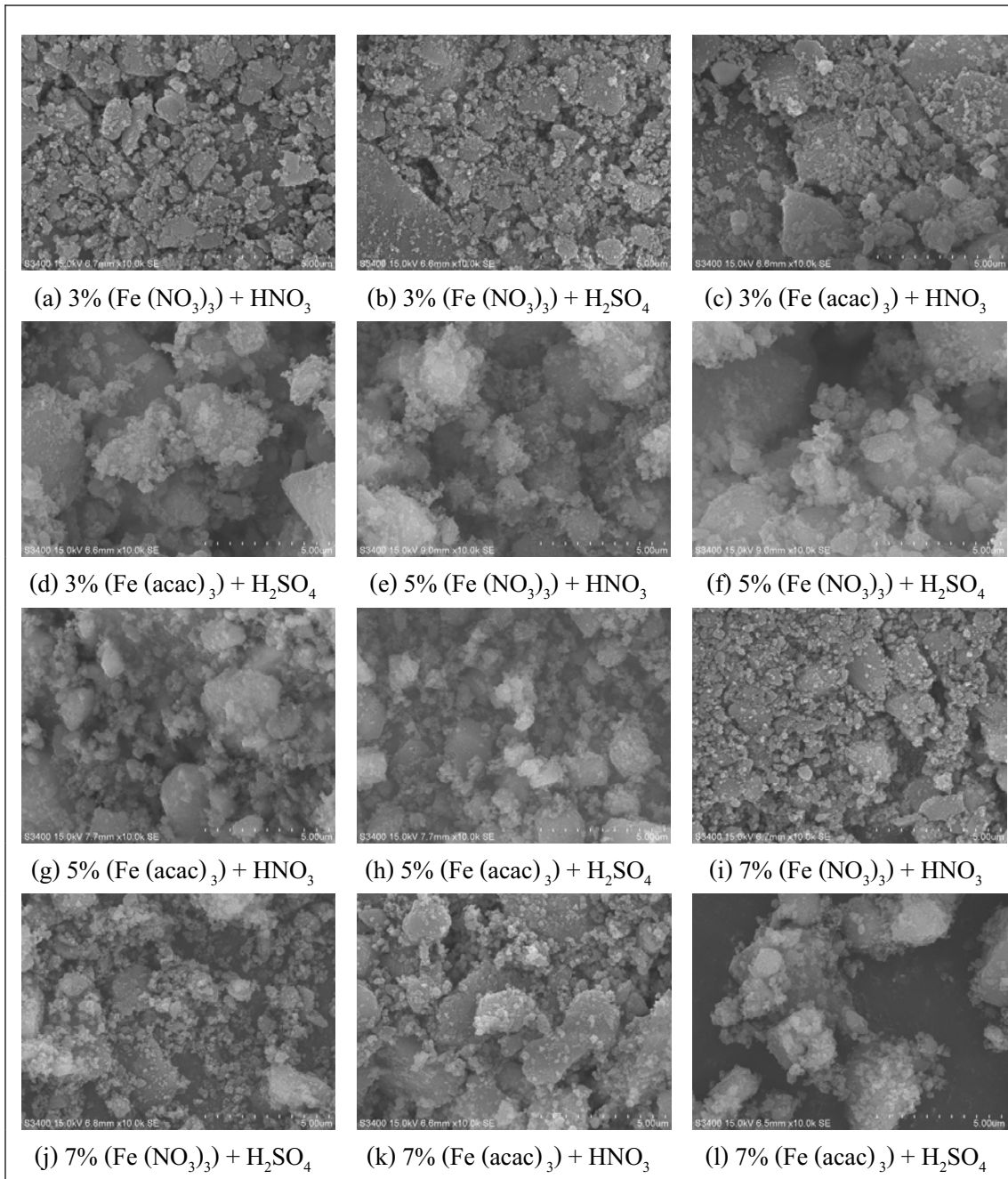
ภาพที่ 31 ภาพถ่าย SEM ของ  $\text{Fe/SiO}_2$  ภายหลังการเผาที่อุณหภูมิ 600 องศาเซลเซียส อัตราการให้ความร้อน 10 องศาเซลเซียสต่อนาที เป็นเวลา 3 ชั่วโมง

จากผลของอุณหภูมิที่ใช้ในการเผาสารตัวอย่าง  $\text{Fe/SiO}_2$  พบร่วมกัน ผลของ  $\text{Fe/SiO}_2$  โลหะเหล็กบนซิลิกา ทำให้อุณหภูมิของซิลิกามาร่วมตัวกัน ส่งผลให้อุณหภูมิ  $\text{Fe/SiO}_2$  มีขนาดใหญ่ขึ้นและขนาดอนุภาคไม่ค่อยสม่ำเสมอดังภาพที่ 29-31 พิจารณาผลของเหล็ก โลหะเหล็กพบว่าขนาดอนุภาคของ  $\text{Fe/SiO}_2$  ที่เตรียมจาก  $\text{Fe}(\text{NO}_3)_3$  มีขนาดเล็กกว่าที่เตรียมจาก  $\text{Fe}(\text{acac})_3$  ซึ่งเห็นได้ชัดดังภาพที่ 29 และเมื่อพิจารณาเฉพาะเหล็กที่ได้จาก  $\text{Fe}(\text{NO}_3)_3$  ที่นำมาจากบล็อกซิลิกาที่เตรียมจากตัวเร่งปฏิกิริยากรดต่างกันคือ  $\text{HNO}_3$  กับ  $\text{H}_2\text{SO}_4$  พบร่วมกัน ใช้ตัวเร่งปฏิกิริยาเป็น  $\text{HNO}_3$  ขนาดอนุภาคของ  $\text{Fe/SiO}_2$  ที่มีขนาดเล็กกว่าเมื่อใช้  $\text{H}_2\text{SO}_4$  เป็นตัวเร่งปฏิกิริยา ดังนั้นสารตัวอย่างที่เหมาะสมต่อการเตรียม  $\text{Fe/SiO}_2$  คือ  $\text{Fe}(\text{NO}_3)_3 + \text{HNO}_3$  ซึ่งภายหลังการเผาที่อุณหภูมิต่างกันคือ 400, 500, และ 600 องศาเซลเซียส ดังภาพที่ 29, 30 และ 31 ตามลำดับ พบร่วมกันที่อุณหภูมิต่ำคือ 400, และ 500 องศาเซลเซียส อนุภาคเล็ก ๆ จะมาเกาะกันเป็นกลุ่ม叫做 Agglomerate แต่ที่

อุณหภูมิสูงคือ 600 องศาเซลเซียส จะทำให้อุ่นภาคที่มีขนาดเล็กสามารถเข้าร่วมกับอุ่นภาคขนาดใหญ่จนมองเห็นเป็นเนื้อเดียว (Aggregate) และพื้นผิวมีความขรุขระอย่างเห็นได้ชัด แต่ก็ยังมีบางส่วนที่รวมไม่สมบูรณ์เป็นแบบ Agglomerate ดังนั้นอุณหภูมิที่เหมาะสมต่อการเผาเพื่อให้ได้  $\text{Fe/SiO}_2$  ที่มีความสามารถในการเร่งปฏิกิริยามากที่สุดคือ 600 องศาเซลเซียส

#### 4.3.1.2.2 ศึกษาผลของปริมาณโลหะเหล็กที่จานลับบนซิลิกา

ผลของการทดลองของโลหะเหล็กและแหล่งโลหะเหล็กที่จานลับบนซิลิกา ซึ่งเตรียมโดยใช้ตัวเร่งปฏิกิริยาที่เป็นกรด ( $\text{HNO}_3$  และ  $\text{H}_2\text{SO}_4$ ) ในปริมาณที่แตกต่างกันคือ 3, 5 และ 7% โดยโน้มแล้วนำไปเผาที่อุณหภูมิ 600 องศาเซลเซียส โดยใช้อัตราการให้ความร้อน 10 องศาเซลเซียสต่อนาที เป็นเวลา 3 ชั่วโมง โดยสภาวะที่ศึกษาสรุปได้ดังตารางที่ 2 และลักษณะพื้นผิวจากการทดสอบ SEM แสดงได้ดังนี้



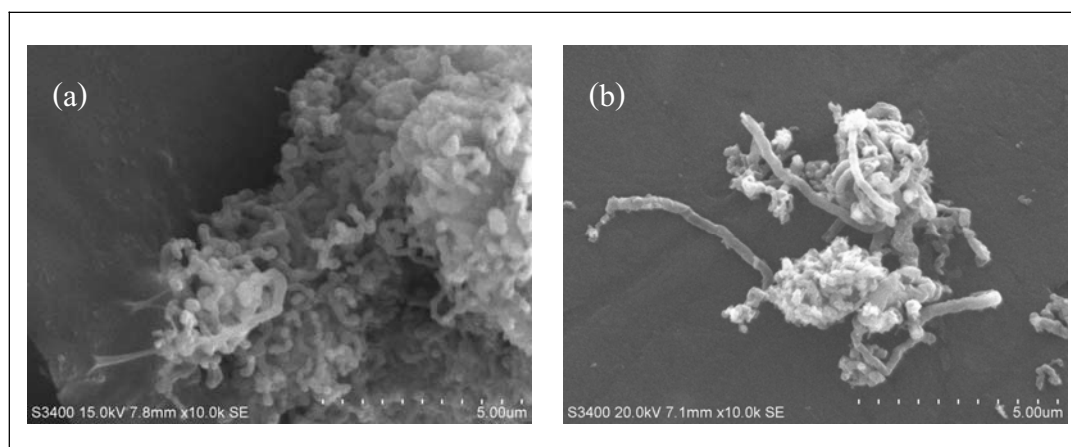
ภาพที่ 32 SEM ของ  $\text{Fe}/\text{SiO}_2$  เมื่อใช้ปริมาณ โลหะเหล็กต่างกันคือ (a) – (d) 3%, (e) – (h) 5% และ (i) - (l) 7% หลังผ่านการเผา ณ อุณหภูมิ 600 องศาเซลเซียส ที่กำลังขยาย 10000 เท่า

ผลที่ได้จากการทดสอบ SEM เมื่อศึกษาปริมาณโลหะเหล็กในปริมาณที่แตกต่างกันคือ 3, 5 และ 7% โดยโนล ดังภาพที่ 32 พบว่าปริมาณที่เหมาะสมคือ 5% ของตัวอย่าง  $\text{Fe}(\text{NO}_3)_3 + \text{HNO}_3$  คือใช้  $\text{Fe}(\text{NO}_3)_3$  เป็นแหล่งโลหะเหล็กที่廉價และใช้  $\text{HNO}_3$  เป็นตัวเร่งปฏิกิริยาในการเตรียมชิลิกา ภายหลังการเผาที่อุณหภูมิ 600 องศาเซลเซียส อัตราการให้ความร้อน 10 องศาเซลเซียสต่อนาที เป็นเวลา 3 ชั่วโมง ซึ่งสอดคล้องกับผลของอุณหภูมิ เพราะที่สภาวะนี้จะได้โครงสร้างของ  $\text{Fe/SiO}_2$  ที่มีขนาดเล็กและมีพื้นที่ผิวสูงกว่าสภาวะอื่น แต่ยังมีบางส่วนที่เกิดการรวมตัวกันเป็นก้อนอยู่บ้าง

#### 4.4 การพิสูจน์เอกสารลักษณะของท่อนานोคาร์บอน

##### 4.4.1 ผลของชนิดของแก๊สเฉีย雍ที่ใช้ในการเกิดปฏิกิริยา

จากการทดลองพบว่าทั้งสองสภาวะคือเมื่อใช้แก๊สเฉีย雍เป็นในไตรเจนและอาร์กอนจะได้ผลิตภัณฑ์ (%Yield) เท่ากันคือ 92% แต่จากการทดสอบด้วย SEM พบว่าภายใต้สภาวะในไตรเจนท่อนานोคาร์บอนที่ได้จะมีขนาดเล็กกว่าและรูปร่างของท่อ มีความสมบูรณ์มากกว่า คือที่มีความต่อเนื่องดังภาพที่ 33 ดังนั้นจึงเลือกใช้ในไตรเจนเพื่อใช้ศึกษาสภาวะที่เหมาะสมอื่น ๆ ต่อไป

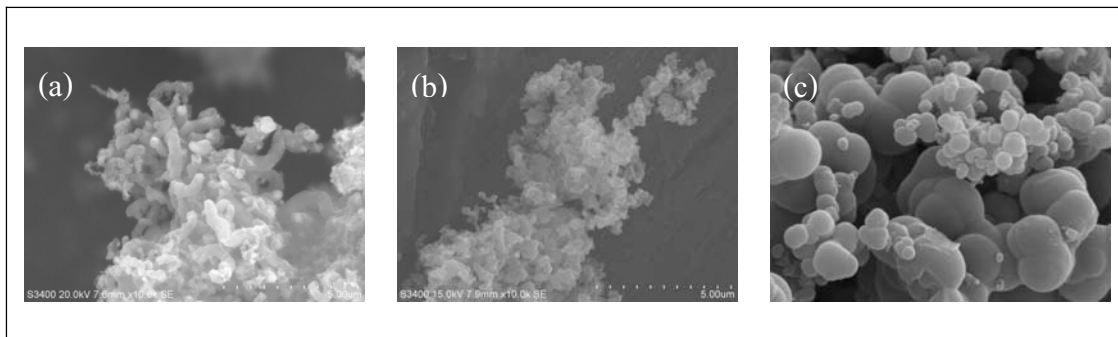


ภาพที่ 33 ภาพถ่าย SEM ของท่อนานոคาร์บอนเมื่อใช้แก๊สต่างกัน (a) ในไตรเจน และ (b) อาร์กอน

##### 4.4.2 ผลของอุณหภูมิที่ใช้ในการเกิดปฏิกิริยา

อุณหภูมิที่ใช้ในกระบวนการสังเคราะห์ท่อนานոคาร์บอนมีความสำคัญมาก ซึ่งการปรับเปลี่ยนอุณหภูมิที่ใช้ในการเกิดปฏิกิริยาจะส่งผลกระทบต่อ การเติบโต (Growth) ขนาดเส้นผ่าน

ศูนย์กลาง (Diameter) และความเป็นผลึก (Crystallinity) ของท่อนาโนคาร์บอน [13] โดยผลของ อุณหภูมิที่ใช้ในการเกิดปฏิกิริยาได้แก่ 600, 650 และ 700 องศาเซลเซียส ภายใต้บรรยากาศ ในไตรเจน เป็นเวลา 2 ชั่วโมง แสดงดังภาพที่ 34

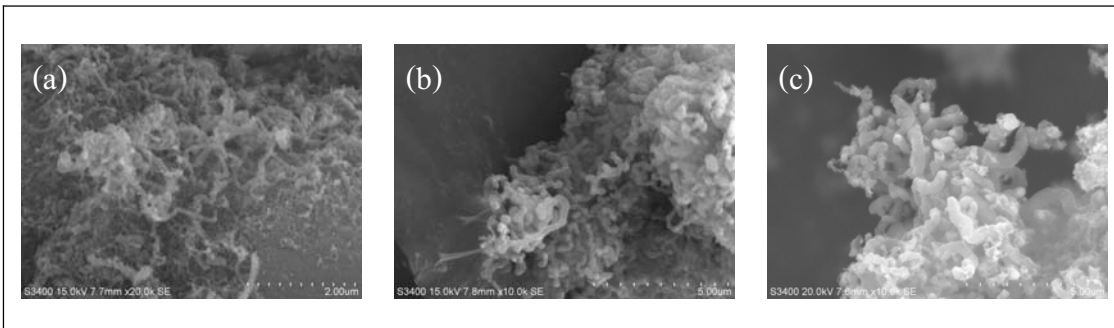


ภาพที่ 34 ภาพถ่าย SEM ของท่อนาโนคาร์บอนเมื่อใช้อุณหภูมิต่างกันคือ (a) 600, (b) 650 และ (c) 700 องศาเซลเซียส

จากการทดลองพบว่าภายใต้อุณหภูมิ 600, 650 และ 700 องศาเซลเซียส จะได้ %Yield ของท่อนาโนคาร์บอนดังนี้ 92, 90 และ 87% ตามลำดับ และจากการทดสอบด้วย SEM พบว่าที่อุณหภูมิ 600 องศาเซลเซียส ท่อนาโนคาร์บอนมีความสมบูรณ์มากที่สุด โดยพบว่าเมื่ออุณหภูมิสูงขึ้นจะเกิดการรวมตัวกันของห่อ ทำให้รูปร่างของห่อเสียไปดังภาพที่ 34 (b) และ (c) ดังนั้นอุณหภูมิที่เหมาะสมต่อการเกิดท่อนาโนคาร์บอนคือ 600 องศาเซลเซียส

#### 4.4.3 ผลของเวลาที่ใช้ในการเกิดปฏิกิริยา

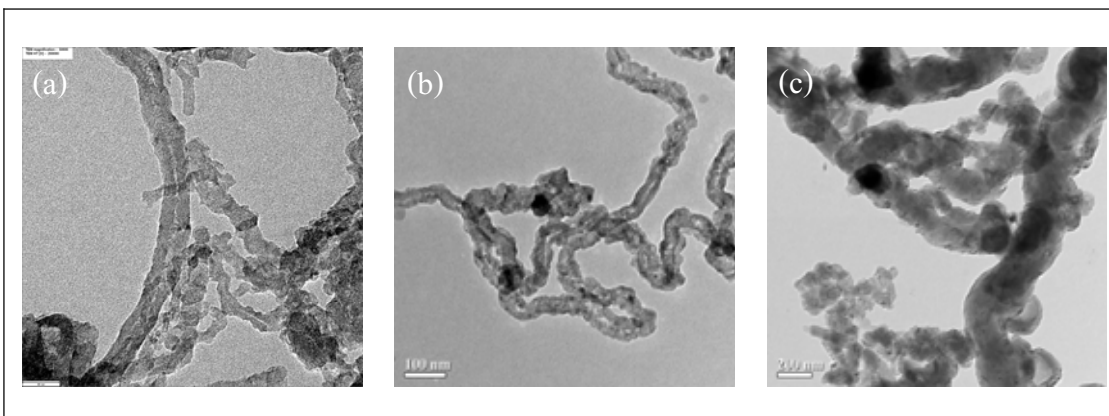
เวลาที่ใช้ในการเกิดปฏิกิริยาที่เป็นปัจจัยที่สำคัญต่อกระบวนการสังเคราะห์ท่อนาโนคาร์บอนซึ่งหากใช้เวลาน้อยเกินไปหรือมากเกินไปจะส่งผลต่อความสมบูรณ์ของห่อได้ ผลของเวลาที่ใช้ในการเกิดปฏิกิริยาที่ 1, 2 และ 4 ชั่วโมง แสดงดังภาพที่ 35 โดยปฏิกิริยาดำเนินภายใต้บรรยากาศในไตรเจน ที่อุณหภูมิ 600 องศาเซลเซียส



ภาพที่ 35 ภาพถ่าย SEM ของท่อนาโนคาร์บอนเมื่อใช้เวลาต่างกันคือ (a) 1, (b) 2 และ (c) 4 ชั่วโมง

จากการทดลองพบว่าเวลาที่ใช้ในการเกิดปฏิกิริยาคือ 1, 2 และ 4 ชั่วโมง จะได้ %Yield ของท่อนาโนคาร์บอนดังนี้ 85, 92 และ 95% ตามลำดับ และผลจาก SEM พบว่าเมื่อใช้เวลาในการเกิดปฏิกิริยา 1 ชั่วโมงท่อนาโนคาร์บอนจะมีรูปร่างไม่สมบูรณ์ คือไม่เป็นท่อกลมดังภาพที่ 35 (a) ส่วนที่เวลา 4 ชั่วโมงท่อนาโนคาร์บอนที่ได้จะมีขนาดใหญ่กว่าที่เวลา 2 ชั่วโมง แต่ความสมบูรณ์ของรูปร่างคล้ายกันดังนั้นจึงทดสอบให้ละเอียดด้วยเทคนิค TEM

ผลจากการทดสอบ TEM ดังภาพที่ 36 ยืนยันได้ว่าที่เวลาในการเกิดปฏิกิริยา 1 ชั่วโมงท่อนาโนคาร์บอนที่ได้มีรูปร่างไม่สมบูรณ์คือลักษณะไม่เป็นท่อต่อเนื่องดังภาพที่ 36 (a) ส่วนที่เวลา 2 และ 4 ชั่วโมงดังภาพที่ 36 (b) และ (c) พบว่ารูปร่างของท่อนาโนคาร์บอนที่เวลา 2 ชั่วโมง มีขนาดเส้นผ่านศูนย์กลางของท่อ (50 นาโนเมตร) เล็กกว่าที่เวลา 4 ชั่วโมง (200 นาโนเมตร) เนื่องจากเมื่อเวลาในการเกิดปฏิกิริยานานขึ้นโลหะเหล็กจะได้รับความร้อนมากเกินไปจะถูกเร็วิ่งทำให้เกิดการรวมตัวกัน (Congregate) ของโลหะเหล็กจนมีขนาดใหญ่ขึ้นจาก 50 นาโนเมตร เป็น 150 นาโนเมตร ส่งผลให้ท่อนาโนคาร์บอนมีขนาดใหญ่ขึ้นมากด้วย [13] และเมื่อพิจารณาการกระจายตัวของตัวเร่งปฏิกิริยาพบว่าที่เวลา 2 ชั่วโมง การกระจายตัวของโลหะเหล็กจะมีความสม่ำเสมอมากกว่าที่เวลา 4 ชั่วโมง ทำให้ขนาดท่อนาโนคาร์บอนมีความสม่ำเสมอมากกว่าด้วย ดังนั้นเวลาที่เหมาะสมต่อการเกิดปฏิกิริยาคือ 2 ชั่วโมง



ภาพที่ 36 ภาพถ่าย TEM ของท่อนาโนคาร์บอนเมื่อใช้เวลาต่างกันคือ (a) 1, (b) 2 และ (c) 4 ชั่วโมง

#### 4.4.4 พิสูจน์เอกสารยืนยันวิธีการสร้างของท่อนาโนคาร์บอนด้วยเทคนิค Raman spectroscopy

จากการทดสอบด้วยเทคนิค Raman สรุปตามหนังที่เกิดผลลัพธ์ของท่อนาโนคาร์บอน 2 ตำแหน่งคือ D-band (Disorder) และ G –band (Graphite crystalline) ซึ่งนิยมรายงานผลเป็นอัตราส่วนของ  $I_D/I_G$  (Intensity of D-band / Intensity of G –band) ดังตารางที่ 4 จากการทดสอบพบว่าที่เวลา 1 ชั่วโมงจะให้  $I_D/I_G$  มากที่สุดคือ 0.72 และคงอยู่ที่ประมาณ 0.67 แสดงว่าท่อนาโนคาร์บอนที่ได้มีปริมาณของ Disorder มากกว่า Graphite crystalline มาก ส่วนที่เวลา 2 และ 4 ชั่วโมง ให้ค่า  $I_D/I_G$  เท่ากันคือ 0.67 และคงอยู่ที่เวลา 4 ชั่วโมง ได้ %Yield สูงเนื่องมาจากการเกิดทั้ง Disorder และ Graphite crystalline มาก พอกัน แต่จากการทดสอบ SEM ทำให้สรุปได้ว่าที่เวลา 2 ชั่วโมงทำให้ได้ท่อนาโนคาร์บอนที่มีรูปร่างสมบูรณ์และปริมาณมาก

ตารางที่ 4 สรุปตำแหน่งที่เกิด D-band, G –band และ  $I_D/I_G$  ratios ของท่อนาโนคาร์บอนที่เวลาใน การเกิดปฏิกิริยาต่างกัน

Samples	D-band (cm <sup>-1</sup> )	G-band (cm <sup>-1</sup> )	$I_D/I_G$ ratio
Fe/SiO <sub>2</sub> /600/1/N <sub>2</sub>	1333	1591	0.72
Fe/SiO <sub>2</sub> /600/2/N <sub>2</sub>	1332	1584	0.67
Fe/SiO <sub>2</sub> /600/4/N <sub>2</sub>	1332	1583	0.67

## บทที่ 5

### สรุปผลการทดลอง

ในงานวิจัยนี้สามารถเตรียมซิลิกาโดยใช้โซเดียมไฮดรอกไซด์เป็นสารตั้งต้นผ่านกระบวนการโซเดียมไฮดรอกไซด์และไฮดรอกไซด์โซเดียมเป็นตัวเร่งปฏิกิริยาจะทำให้ได้ซิลิกาที่มีพื้นผิวสูงกว่าเมื่อใช้เบส ( $\text{NH}_4\text{OH}$  และ  $\text{NaOH}$ ) ทั้งนี้เนื่องจากในการเกิดปฏิกิริยาไฮดร็อกไซด์โซเดียมจะทำให้ได้ Silica sol ที่มีลักษณะเป็นสายโซ่ต่างๆ หรือสายโซ่กึ่ง แต่ถ้าใช้ตัวเร่งปฏิกิริยาที่เป็นกรดจะทำให้ได้ Silica gel ที่มีลักษณะเป็นร่องแแหกภายในโซเดียมไฮดรอกไซด์สามารถเกิดได้ ณ อุณหภูมิห้อง เวลาในการเกิดเจลที่เหมาะสมคือ 1 ชั่วโมง ภายหลังการเผาที่อุณหภูมิ 600 องศาเซลเซียส อัตราการให้ความร้อน 10 องศาเซลเซียสต่อนาที เป็นเวลา 3 ชั่วโมง จากนั้นนำซิลิกาที่เตรียมได้ไปใช้เป็นตัวรองรับโลหะเหล็กด้วยกระบวนการการทำให้เขินชุ่ม โดยศึกษาผลของปริมาณโลหะที่爪บลงบนซิลิกาคือ 3, 5 และ 7% โดยไม่พบว่าที่ปริมาณเหล็ก 5% โดยใช้  $(\text{Fe} (\text{NO}_3)_3)$  เป็นแหล่งโลหะเหล็กที่爪บลงบนซิลิกาและใช้  $\text{HNO}_3$  เป็นตัวเร่งปฏิกิริยาในการเตรียมซิลิกา ภายหลังการเผา ณ อุณหภูมิ 600 องศาเซลเซียส อัตราการให้ความร้อน 10 องศาเซลเซียสต่อนาที เป็นเวลา 3 ชั่วโมง ทำให้ได้อุณหภูมิของ  $\text{Fe/SiO}_2$  ที่มีขนาดเล็กและมีพื้นที่ผิวสูงกว่าสภาวะอื่น แต่ยังมีบางส่วนที่เกิดการรวมตัวกันเป็นก้อนอยู่บ้าง จากนั้นนำตัวเร่งปฏิกิริยา  $\text{Fe/SiO}_2$  ที่ได้ไปใช้ในการสังเคราะห์ท่อนาโนคาร์บอนด้วยวิธีตกสะสม ไอโอนิก เมื่อใช้แหล่งคาร์บอนเป็นเบนซิน พบว่าสภาวะที่เหมาะสมคืออุณหภูมิ 600 องศาเซลเซียส เป็นเวลา 2 ชั่วโมง ภายใต้บรรยายกาศในโตรเจนทำให้ได้ผลิตภัณฑ์สูงถึง 92%

### បរចាំនាអ្នករោម

1. Tsoncheva, T., J. Rosenholm, M. Linden, F. Kleitz, M. Tiemann, L. Ivanova, M. Dimitrov, D. Paneva, I. Mitov, and C. Minchev, "Critical evaluation of the state of iron oxide nanoparticles on different mesoporous silicas prepared by an impregnation method." Microporous and Mesoporous Materials 112(1-3), (2008): 327-337.
2. Engel-Herbert, R., H. Pforte, and T. Hesjedal, "CVD synthesis and purification of single-walled carbon nanotubes using silica-supported metal catalyst." Materials Letters 61(11-12), (2007): 2589-2593.
3. Katok, K.V., V.A. Tertykh, S.Y. Brichka, and G.P. Prikhod'ko, "Pyrolytic synthesis of carbon nanostructures on Ni, Co, Fe/MCM-41 catalysts." Materials Chemistry and Physics 96(2-3), (2006): 396-401.
4. Nagaraju, N., A. Fonseca, Z. Konya, and J.B. Nagy, "Alumina and silica supported metal catalysts for the production of carbon nanotubes." Journal of Molecular Catalysis A: Chemical 181(1-2), (2002): 57-62.
5. Salernitano, E., L. Giorgi, T. Dikonimos Makris, R. Giorgi, N. Lisi, V. Contini, and M. Falconieri, "Purification of MWCNTs grown on a nanosized unsupported Fe-based powder catalyst." Diamond and Related Materials 16(8), (2007): 1565-1570.
6. Charoenpinijkarn, W., M. Suwankruhasn, B. Kesapabutr, S. Wongkasemjit, and A.M. Jamieson, "Sol-gel processing of silatrane." European Polymer Journal 37(7), (2001): 1441-1448.
7. Thanabodeekij, N., E. Gulari, and S. Wongkasemjit, "Highly dispersed Mo-MCM-41 produced from silatrane and molybdenum glycolate precursors and its peroxidation activity." Powder Technology 173(3), (2007): 211-216.
8. Phiriyawirut, P., A.M. Jamieson, and S. Wongkasemjit, "VS-1 zeolite synthesized directly from silatrane." Microporous and Mesoporous Materials 77(2-3), (2005): 203-213.

9. Sathupunya, M., E. Gulari, A. Jamieson, and S. Wongkasemjit, "Microwave-assisted preparation of zeolite K-H from alumatrane and silatrane." Microporous and Mesoporous Materials 69(3), (2004): 157-164.
10. Sathupunya, M., E. Gulari, and S. Wongkasemjit, "Na-A (LTA) zeolite synthesis directly from alumatrane and silatrane by sol-gel microwave techniques." Journal of the European Ceramic Society 23(8), (2003): 1293-1303.
11. Tanglumlert, W., P. Prasassarakich, P. Supaphol, and S. Wongkasemjit, "Hard-coating materials for poly(methyl methacrylate) from glycidoxypropyltrimethoxysilane-modified silatrane via a sol-gel process." Surface and Coatings Technology 200(8), (2006): 2784-2790.
12. Kidena, K., Y. Kamiyama, and M. Nomura, "A possibility of the production of carbon nanotubes from heavy hydrocarbons." Fuel Processing Technology 89(4), (2008): 449-454.
13. Li, H., C. Shi, X. Du, C. He, J. Li, and N. Zhao, "The influences of synthesis temperature and Ni catalyst on the growth of carbon nanotubes by chemical vapor deposition." Materials Letters 62(10-11), (2008): 1472-1475.
14. Murakami, T., Y. Hasebe, K. Kisoda, K. Nishio, T. Isshiki, and H. Harima, "Effective catalyst on SiO<sub>2</sub> in ethanol CVD for growth of single-walled carbon nanotubes." Diamond and Related Materials 17(7-10), (2008): 1467-1470.
15. Niu, Z. and Y. Fang, "Effect of temperature for synthesizing single-walled carbon nanotubes by catalytic chemical vapor deposition over Mo-Co-MgO catalyst." Materials Research Bulletin 43(6), (2008): 1393-1400.
16. Hernadi, K., Z. Konya, A. Siska, J. Kiss, A. Oszk, J.B. Nagy, and I. Kiricsi, "On the role of catalyst, catalyst support and their interaction in synthesis of carbon nanotubes by CCVD." Materials Chemistry and Physics 77(2), (2003): 536-541.
17. จตุพร วิทยาคุณ และนุรักษ์ กฤษาณุรักษ์, การเร่งปฏิกิริยา: พื้นฐานและการประยุกต์. กรุงเทพฯ: โรงพิมพ์มหาวิทยาลัยธรรมศาสตร์, 2547.

- 18.Rodriguez, E., M. Leconte, J.-M. Basset, and K. Tanaka, "Molecular approach to the mechanisms of C---C bond formation and cleavage on metal surfaces: Hydrogenolysis, homologation, and dimerization of ethylene over Ru/SiO<sub>2</sub> catalysts." *Journal of Catalysis* 119(1), (1989): 230-237.
- 19.Phanikrishna Sharma, M.V., V. Durga Kumari, and M. Subrahmanyam, "TiO<sub>2</sub> supported over porous silica photocatalysts for pesticide degradation using solar light: Part 2. Silica prepared using acrylic acid emulsion." *Journal of Hazardous Materials* 175(1-3): 1101-1105.
- 20.Fierro, J.L.G., L.A. Gambaro, T.A. Cooper, and G. Kremenic, "Structure and activity of silica-supported vanadia catalysts for the oxidation of propylene." *Applied Catalysis* 6(3), (1983): 363-378.
- 21.Shore, S.G., E. Ding, C. Park, and M.A. Keane, "Vapor phase hydrogenation of phenol over silica supported Pd and Pd---Yb catalysts." *Catalysis Communications* 3(2), (2002): 77-84.
- 22.Ksapabutr, B., E. Gulari, and S. Wongkasemjit, "One-pot synthesis and characterization of novel sodium tris(glycozirconate) and cerium glycolate precursors and their pyrolysis." *Materials Chemistry and Physics* 83(1), (2004): 34-42.
- 23.Laobuthee, A., S. Wongkasemjit, E. Traversa, and R.M. Laine, "MgAl<sub>2</sub>O<sub>4</sub> spinel powders from oxide one pot synthesis (OOPS) process for ceramic humidity sensors." *Journal of the European Ceramic Society* 20(2), (2000): 91-97.
- 24.Thanabodeekij, N., M. Sathupunya, A.M. Jamieson, and S. Wongkasemjit, "Correlation of sol-gel processing parameters with microstructure and properties of a ceramic product." *Materials Characterization* 50(4-5), (2003): 325-337.
- 25.Opornsawad, Y., B. Ksapabutr, S. Wongkasemjit, and R.M. Laine, "Formation and structure of tris(alumatranyloxy-i-propyl)amine directly from Al(OH)3 and triisopropanolamine." *European Polymer Journal* 37(9), (2001): 1877-1885.
- 26.นภาลัย คงวานิช, วิทูนี กล้าหาญ และ สาริศ ณอนมชาติ. "การเตรียมซิลิกา nano ไฟเบอร์ผ่านเทคนิคโซล-เจล โดยใช้กระบวนการ การบีบ เส้นไฟเบอร์." วิทยานิพนธ์ปริญญา วิศวกรรมศาสตร์ บัณฑิต สาขาวิชาปิโตรเคมีและวัสดุพอลิเมอร์ คณะ วิศวกรรมศาสตร์และเทคโนโลยีอุตสาหกรรม มหาวิทยาลัยศิลปากร, 2549.

- 27.Siouffi, A.M., "Silica gel-based monoliths prepared by the sol-gel method: facts and figures." Journal of Chromatography A 1000(1-2), (2003): 801-818.
- 28.Jitianu, A., A. Britchi, C. Deleanu, V. Badescu, and M. Zaharescu, "Comparative study of the sol-gel processes starting with different substituted Si-alkoxides." Journal of Non-Crystalline Solids 319(3), (2003): 263-279.
- 29.Kasgöz, A., T. Misono, and Y. Abe, "Sol-gel preparation of borosilicates." Journal of Non-Crystalline Solids 243(2-3), (1999): 168-174.
- 30.Urlaub, R., U. Posset, and R. Thull, "FT-IR spectroscopic investigations on sol-gel-derived coatings from acid-modified titanium alkoxides." Journal of Non-Crystalline Solids 265(3), (2000): 276-284.
- 31.Chandradass, J. and M. Balasubramanian, "Sol-gel processing of alumina fibres." Journal of Materials Processing Technology 173(3), (2006): 275-280.
- 32.Ro, J.C. and I.J. Chung, "Sol-gel kinetics of tetraethylorthosilicate (TEOS) in acid catalyst." Journal of Non-Crystalline Solids 110(1), (1989): 26-32.
- 33.Langlade, C., B. Vannes, T. Sarnet, and M. Autric, "Characterization of titanium oxide films with Magneli structure elaborated by a sol-gel route." Applied Surface Science 186(1-4), (2002): 145-149.
- 34.Khalil, K.M.S., "Formation of mesoporous alumina via hydrolysis of modified aluminum isopropoxide in presence of CTAB cationic surfactant." Applied Surface Science 255(5, Part 2), (2008): 2874-2878.
- 35.Aurobind, S.V., K.P. Amirthalingam, and H. Gomathi, "Sol-gel based surface modification of electrodes for electro analysis." Advances in Colloid and Interface Science 121(1-3), (2006): 1-7.
- 36.Fujii, T., T. Mabuchi, and I. Mitsui, "Fluorescence spectra of naphthols during sol to gel transition of tetraethoxy silane by HCl catalyst." Chemical Physics Letters 168(1), (1990): 5-8.
- 37.Cheney, M.A., P.K. Bhowmik, S. Moriuchi, N.R. Birkner, V.F. Hodge, and S.E. Elkouz, "Synthesis and characterization of two phases of manganese oxide from decomposition of permanganate in concentrated sulfuric acid at ambient

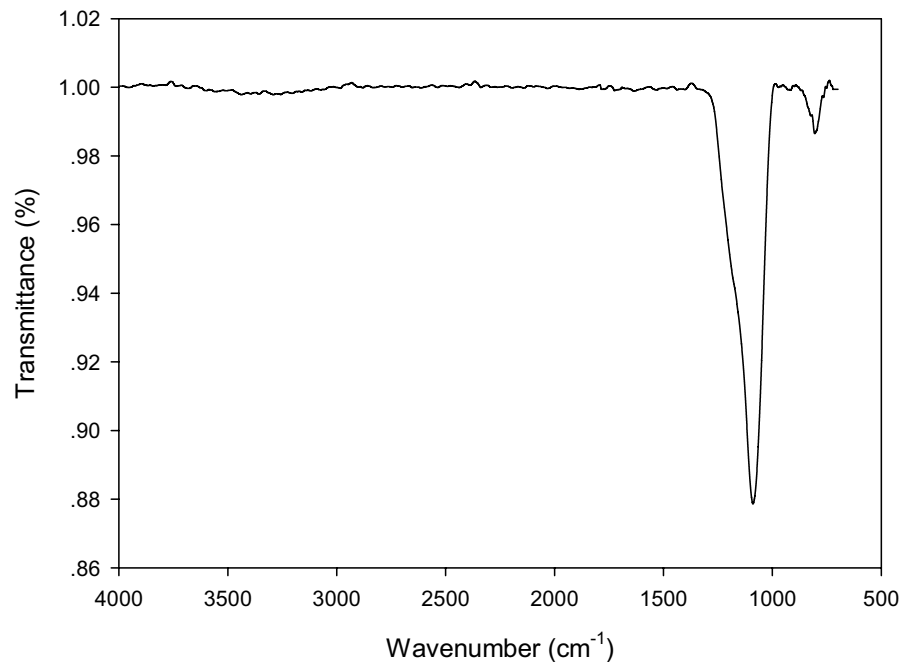
- temperature." Colloids and Surfaces A: Physicochemical and Engineering Aspects 307(1-3), (2007): 62-70.
- 38.Muralidharan, P., M. Venkateswarlu, and N. Satyanarayana, "AC conductivity studies of lithium borosilicate glasses: synthesized by sol-gel process with various concentrations of nitric acid as a catalyst." Materials Chemistry and Physics 88(1), (2004): 138-144.
- 39.He, Z.W., X.Q. Liu, J. Gou, and Y.Y. Wang, "Structural characteristic and thermal stability of nanoporous SiO<sub>2</sub> low-k thin films prepared by sol-gel method with catalyst HF." Materials Science and Engineering: B 128(1-3), (2006): 168-173.
- 40.Deepa, M., R. Sharma, A. Basu, and S.A. Agnihotry, "Effect of oxalic acid dihydrate on optical and electrochemical properties of sol-gel derived amorphous electrochromic WO<sub>3</sub> films." Electrochimica Acta 50(16-17), (2005): 3545-3555.
- 41.de Azevedo, W.M. and D.J. Brondani, "Formic acid an efficient solvent to prepare polyaniline/silicate glass composite using sol-gel technique." Journal of Non-Crystalline Solids 296(3), (2001): 224-229.
- 42.Rezgui, S. and B.C. Gates, "Control of magnesia-alumina properties by acetic acid in sol-gel synthesis." Journal of Non-Crystalline Solids 210(2-3), (1997): 287-297.
- 43.กรมอุตสาหกรรมพื้นฐานและการเหมืองแร่. กระบวนการโซลเจล (Sol-Gel technology). [ออนไลน์]. เข้าถึงเมื่อ 11 เมษายน 2551. เข้าถึงได้จาก <http://www.dpim.go.th/dt/paper/000001106028718.pdf>.
- 44.วีนิตย์ บุญเทียร. "ผลของตัวองรับต่อสมรรถนะของเซลล์เชือเพลิงแบบพื้นอิฐ." วิทยานิพนธ์ปริญญามหาบัณฑิต สาขาวิชาเคมีเทคนิค บัณฑิตวิทยาลัย จุฬาลงกรณ์มหาวิทยาลัย, 2547.
- 45.David P. Chynoweth. Catalyst [online]. Accessed 18 May 2007. Available from [http://www.agen.ufl.edu/~chyn/age2060/lect/lect\\_03/lect\\_03.htm](http://www.agen.ufl.edu/~chyn/age2060/lect/lect_03/lect_03.htm).
- 46.บุศรินทร์ เมยะปะบุตร. "เอกสารประกอบการสอนวิชา 611473 Chemistry of catalytic processes", ภาควิชาวิทยาการและวิศวกรรมวัสดุ คณะวิศวกรรมศาสตร์และเทคโนโลยีอุตสาหกรรม มหาวิทยาลัยศิลปากร.

- 47.Y.Hang and J.Santiago-Aviles, "Large negative magnetoresistance and two-dimensional weak localization in carbon nanofiber fabricated using electrospinning." Applied Physics 94 (2003): 1721-1727.
- 48.Murakami, T., Y. Hasebe, K. Kisoda, K. Nishio, T. Isshiki, and H. Harima, "Effective catalyst on SiO<sub>2</sub> in ethanol CVD for growth of single-walled carbon nanotubes." Diamond and Related Materials 17(7-10): 1467-1470.
- 49.Inoue, M., K. Asai, Y. Nagayasu, K. Takane, S. Iwamoto, E. Yagasaki, and K.-i. Ishii, "Formation of multi-walled carbon nanotubes by Ni-catalyzed decomposition of methane at 600-750 °C." Diamond and Related Materials 17(7-10), (2008): 1471-1475.
- 50.IPE Nanotube Primer. Nanotube production [online]. Accessed 18 May 2007. Available from <http://ipn2.epfl.ch/CHBU/NTproduction1.htm>.
- 51.Lin, X., M.H. Rummeli, T. Gemming, T. Pichler, D. Valentin, G. Ruani, and C. Taliani, "Single-wall carbon nanotubes prepared with different kinds of Ni-Co catalysts: Raman and optical spectrum analysis." Carbon 45(1), (2007): 196-202.
- 52.Piao, L., J. Chen, and Y. Li, "Carbon nanotubes via methane decomposition on an alumina supported cobalt aerogel catalyst." China Particuology 1(6), (2003): 266-270.
- 53.Khedr, M.H., K.S. Abdel Halim, and N.K. Soliman, "Effect of temperature on the kinetics of acetylene decomposition over reduced iron oxide catalyst for the production of carbon nanotubes." Applied Surface Science 255(5, Part 1), (2008): 2375-2381.
- 54.Escobar, M., M.S. Moreno, R.J. Candal, M.C. Marchi, A. Caso, P.I. Polosecki, G.H. Rubiolo, and S. Goyanes, "Synthesis of carbon nanotubes by CVD: Effect of acetylene pressure on nanotubes characteristics." Applied Surface Science 254(1), (2007): 251-256.
- 55.Loaiza-Gil, A., P. Rodríguez, W. Velasquez, D.Gómez, B. Fontal, M. Reyes, and T. Suárez, "Characterization of ultra fine silica supported iron catalysts prepared by the ammonia method." Revista Latinoamericana de Metalurgia y Materiales 22(1), (2002): 47-51.

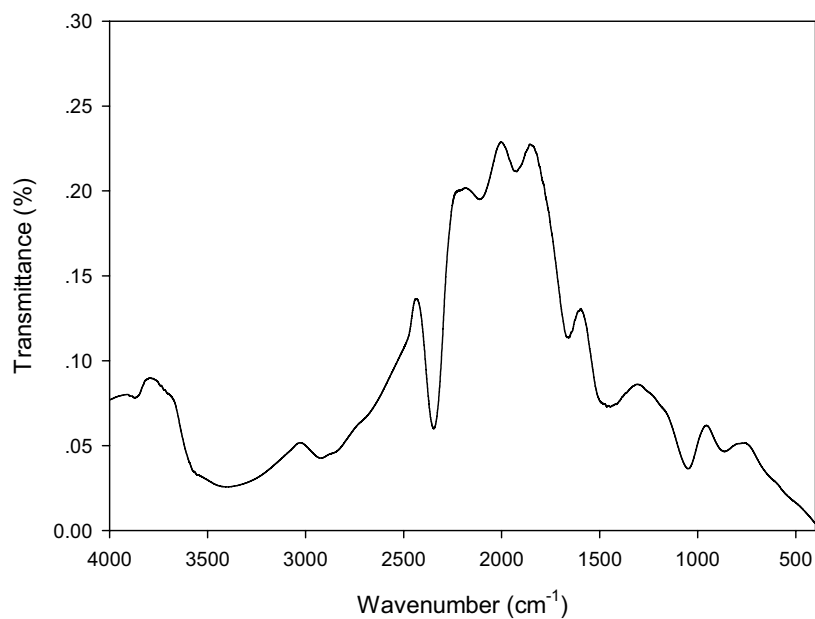
ភាគុណ្យក

ภาคผนวก ก

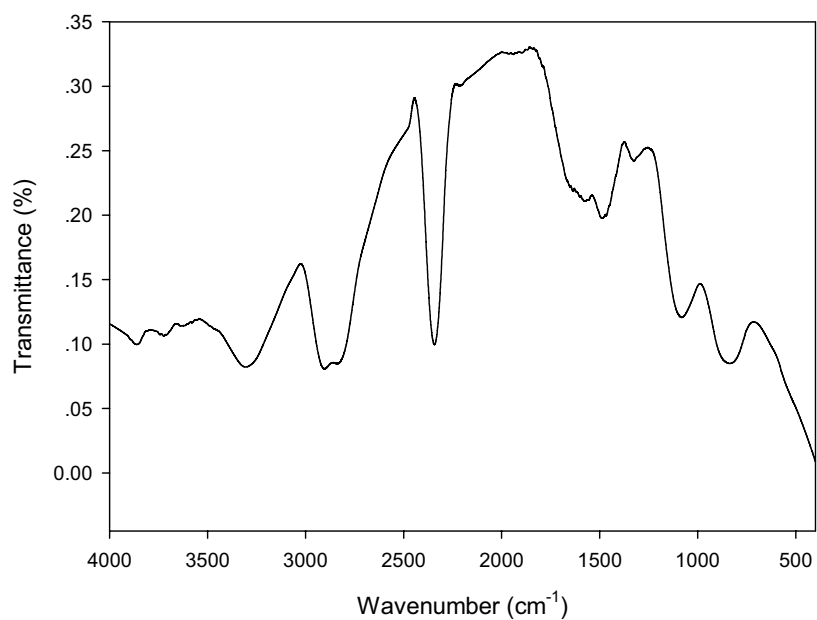
ก.1 สเปกตรัม FT-IR ของสารที่ใช้เตรียมไชลันเกรน



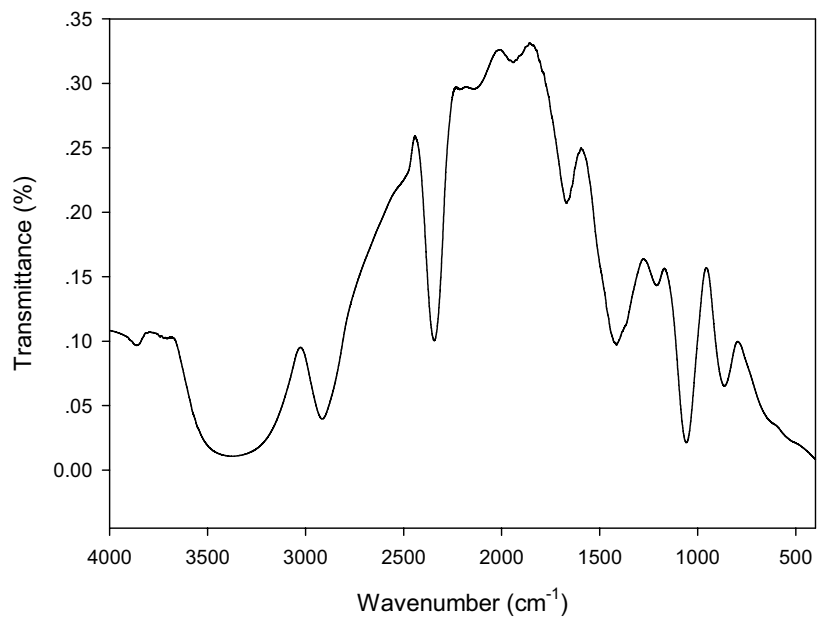
ภาพที่ 37 สเปกตรัม FT-IR ของชิลิกابرิสุทธิ์ทางการค้า



ภาพที่ 38 สเปกตรัม FT-IR ของไตรเอทานอลเอมีน



ภาพที่ 39 สเปกตรัม FT-IR ของไตรเอทิลีนเททระเอฟีน

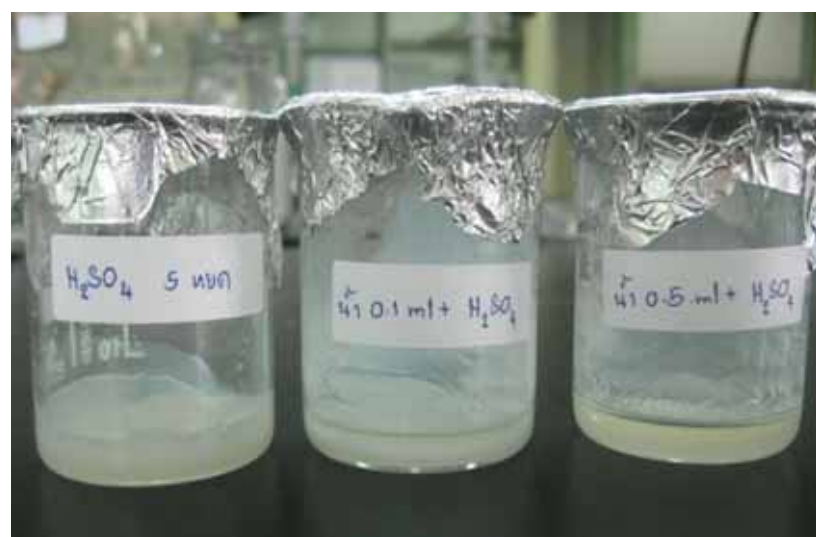


ภาพที่ 40 สเปกตรัม FT-IR ของเอทิลีนไกลดอล

### ก.2 คีกษาผลของปริมาณน้ำที่ใช้ในการเตรียมชิลิกาโดยใช้ตัวเร่งปฏิกิริยา

ตารางที่ 5 ผลของปริมาณน้ำที่ใช้ในการเตรียมชิลิกาเมื่อใช้  $H_2SO_4$  ตัวเร่งปฏิกิริยา

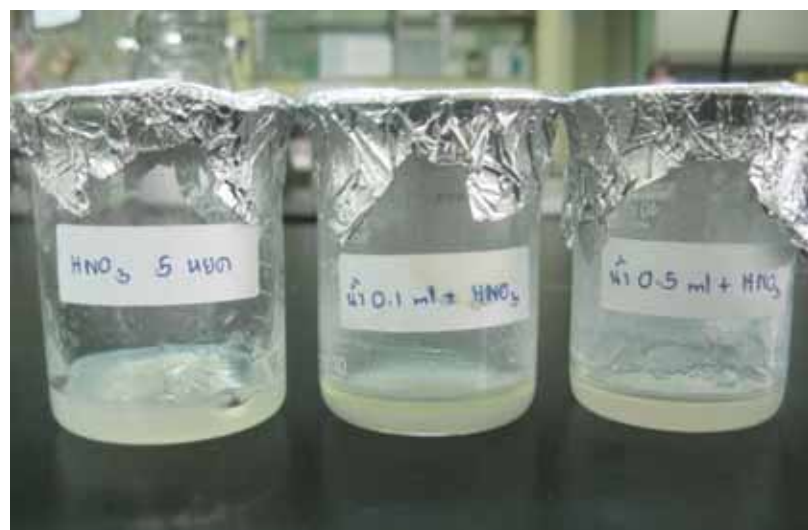
ปริมาณน้ำ (ml)	ลักษณะที่สังเกตได้
0	<ul style="list-style-type: none"> <li>- สารละลายไม่เปลี่ยนแปลงขณะเติมกรด</li> <li>- ภาชนะไป 19 ชั่วโมง ก็ไม่ค่อยเปลี่ยนแปลง (ญี่ปุ่นเล็กน้อย)</li> <li>- ปล่อยไว้เฉย ๆ ประมาณ 4 คืนสารละลายขาวขุ่นเริ่มเกิดเจลได้แต่ยังไม่สมบูรณ์ (ลักษณะเหมือน Slurry)</li> </ul>
0.1	<ul style="list-style-type: none"> <li>- ขณะเติม <math>H_2SO_4</math> สารละลายขุ่นขึ้นทันที</li> <li>- ภาชนะไป 30 นาทีสารละลายมีความหนืดเพิ่มขึ้น</li> <li>- ภาชนะ 1 ชั่วโมง สารละลายมีความหนืดไม่มาก (ให้ได้)</li> <li>- ปิดฝาทึบไว้ไม่เกิดการเปลี่ยนแปลง</li> </ul>
0.5	<ul style="list-style-type: none"> <li>- ขณะเติม <math>H_2SO_4</math> ความหนืดของสารละลายเพิ่มขึ้นทันที</li> <li>- ภาชนะไป 30 นาที ความหนืดของสารละลายไม่เปลี่ยนแปลงมากนัก</li> <li>- ภาชนะ 1 ชั่วโมง สารละลายหนืดพอ ๆ กับน้ำ 0.1 มิลลิลิตร</li> <li>- ปิดฝาทึบไว้ไม่เกิดการเปลี่ยนแปลง</li> </ul>



ภาพที่ 41 การเตรียมชิลิกาด้วยกระบวนการโซล-เจล โดยใช้  $H_2SO_4$  เป็นตัวเร่งปฏิกิริยา เมื่อใช้ปริมาณน้ำ 0.1 และ 0.5 มิลลิลิตร

ตารางที่ 6 ผลของปริมาณน้ำที่ใช้ในการเตรียมซิลิกาเมื่อใช้  $\text{HNO}_3$  ตัวร่างปัจจิตริยา

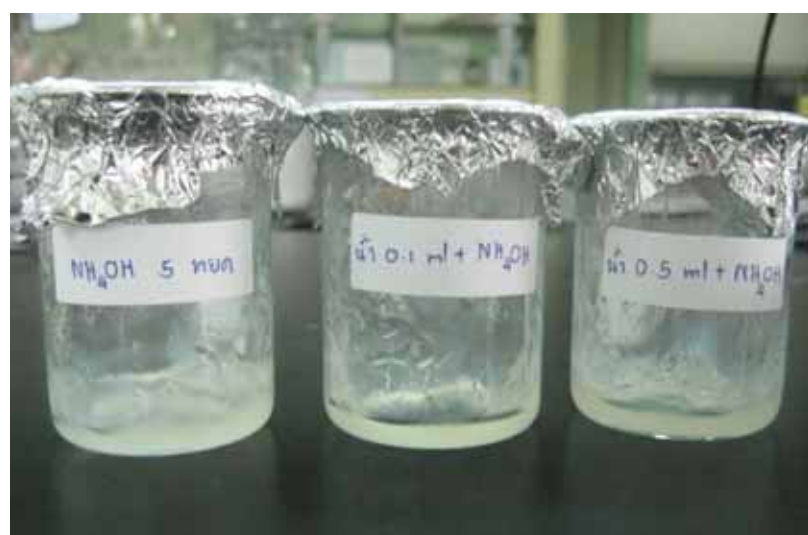
ปริมาณน้ำ (ml)	ลักษณะที่สังเกตได้
0	<ul style="list-style-type: none"> <li>- ขณะเติม <math>\text{HNO}_3</math> สารละลายร้อนขึ้นทันที</li> <li>- กระบวนการ 1 ชั่วโมง สารละลายไม่เกิดการเปลี่ยนแปลง</li> <li>- ปล่อยไว้เฉย ๆ ประมาณ 1 คืนสารละลายขาวขุ่นเริ่มเกิดเจลได้แต่ยังไม่สมบูรณ์แต่เป็นเจลมากกว่าเมื่อใช้ <math>\text{H}_2\text{SO}_4</math></li> </ul>
0.1	<ul style="list-style-type: none"> <li>- ขณะเติม <math>\text{HNO}_3</math> สารละลายอุ่นขึ้นทันที แต่ความหนืดไม่เปลี่ยนแปลง</li> <li>- กระบวนการ 7 นาที สารละลายขุ่นขึ้น</li> <li>- กระบวนการ ไป 30 นาทีของสารละลายมีความหนืดเพิ่มขึ้น</li> <li>- กระบวนการ 1 ชั่วโมง สารละลายมีความหนืดคงน้อยกว่าน้ำ</li> <li>0.1 มิลลิตร (<math>\text{H}_2\text{SO}_4</math>)</li> <li>- ปิดฝาทึบไว้ไม่เกิดการเปลี่ยนแปลง</li> </ul>
0.5	<ul style="list-style-type: none"> <li>- ขณะเติม <math>\text{HNO}_3</math> สารละลายร้อนขึ้นและความหนืดเพิ่มขึ้นทันที</li> <li>- กระบวนการ ไป 30 นาที ความหนืดของสารละลายไม่เปลี่ยนแปลงมากนัก</li> <li>- กระบวนการ 1 ชั่วโมง สารละลายหนืดพอ ๆ กับน้ำ 0.5 มิลลิตร (<math>\text{H}_2\text{SO}_4</math>)</li> <li>- ปิดฝาทึบไว้ไม่เกิดการเปลี่ยนแปลง</li> </ul>



ภาพที่ 42 การเตรียมซิลิกาด้วยกระบวนการโซล-เจล โดยใช้  $\text{HNO}_3$  เป็นตัวร่างปัจจิตริยา เมื่อใช้ปริมาณน้ำ 0.1 และ 0.5 มิลลิตร

ตารางที่ 7 ผลของปริมาณน้ำที่ใช้ในการเตรียมซิลิกาเมื่อใช้  $\text{NH}_4\text{OH}$  ตัวเร่งปฏิกิริยา

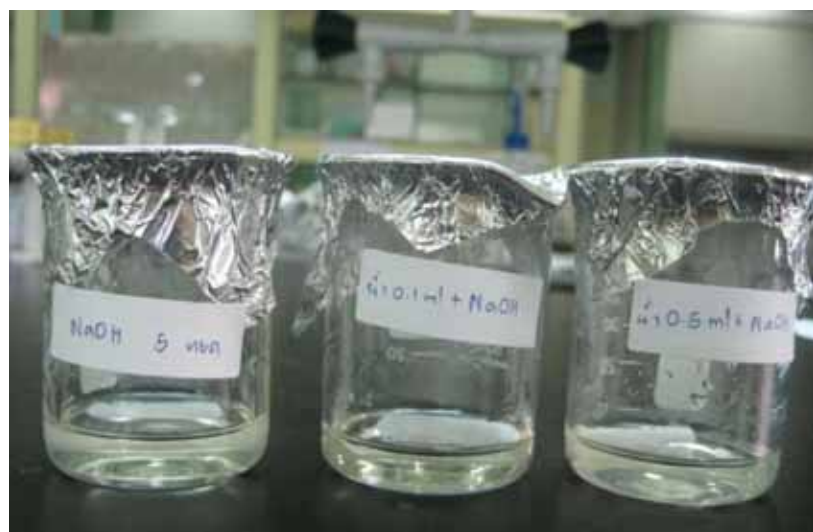
ปริมาณน้ำ (ml)	ลักษณะที่สังเกตได้
0	<ul style="list-style-type: none"> <li>- ภาชนะไป 20 นาทีสารละลายมีสีเหลืองอ่อนๆ และความหนืดเพิ่มขึ้น</li> <li>- ภาชนะ 1 ชั่วโมง สารละลายมีความหนืดสูง (ควันบีกเกอร์แล้วสารละลายไม่ไหล)</li> <li>- ปล่อยไว้เฉย ๆ ประมาณ 1 คืนเกิดเป็นเจล ได้แต่ไม่แข็งมากและมีของเหลวเหลืออยู่ด้านบน</li> </ul>
0.1	<ul style="list-style-type: none"> <li>- ภาชนะไป 30 นาทีสารละลายมีความหนืดเพิ่มขึ้นเล็กน้อย</li> <li>- ภาชนะ 1 ชั่วโมง สารละลายหนืดแต่ยังไหลได้บ้าง (ความหนืดมากกว่าไม่ใช้ <math>\text{NH}_4\text{OH}</math> แต่ต้องไม่แตกต่าง)</li> <li>- ภาชนะ 1 ชั่วโมง สารละลายหนืดแต่ยังไหลได้บ้าง</li> <li>- ปล่อยไว้เฉย ๆ ประมาณ 1 คืนเกิดเป็นเจล ได้แต่ไม่แข็งมากและมีของเหลวเหลืออยู่ด้านบน</li> </ul>
0.5	<ul style="list-style-type: none"> <li>- ภาชนะไป 10 นาทีสารละลายมีสีเหลืองอ่อนๆ</li> <li>- ภาชนะ 1 ชั่วโมง สารละลายหนืดพอ ๆ กับน้ำ 0.1 มิลลิลิตร</li> <li>- ปล่อยไว้เฉย ๆ ประมาณ 1 คืนเกิดเป็นเจล ได้แต่น้อยกว่าน้ำ 0.1 มิลลิลิตร</li> </ul>



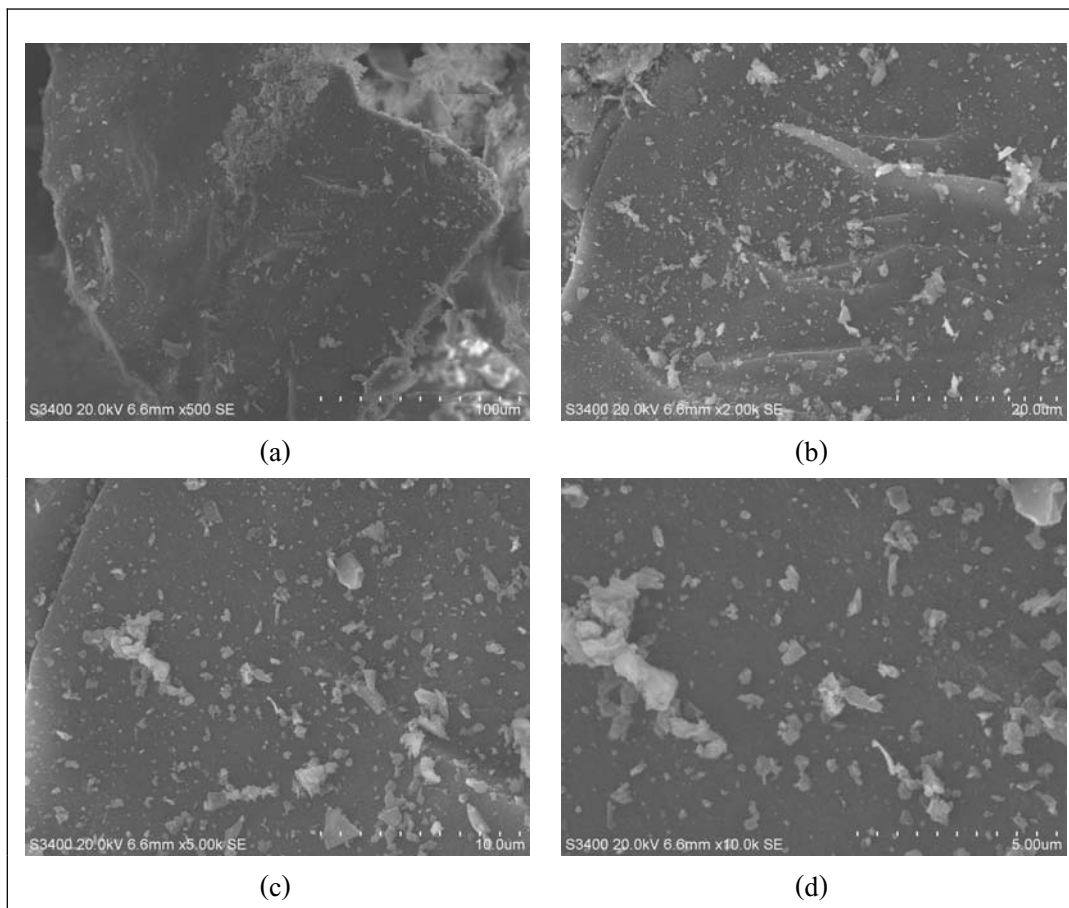
ภาพที่ 43 การเตรียมซิลิกาด้วยกระบวนการโซล-เจล โดยใช้  $\text{NH}_4\text{OH}$  เป็นตัวเร่งปฏิกิริยา เมื่อใช้ปริมาณน้ำ 0.1 และ 0.5 มิลลิลิตร

ตารางที่ 8 ผลของปริมาณน้ำที่ใช้ในการเตรียมซิลิกาเมื่อใช้ NaOH ตัวเร่งปฏิกิริยา

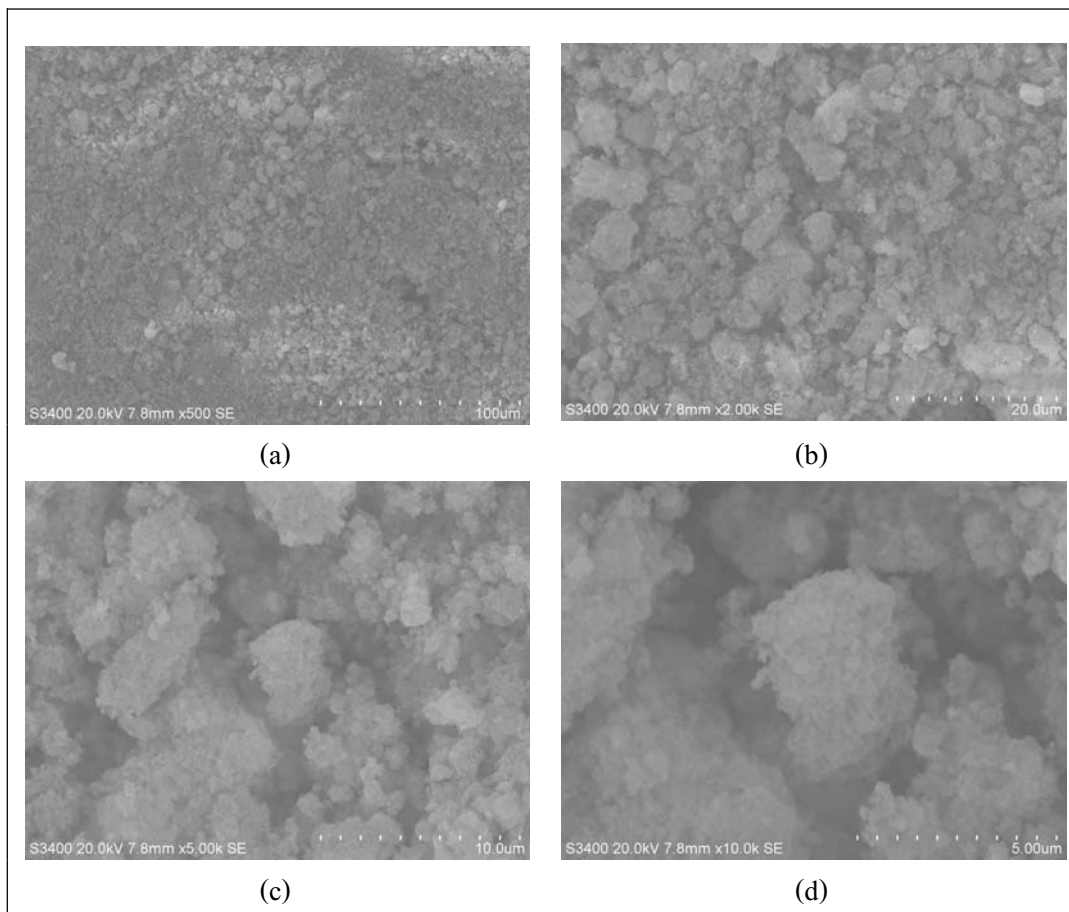
ปริมาณน้ำ (ml)	ลักษณะที่สังเกตได้
0	- กวนครบน้ำ 1 ชั่วโมง สารละลายไม่เกิดการเปลี่ยนแปลง
0.1	- กวนครบ 1 ชั่วโมงสารละลายไม่เกิดการเปลี่ยนแปลง - กวนต่อจนครบ 3 ชั่วโมง สารละลายกึ่งไม่เกิดการเปลี่ยนแปลง - ปล่อยไว้เฉย ๆ ประมาณ 5 ชั่วโมง สารละลายสีเหลืองอ่อนใสเริ่มเกิดเจล - ปล่อยไว้เฉย ๆ ประมาณ 1 คืน สารละลายสีเหลืองอ่อนใสและเป็นเจลแข็ง ขึ้นและมีของเหลวเหลืออยู่ด้านบน
0.5	- กวนครบ 1 ชั่วโมงสารละลายไม่เกิดการเปลี่ยนแปลง - กวนต่อจนครบ 3 ชั่วโมง สารละลายไม่เกิดการเปลี่ยนแปลง - ปล่อยไว้เฉย ๆ ประมาณ 5 ชั่วโมง สารละลายไม่เกิดการเปลี่ยนแปลง - ปล่อยไว้เฉย ๆ ประมาณ 1 คืน สารละลายไม่เกิดการเปลี่ยนแปลง - ปล่อยไว้เฉย ๆ ประมาณ 2 คืน สารละลายเริ่มเกิดเจลได้ - ปล่อยไว้เฉย ๆ ประมาณ 3 คืน สารละลายเป็นเจลแข็งขึ้น - ปล่อยไว้เฉย ๆ ประมาณ 4 คืน สารละลายเป็นเจลสีเหลืองใสแข็ง และมี ของเหลวเหลืออยู่ด้านบน



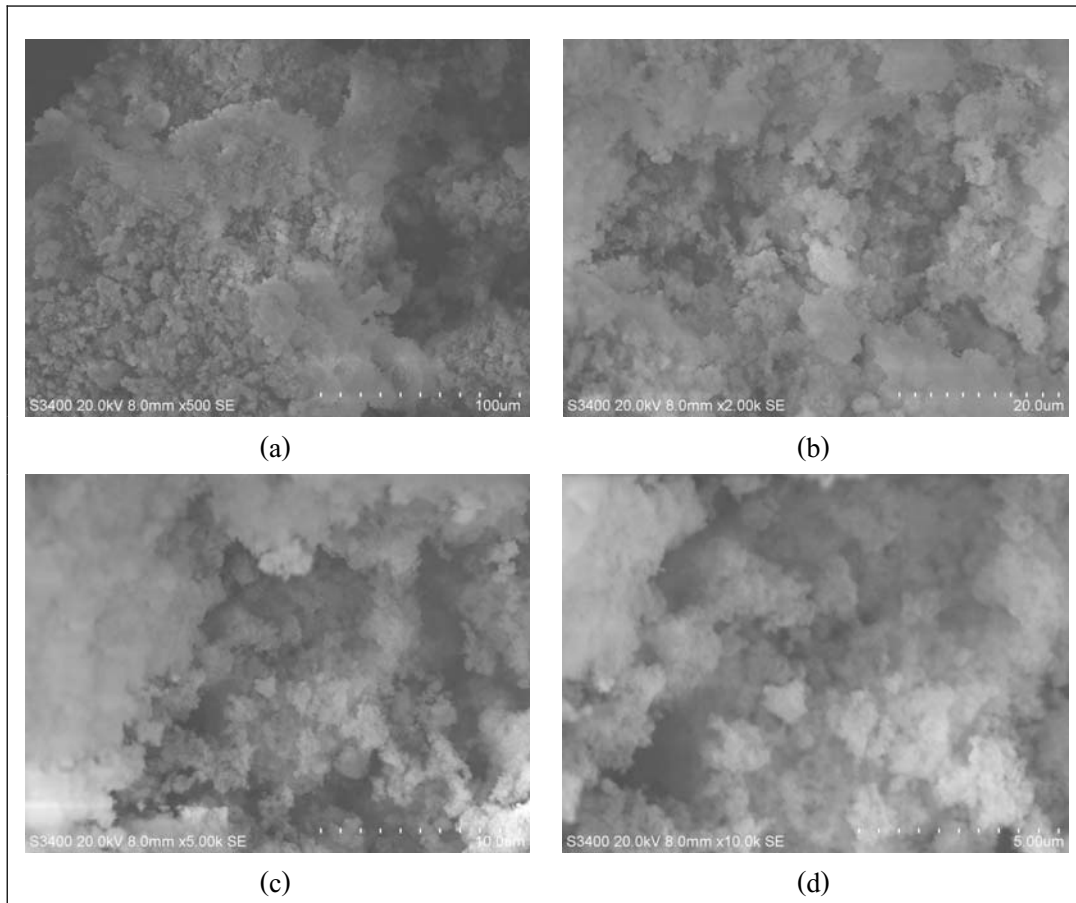
ภาพที่ 44 การเตรียมซิลิกาด้วยกระบวนการโซล-เจล โดยใช้ NaOH เป็นตัวเร่งปฏิกิริยา เมื่อใช้ปริมาณน้ำ 0.1 และ 0.5 มิลลิลิตร



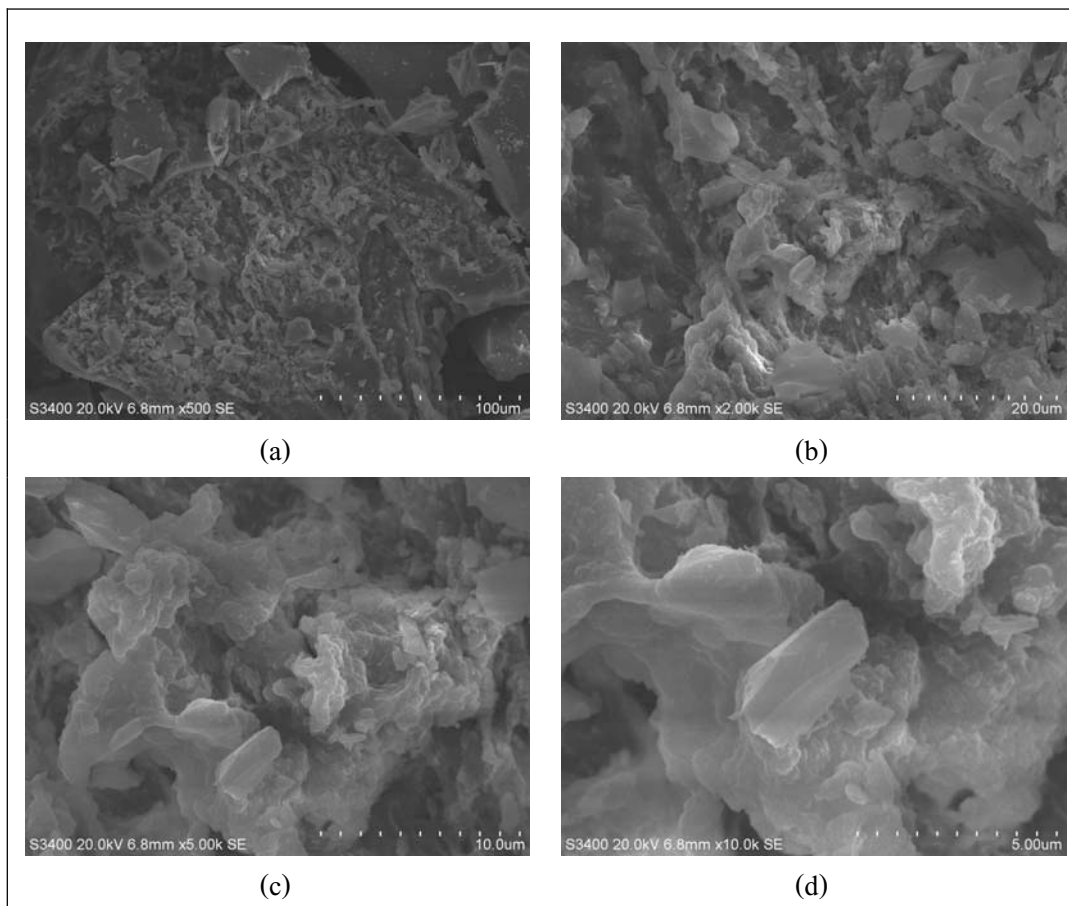
ภาพที่ 45 ภาพถ่าย SEM ของชิ้นงานที่เตรียมได้จากเทคนิคโซล-เจล เมื่อใช้ปริมาณน้ำ 0.1 มิลลิลิตร และไม่ใช้ตัวเร่งปฏิกิริยา ภายใต้ระบบปิดที่กำลังขยายต่าง ๆ ภายหลังการเผา ณ อุณหภูมิ 1000 องศาเซลเซียส (a) 500 เท่า (b) 2,000 เท่า (c) 5,000 เท่า และ (d) 10,000 เท่า



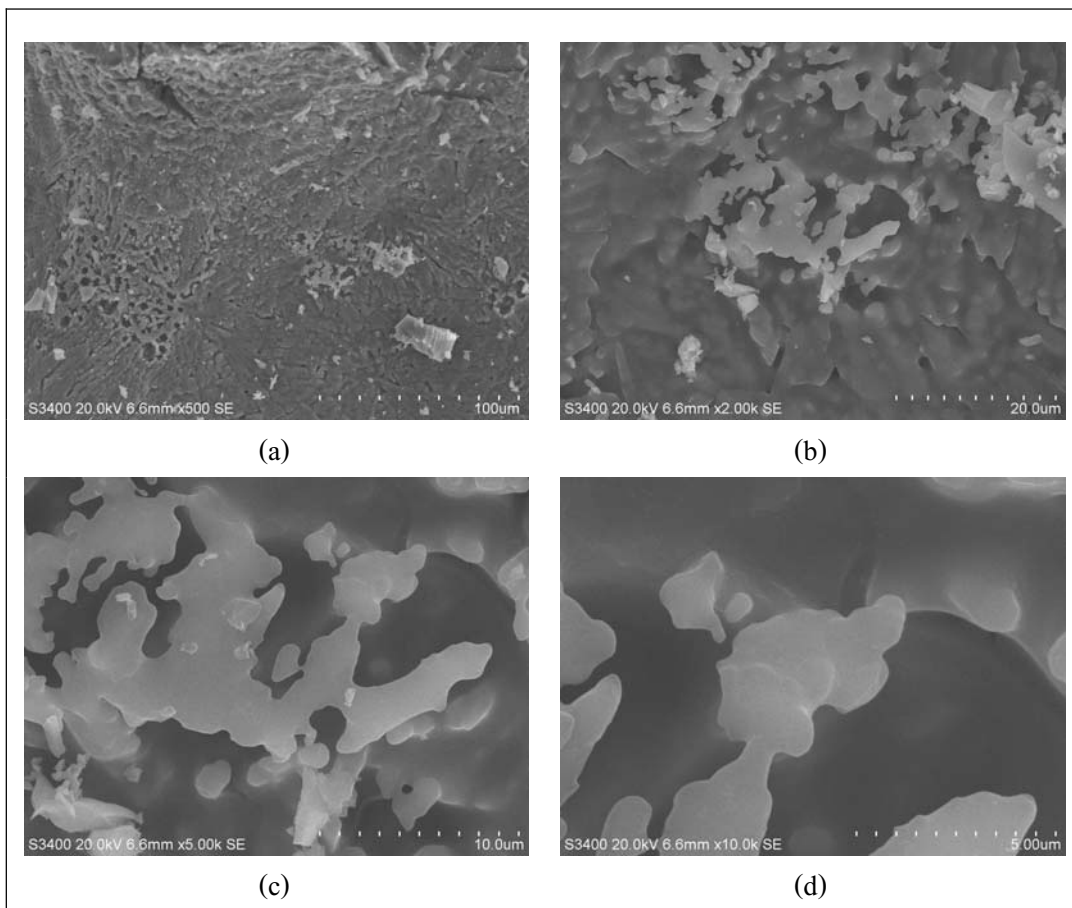
ภาพที่ 46 ภาพถ่าย SEM ของซิลิกาที่เตรียมได้จากเทคนิคโซล-เจล เมื่อใช้ปริมาณน้ำ 0.1 มิลลิลิตร และใช้ตัวเร่งปฏิกิริยาเป็น  $\text{H}_2\text{SO}_4$  ภายใต้ระบบปิดที่กำลังขยายต่าง ๆ ภายหลังการเผา ณ อุณหภูมิ 1000 องศาเซลเซียส (a) 500 เท่า (b) 2,000 เท่า (c) 5,000 เท่า และ (d) 10,000 เท่า



ภาพที่ 47 ภาพถ่าย SEM ของชิลิกาที่เตรียมได้จากเทคนิคโซล-เจล เมื่อใช้ปริมาณน้ำ 0.1 มิลลิลิตร และใช้ตัวเร่งปฏิกิริยาเป็น  $\text{HNO}_3$  ภายใต้ระบบปิดที่กำลังขยายต่าง ๆ ภายหลังการเผา ณ อุณหภูมิ 1000 องศาเซลเซียส (a) 500 เท่า (b) 2,000 เท่า (c) 5,000 เท่า และ (d) 10,000 เท่า

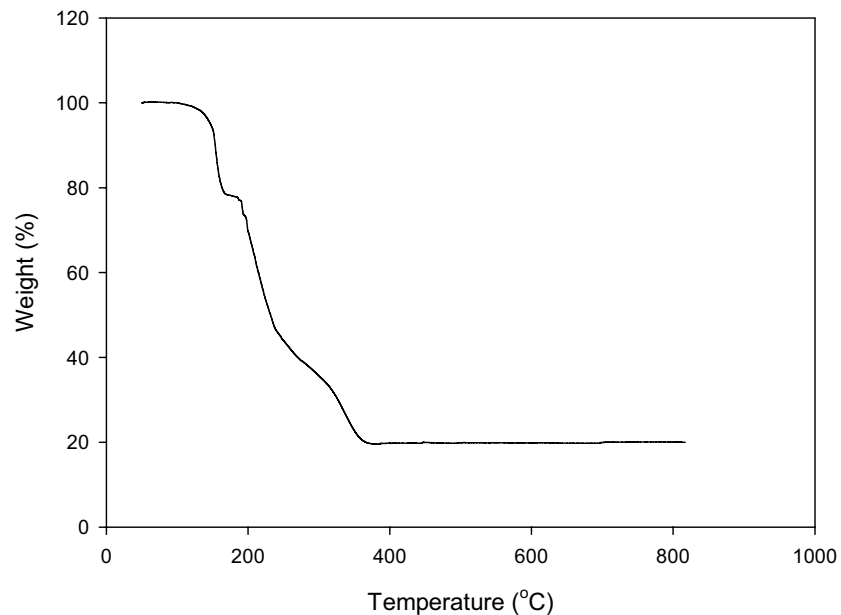


ภาพที่ 48 ภาพถ่าย SEM ของชิลิกาที่เตรียมได้จากเทคนิคโซล-เจล เมื่อใช้ปริมาณน้ำ 0.1 มิลลิลิตร และใช้ตัวเร่งปฏิกิริยาเป็น  $\text{NH}_4\text{OH}$  ภายใต้ระบบปิดที่กำลังขยายต่าง ๆ ภายหลังการเผา ณ อุณหภูมิ 1000 องศาเซลเซียส (a) 500 เท่า (b) 2,000 เท่า (c) 5,000 เท่า และ (d) 10,000 เท่า

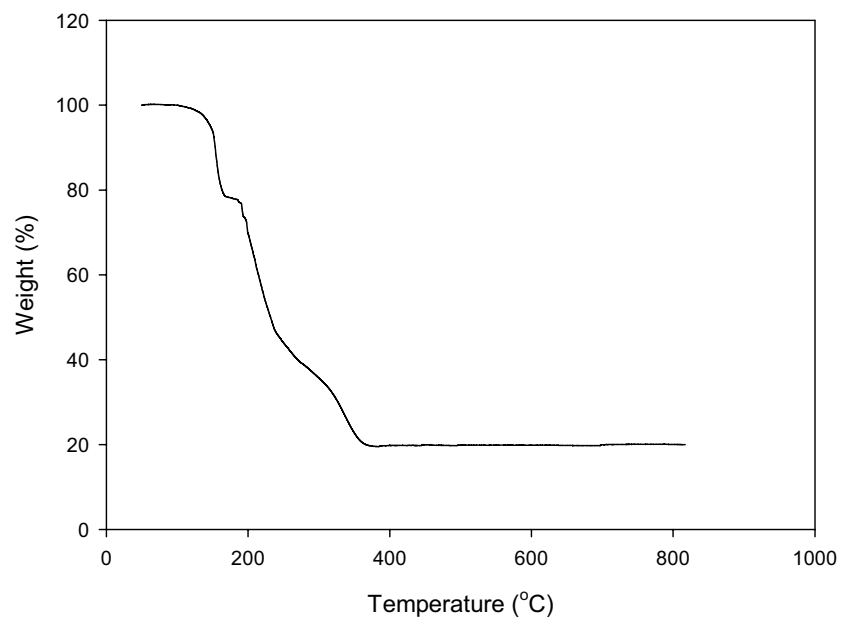


ภาพที่ 49 ภาพถ่าย SEM ของชิลิกาที่เตรียมได้จากเทคนิคโซล-เจล เมื่อใช้ปริมาณน้ำ 0.1 มิลลิลิตร และใช้ตัวเร่งปฏิกิริยาเป็น NaOH ภายใต้ระบบปิดที่กำลังขยายต่าง ๆ ภายหลังการเผา ณ อุณหภูมิ 1000 องศาเซลเซียส (a) 500 เท่า (b) 2,000 เท่า (c) 5,000 เท่า และ (d) 10,000 เท่า

ก.3 ทดสอบหาอุณหภูมิที่เหมาะสมต่อการเผาสารตัวอย่าง  $\text{Fe/SiO}_2$

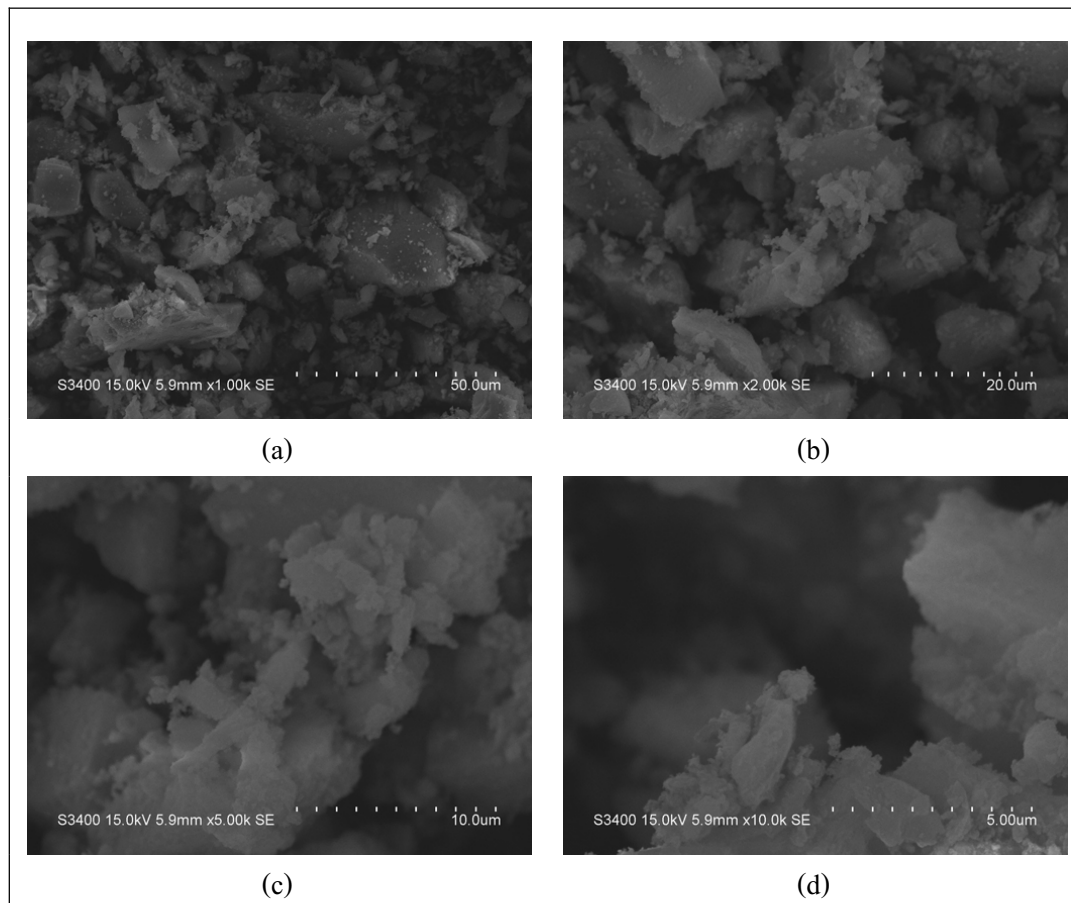


ภาพที่ 50 TGA thermogram ของ  $\text{Fe}(\text{acac})_3$

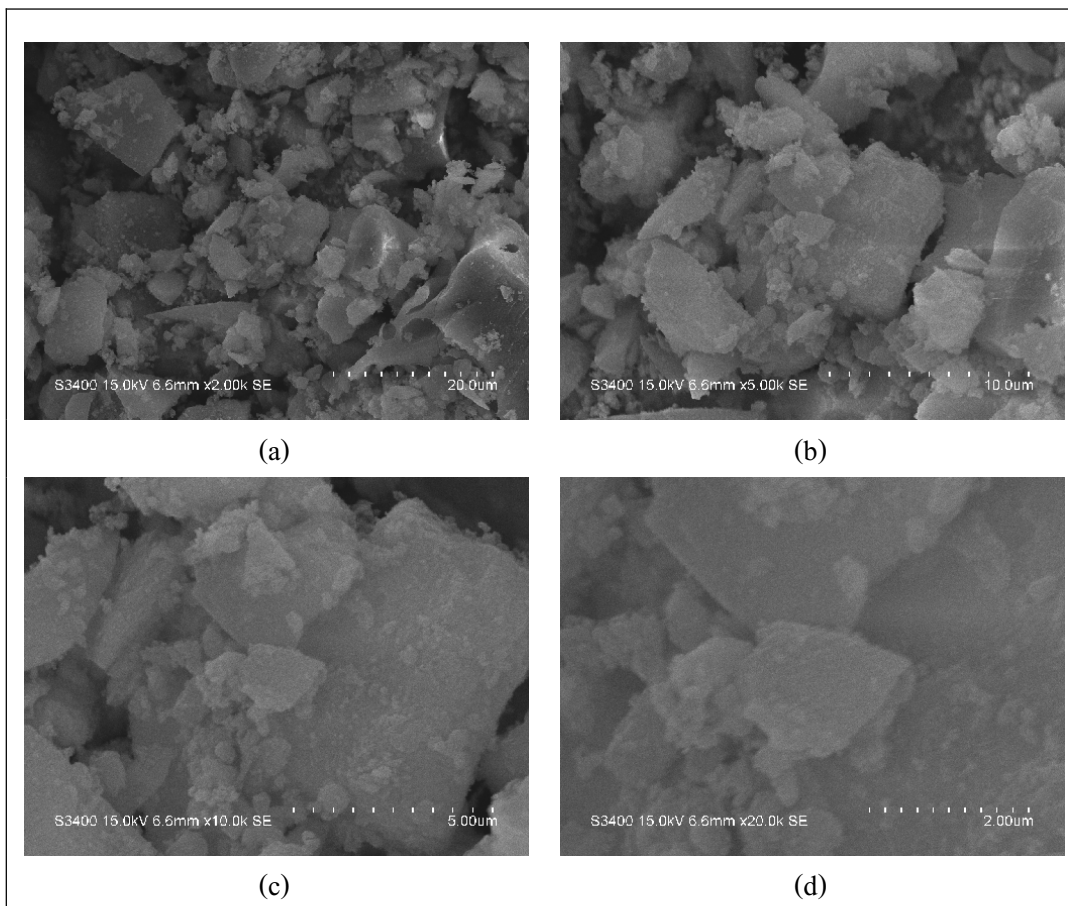


ภาพที่ 51 TGA thermogram ของ  $\text{Fe}(\text{NO}_3)_3$

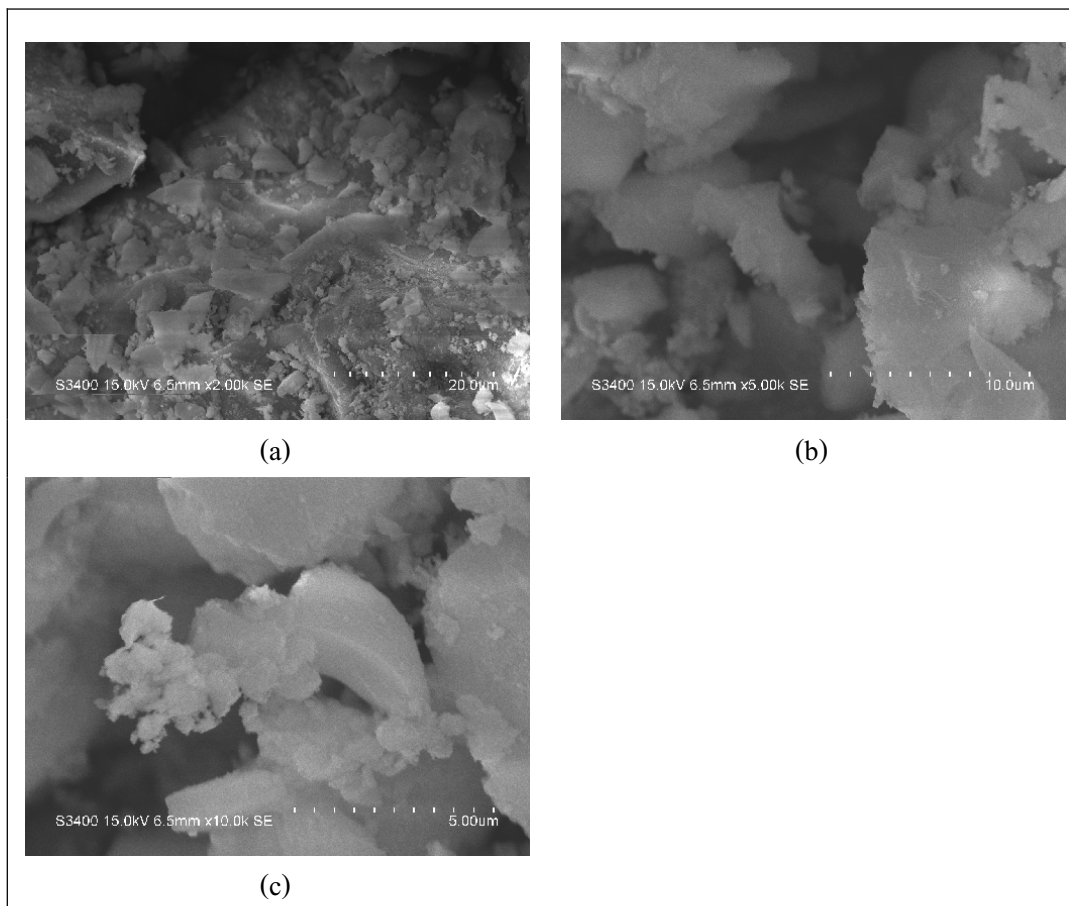
ก.4 การเตรียม  $\text{Fe/SiO}_2$  โดยคึกขำผลของอุณหภูมิ แหล่งโลหะเหล็กและตัวเร่งปฏิกิริยากรดที่ใช้ใน การเตรียมซิลิค้า



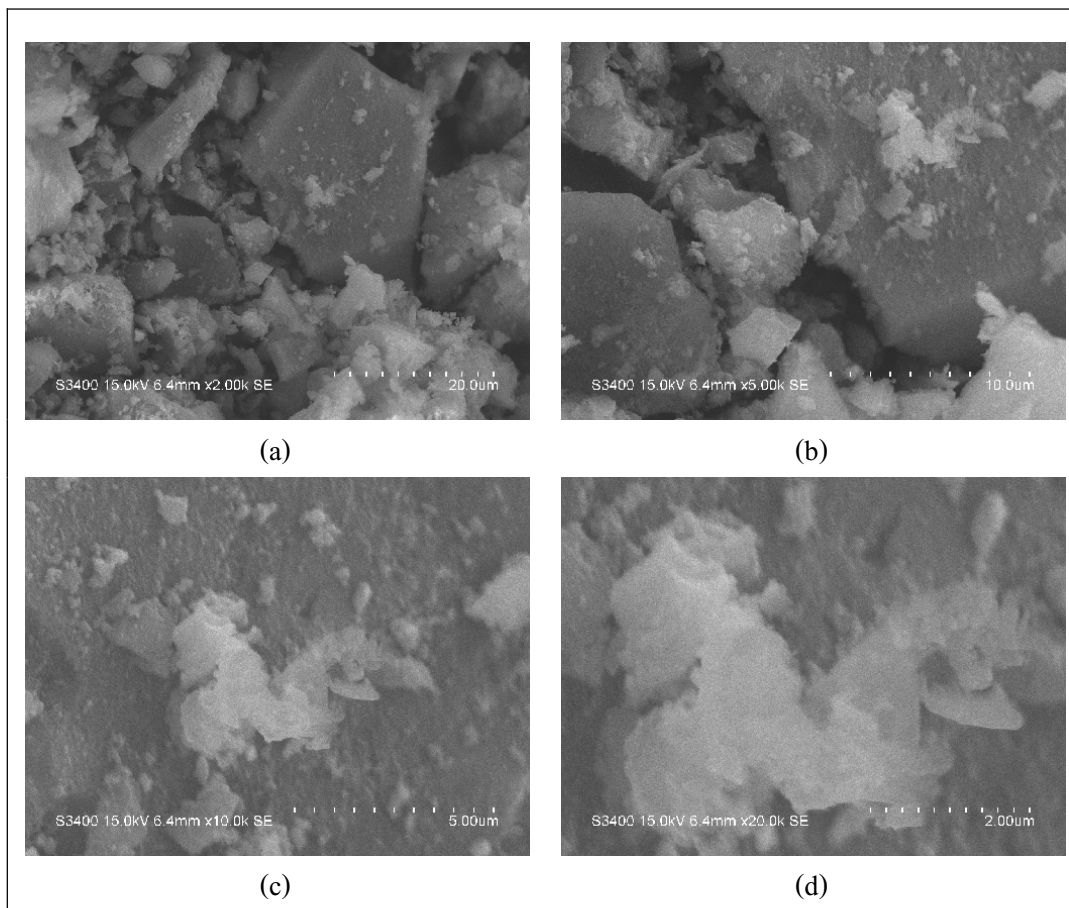
ภาพที่ 52 ภาพถ่าย SEM ของ  $\text{Fe/SiO}_2$  ที่เตรียมจากการกระบวนการ Impregnation  $(\text{Fe}(\text{NO}_3)_3 + \text{HNO}_3)$  ภายหลังการเผาที่อุณหภูมิ 400 องศาเซลเซียส อัตราการให้ความร้อน 10 องศาเซลเซียสต่อนาที เป็นเวลา 3 ชั่วโมง (a) 1,000 เท่า (b) 2,000 เท่า (c) 5,000 เท่า และ (d) 10,000 เท่า



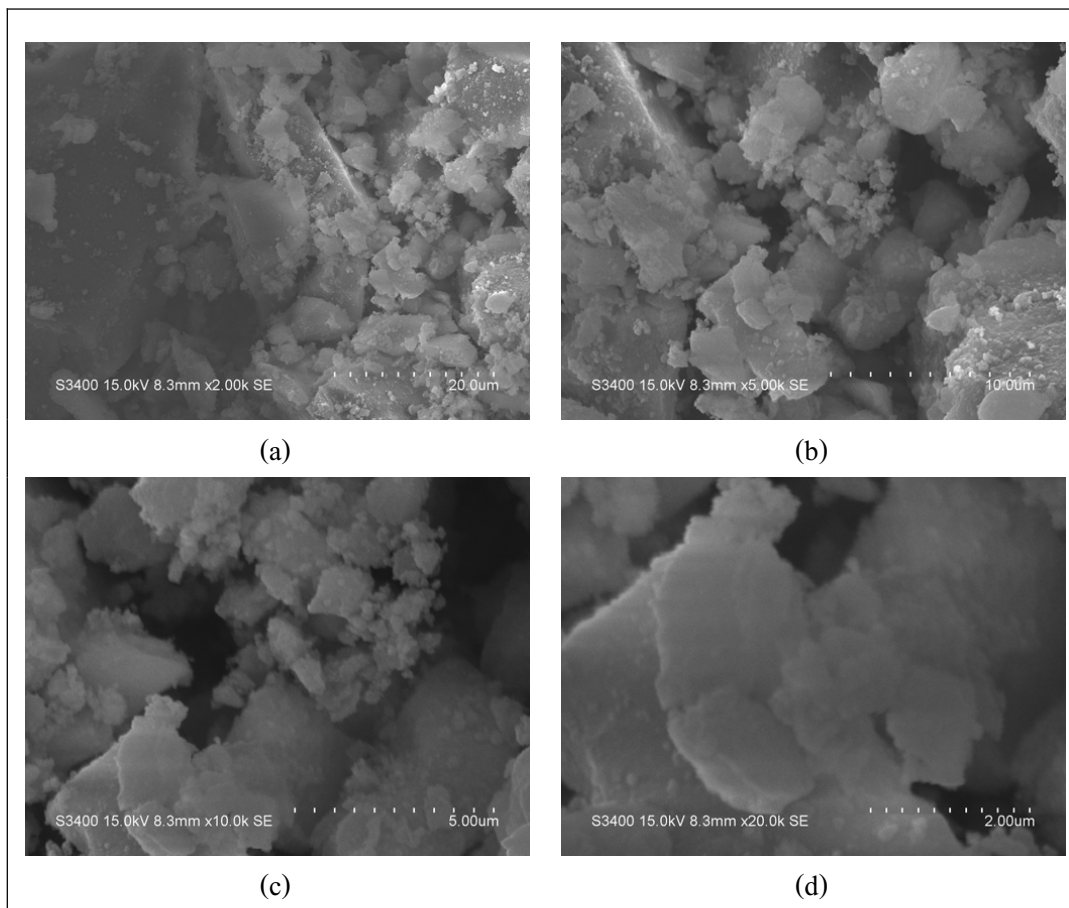
ภาพที่ 53 ภาพถ่าย SEM ของ  $\text{Fe}/\text{SiO}_2$  ที่เตรียมจากกระบวนการ Impregnation  $(\text{Fe}(\text{NO}_3)_3)+\text{H}_2\text{SO}_4$  ภายหลังการเผาที่อุณหภูมิ 400 องศาเซลเซียส อัตราการให้ความร้อน 10 องศาเซลเซียสต่อนาที เป็นเวลา 3 ชั่วโมง (a) 2,000 เท่า (b) 5,000 เท่า (c) 10,000 เท่า และ (d) 20,000 เท่า



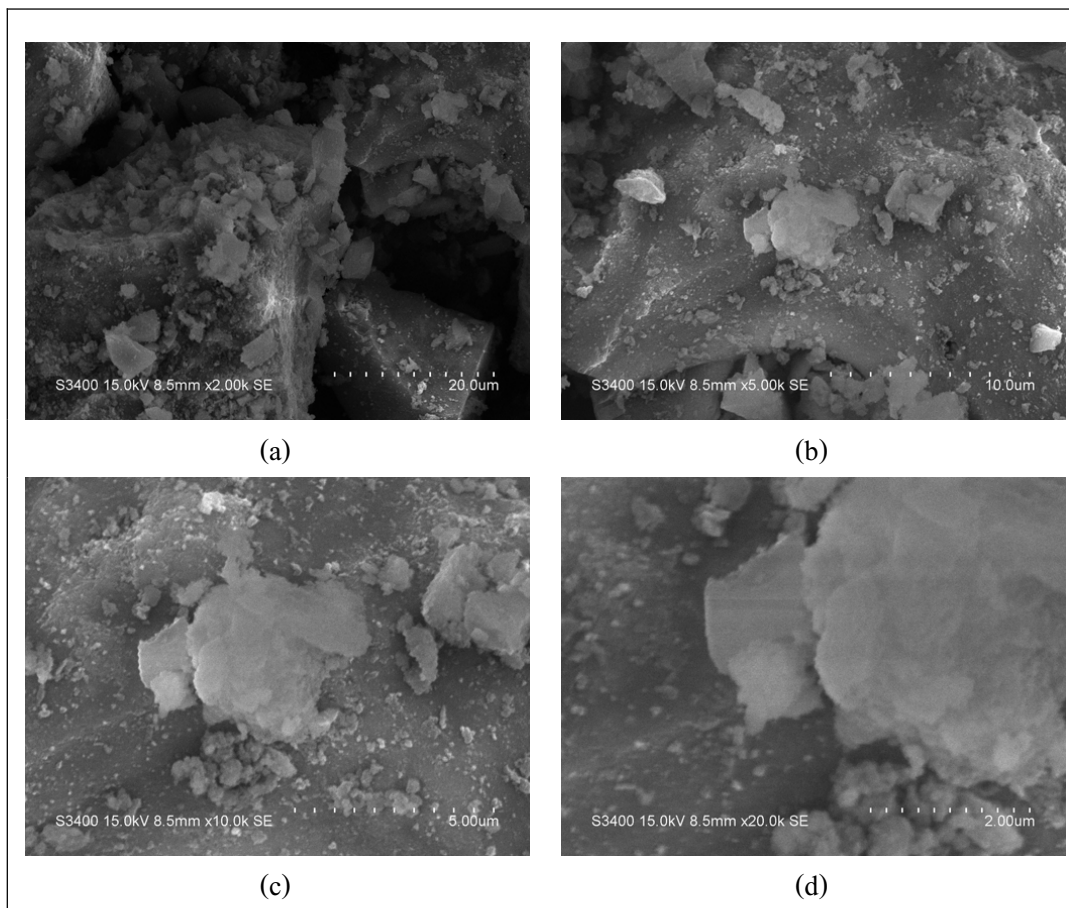
ภาพที่ 54 ภาพถ่าย SEM ของ  $\text{Fe}/\text{SiO}_2$  ที่เตรียมจากการกระบวนการ Impregnation  $(\text{Fe}(\text{acac})_3 + \text{HNO}_3)$  ภายหลังการเผาที่อุณหภูมิ 400 องศาเซลเซียส อัตราการให้ความร้อน 10 องศาเซลเซียสต่อนาที เป็นเวลา 3 ชั่วโมง (a) 2,000 เท่า (b) 5,000 เท่า และ (c) 10,000 เท่า



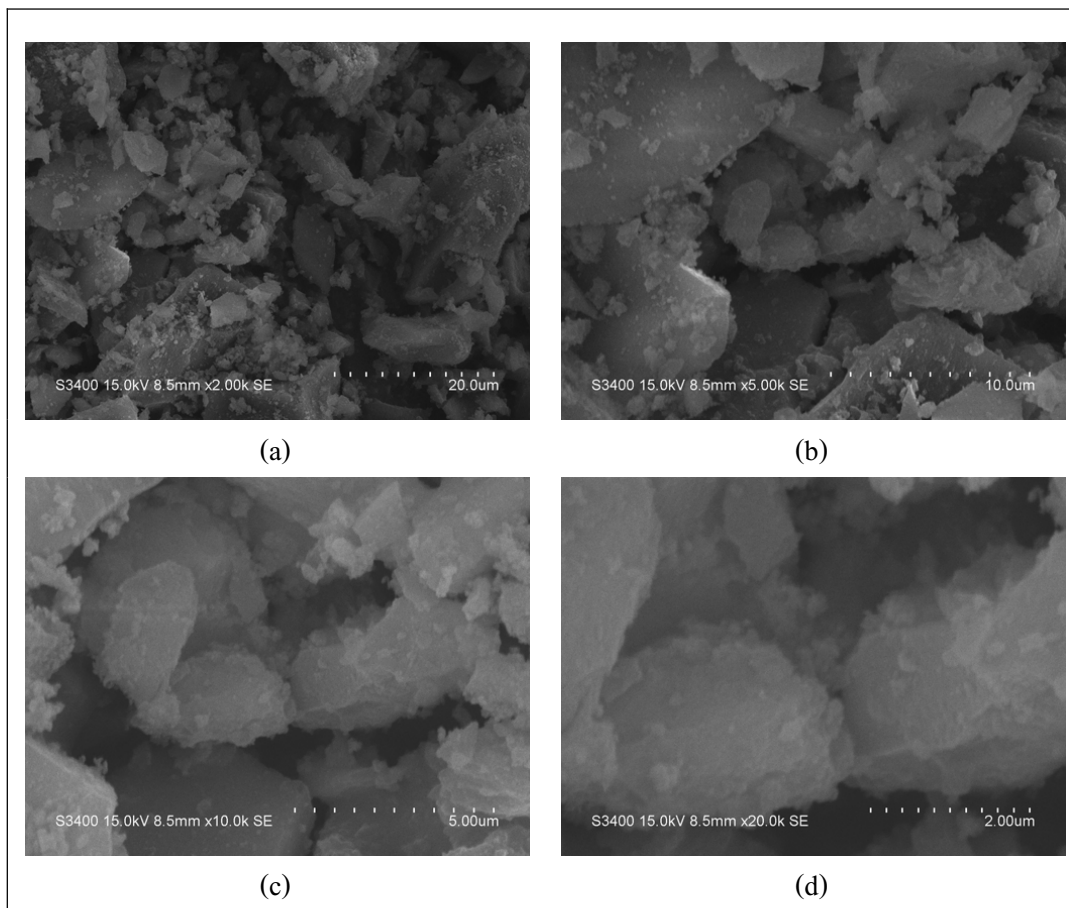
ภาพที่ 55 ภาพถ่าย SEM ของ Fe/SiO<sub>2</sub> ที่เตรียมจากกระบวนการ Impregnation (Fe(acac)<sub>3</sub>) + H<sub>2</sub>SO<sub>4</sub> ภายหลังการเผาที่อุณหภูมิ 400 องศาเซลเซียส อัตราการให้ความร้อน 10 องศาเซลเซียสต่อนาที เป็นเวลา 3 ชั่วโมง (a) 2,000 เท่า (b) 5,000 เท่า (c) 10,000 เท่า และ (d) 20,000 เท่า



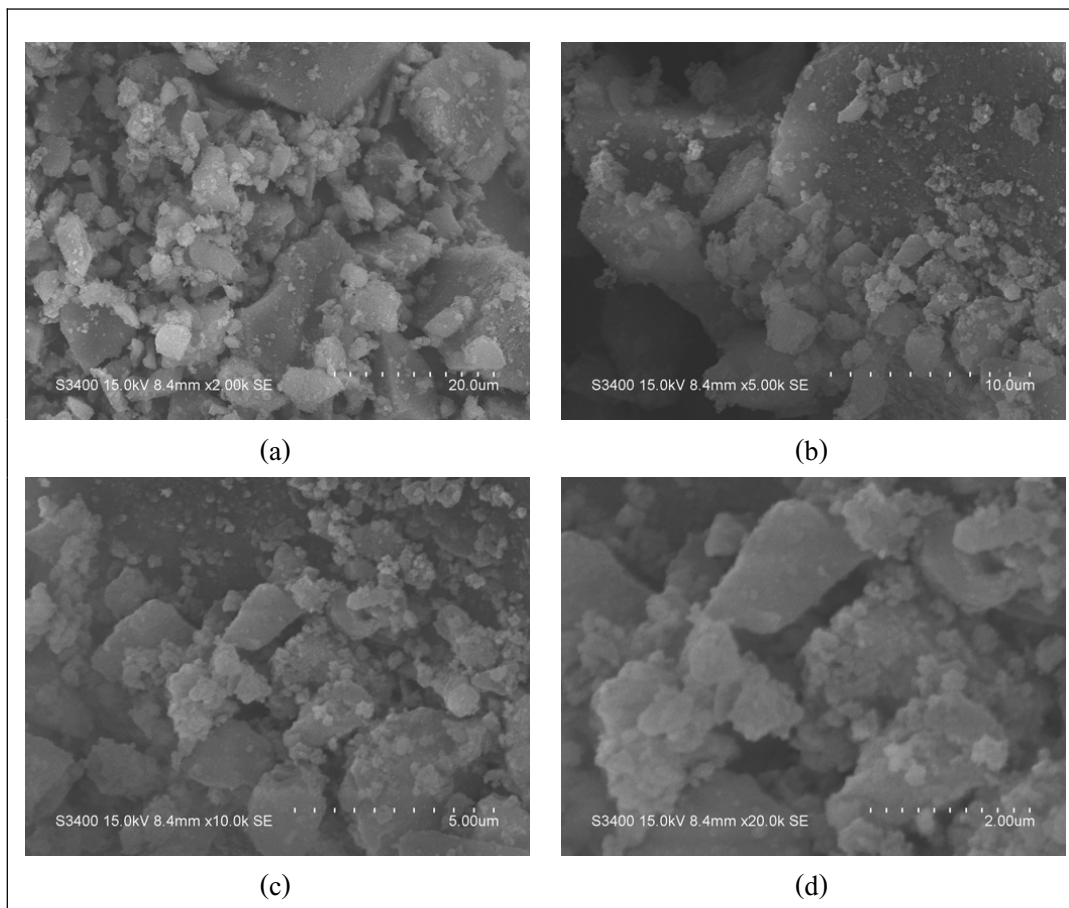
ภาพที่ 56 ภาพถ่าย SEM ของ  $\text{Fe}/\text{SiO}_2$  ที่เตรียมจากการกระบวนการ Impregnation  $(\text{Fe}(\text{NO}_3)_3 + \text{HNO}_3)$  ภายหลังการเผาที่อุณหภูมิ 500 องศาเซลเซียส อัตราการให้ความร้อน 10 องศาเซลเซียสต่อนาที เป็นเวลา 3 ชั่วโมง (a) 2,000 เท่า (b) 5,000 เท่า (c) 10,000 เท่า และ (d) 20,000 เท่า



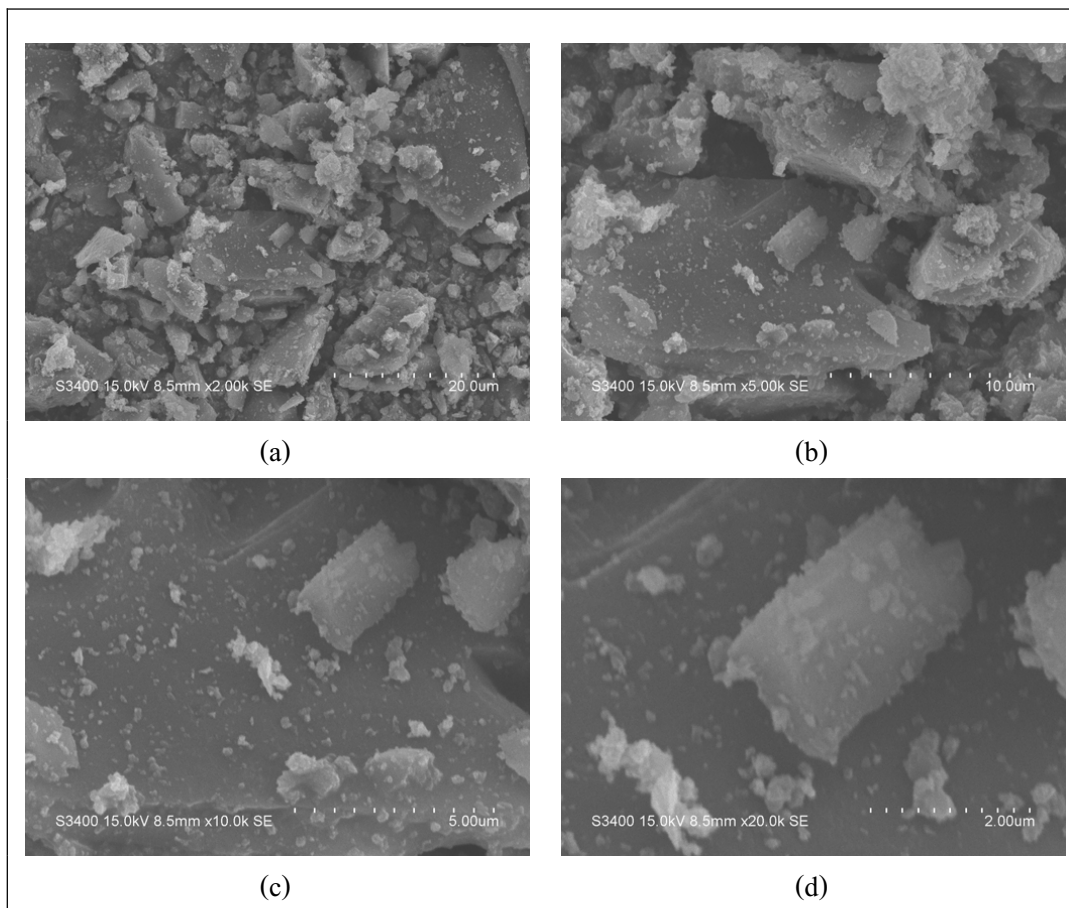
ภาพที่ 57 ภาพถ่าย SEM ของ  $\text{Fe}/\text{SiO}_2$  ที่เตรียมจากกระบวนการ Impregnation  $(\text{Fe}(\text{NO}_3)_3 + \text{H}_2\text{SO}_4)$  ภายหลังการเผาที่อุณหภูมิ 500 องศาเซลเซียส อัตราการให้ความร้อน 10 องศาเซลเซียสต่อนาที เป็นเวลา 3 ชั่วโมง (a) 2,000 เท่า (b) 5,000 เท่า (c) 10,000 เท่า และ (d) 20,000 เท่า



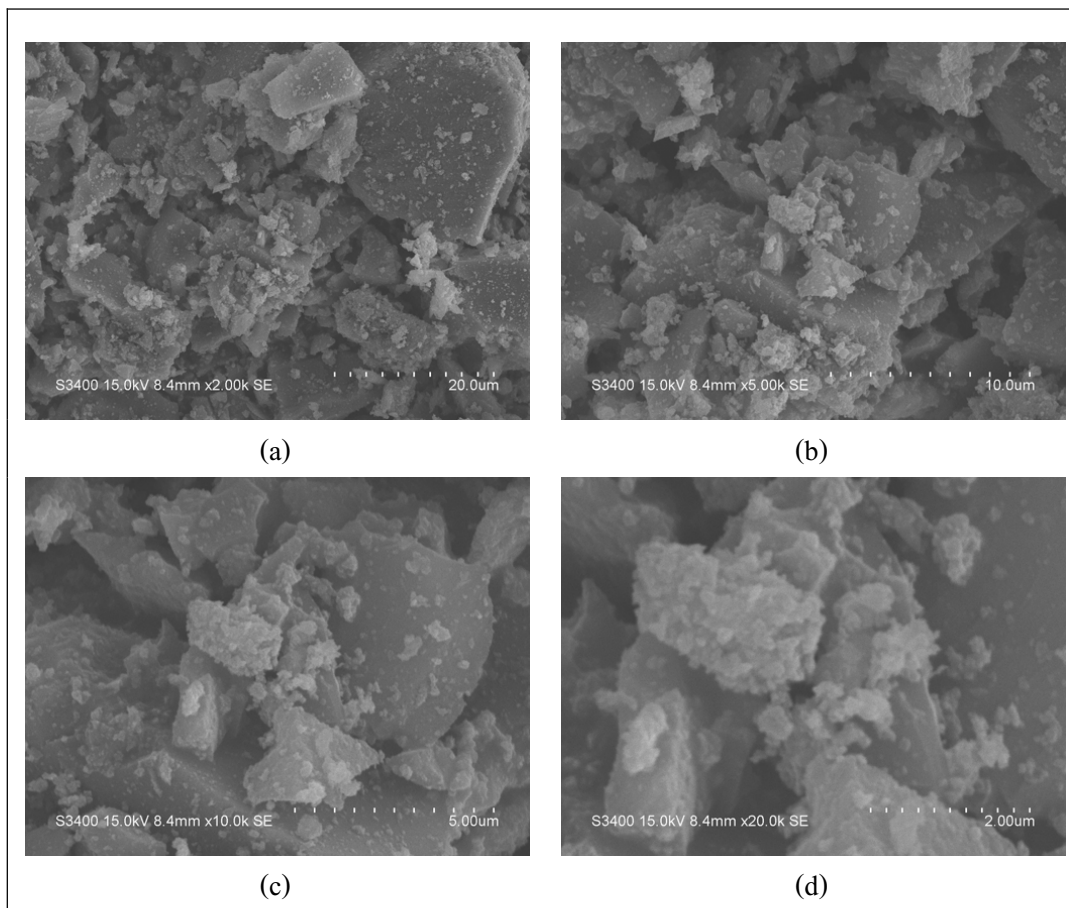
ภาพที่ 58 ภาพถ่าย SEM ของ  $\text{Fe}/\text{SiO}_2$  ที่เตรียมจากการกระบวนการ Impregnation  $(\text{Fe}(\text{acac})_3 + \text{HNO}_3)$  ภายหลังการเผาที่อุณหภูมิ 500 องศาเซลเซียส อัตราการให้ความร้อน 10 องศาเซลเซียสนาที เป็นเวลา 3 ชั่วโมง (a) 2,000 เท่า (b) 5,000 เท่า (c) 10,000 เท่า และ (d) 20,000 เท่า



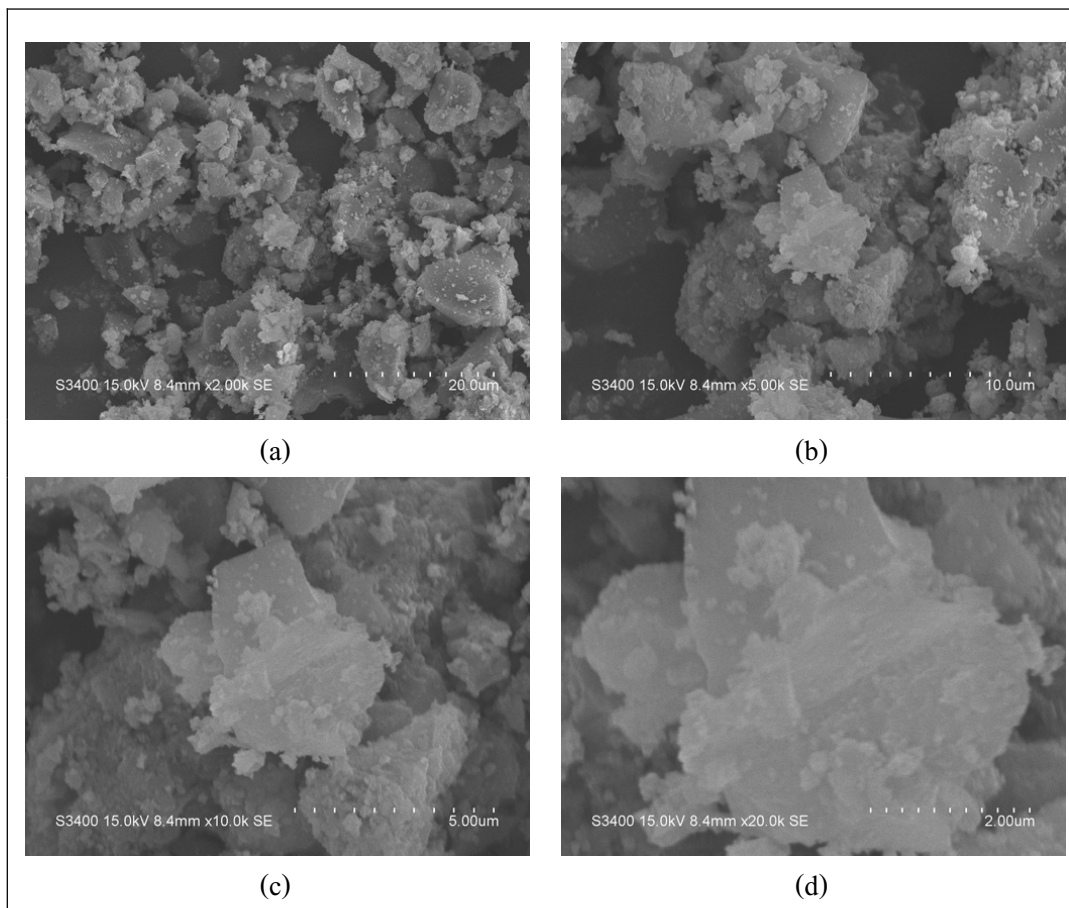
ภาพที่ 59 ภาพถ่าย SEM ของ  $\text{Fe}/\text{SiO}_2$  ที่เตรียมจากการกระบวนการ Impregnation  $(\text{Fe}(\text{acac})_3 + \text{H}_2\text{SO}_4)$  ภายหลังการเผาที่อุณหภูมิ 500 องศาเซลเซียส อัตราการให้ความร้อน 10 องศาเซลเซียสต่อนาที เป็นเวลา 3 ชั่วโมง (a) 2,000 เท่า (b) 5,000 เท่า (c) 10,000 เท่า และ (d) 20,000 เท่า



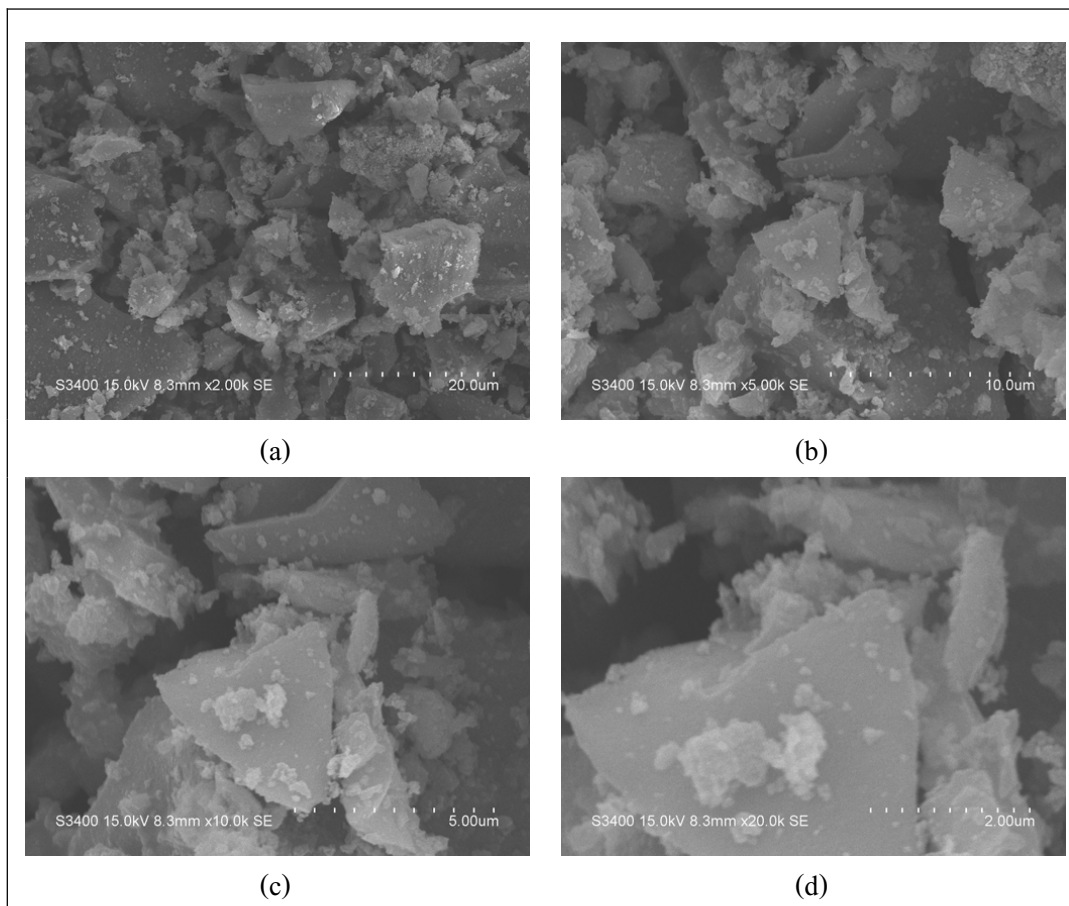
ภาพที่ 60 ภาพถ่าย SEM ของ  $\text{Fe}/\text{SiO}_2$  ที่เตรียมจากการกระบวนการ Impregnation  $(\text{Fe}(\text{NO}_3)_3)+\text{HNO}_3$  ภายหลังการเผาที่อุณหภูมิ 600 องศาเซลเซียส อัตราการให้ความร้อน 10 องศาเซลเซียสต่อนาที เป็นเวลา 3 ชั่วโมง (a) 2,000 เท่า (b) 5,000 เท่า (c) 10,000 เท่า และ (d) 20,000 เท่า



ภาพที่ 61 ภาพถ่าย SEM ของ  $\text{Fe}/\text{SiO}_2$  ที่เตรียมจากกระบวนการ Impregnation  $(\text{Fe}(\text{NO}_3)_3 + \text{H}_2\text{SO}_4)$  ภายหลังการเผาที่อุณหภูมิ 600 องศาเซลเซียส อัตราการให้ความร้อน 10 องศาเซลเซียสต่อนาที เป็นเวลา 3 ชั่วโมง (a) 2,000 เท่า (b) 5,000 เท่า (c) 10,000 เท่า และ (d) 20,000 เท่า

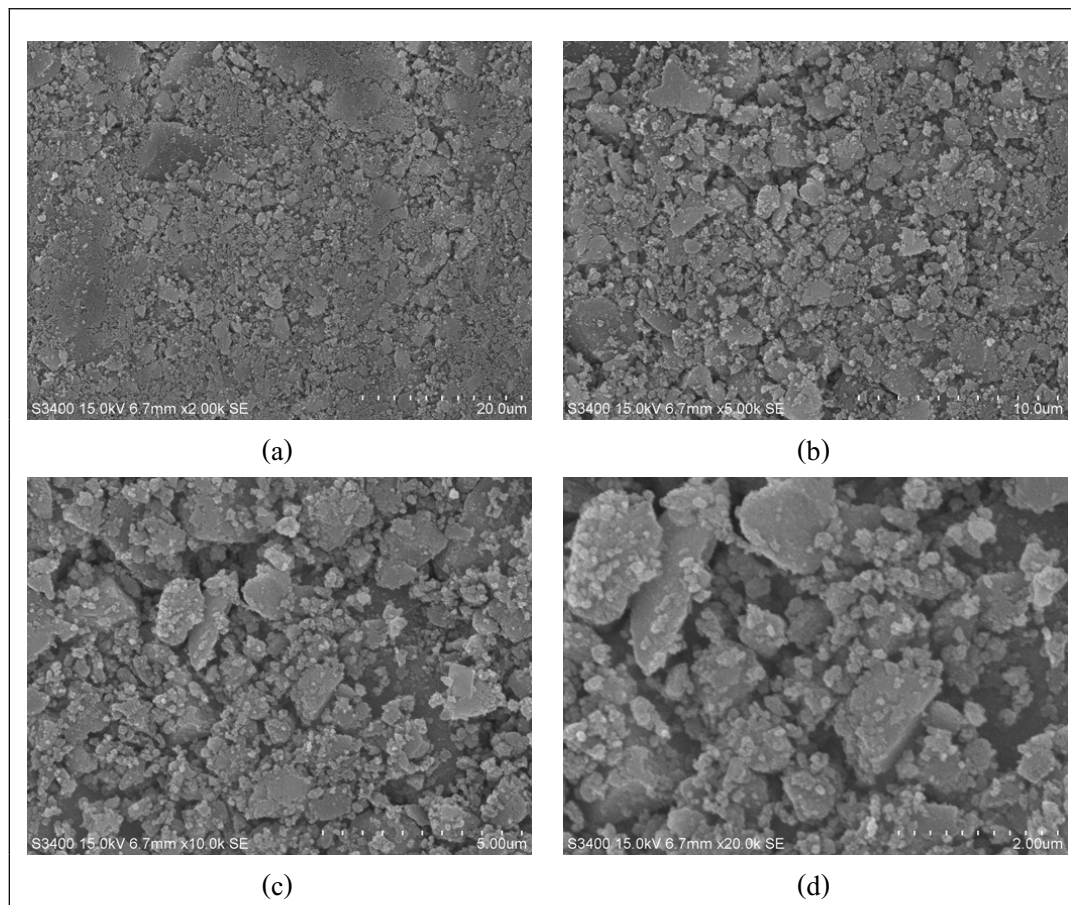


ภาพที่ 62 ภาพถ่าย SEM ของ  $\text{Fe}/\text{SiO}_2$  ที่เตรียมจากการกระบวนการ Impregnation  $(\text{Fe}(\text{acac})_3 + \text{HNO}_3)$  ภายหลังการเผาที่อุณหภูมิ 600 องศาเซลเซียส อัตราการให้ความร้อน 10 องศาเซลเซียสต่อนาที เป็นเวลา 3 ชั่วโมง (a) 2,000 เท่า (b) 5,000 เท่า (c) 10,000 เท่า และ (d) 20,000 เท่า

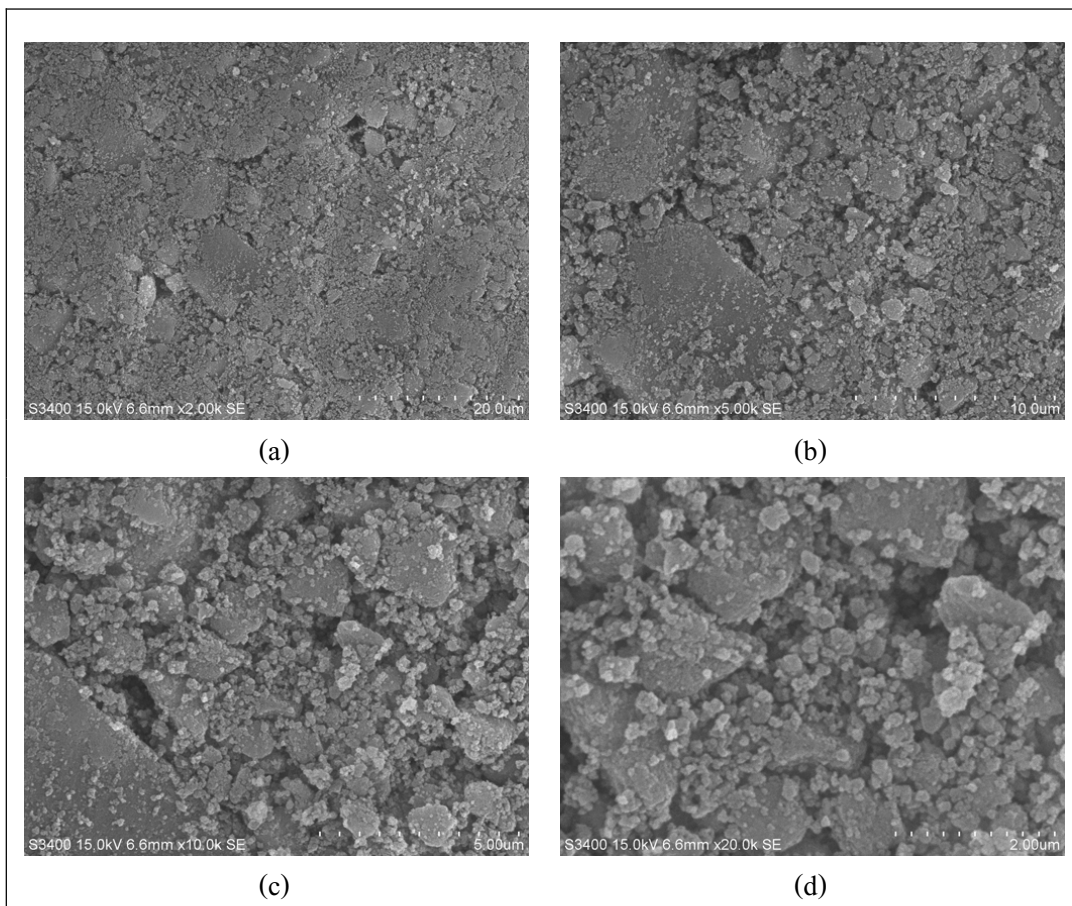


ภาพที่ 63 ภาพถ่าย SEM ของ  $\text{Fe}/\text{SiO}_2$  ที่เตรียมจากกระบวนการ Impregnation ( $\text{Fe}(\text{acac})_3 + \text{H}_2\text{SO}_4$  ภายหลังการเผาที่อุณหภูมิ 600 องศาเซลเซียส อัตราการให้ความร้อน 10 องศาเซลเซียสต่อนาที เป็นเวลา 3 ชั่วโมง (a) 2,000 เท่า (b) 5,000 เท่า (c) 10,000 เท่า และ (d) 20,000 เท่า

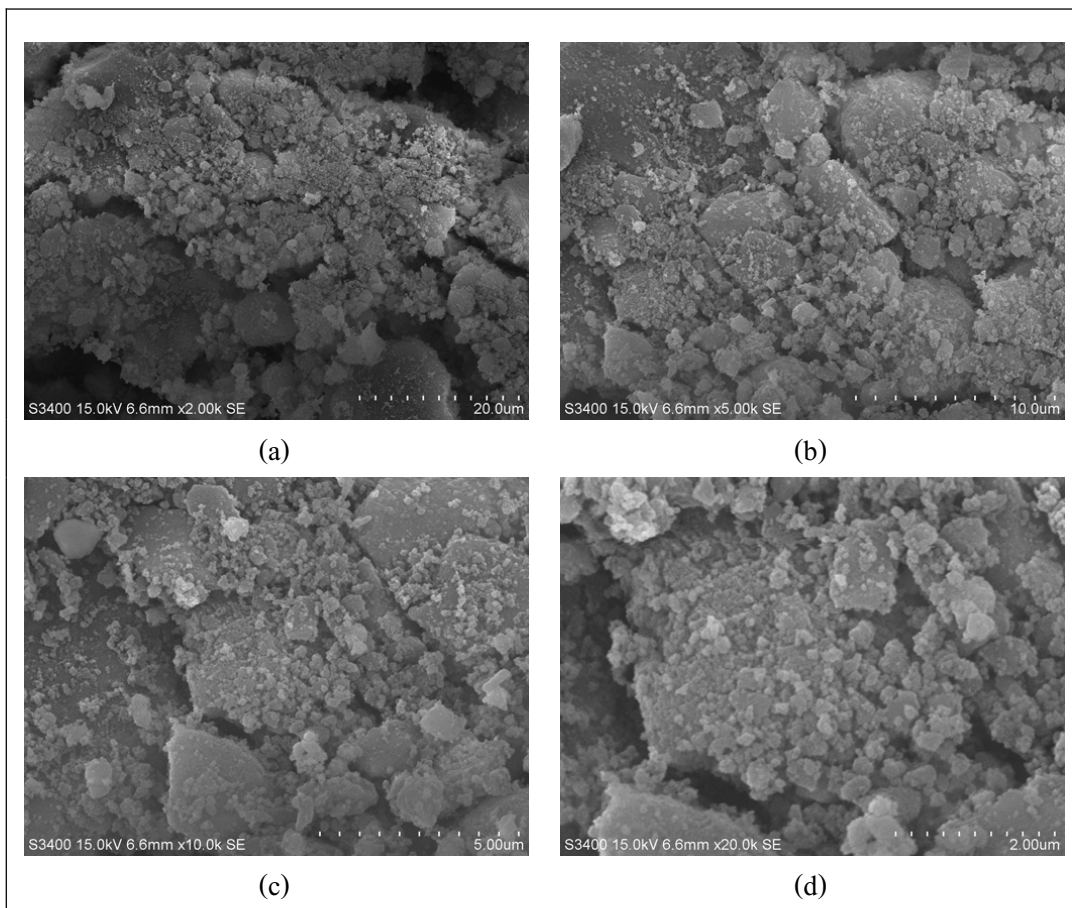
ก.5 คิ่งข่ายผลของปริมาณโลหะเหล็กที่ใช้ในการเตรียม  $\text{Fe/SiO}_2$  โดยวิธี Impregnation method



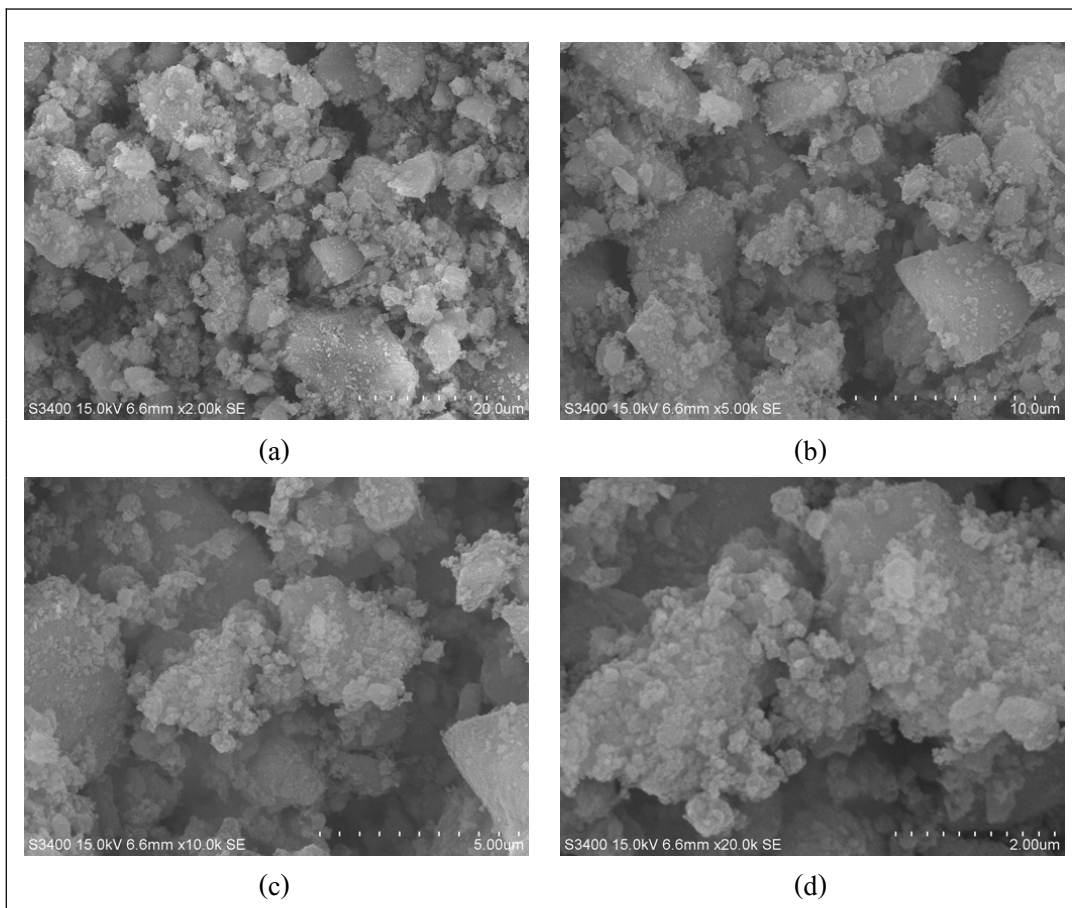
ภาพที่ 64 ภาพถ่าย SEM ของ  $\text{Fe/SiO}_2$  ที่เตรียมจากกระบวนการ Impregnation  $(\text{Fe}(\text{NO}_3)_3 + \text{HNO}_3)$  เมื่อใช้ปริมาณโลหะเหล็ก 3% ภายหลังการเผาที่อุณหภูมิ 600 องศาเซลเซียส อัตราการให้ความร้อน 10 องศาเซลเซียสต่อนาที เป็นเวลา 3 ชั่วโมง (a) 2,000 เท่า (b) 5,000 เท่า (c) 10,000 เท่า และ (d) 20,000 เท่า



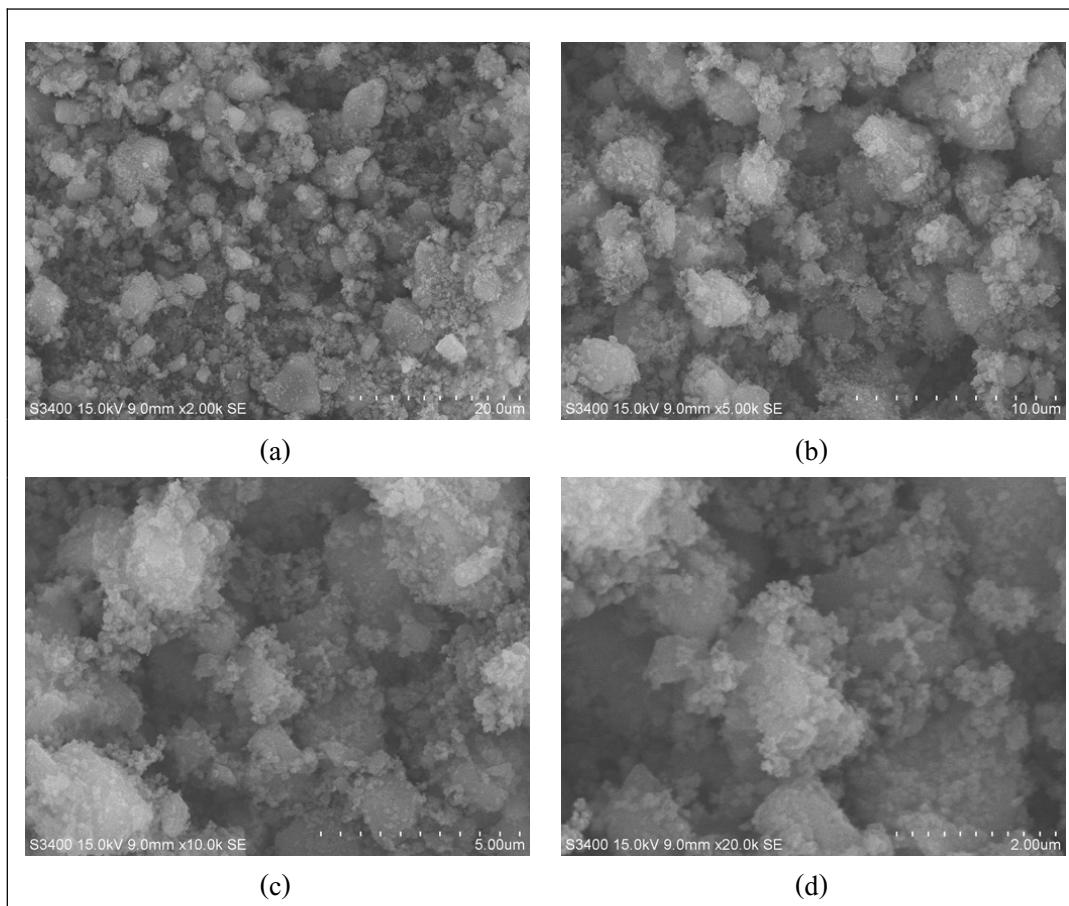
ภาพที่ 65 ภาพถ่าย SEM ของ  $\text{Fe}/\text{SiO}_2$  ที่เตรียมจากกระบวนการ Impregnation  $(\text{Fe}(\text{NO}_3)_3 + \text{H}_2\text{SO}_4)$  เมื่อใช้ปริมาณโลหะเหล็ก 3% ภายหลังการเผาที่อุณหภูมิ 600 องศาเซลเซียส อัตราการให้ความร้อน 10 องศาเซลเซียสต่อนาที เป็นเวลา 3 ชั่วโมง (a) 2,000 เท่า (b) 5,000 เท่า (c) 10,000 เท่า และ (d) 20,000 เท่า



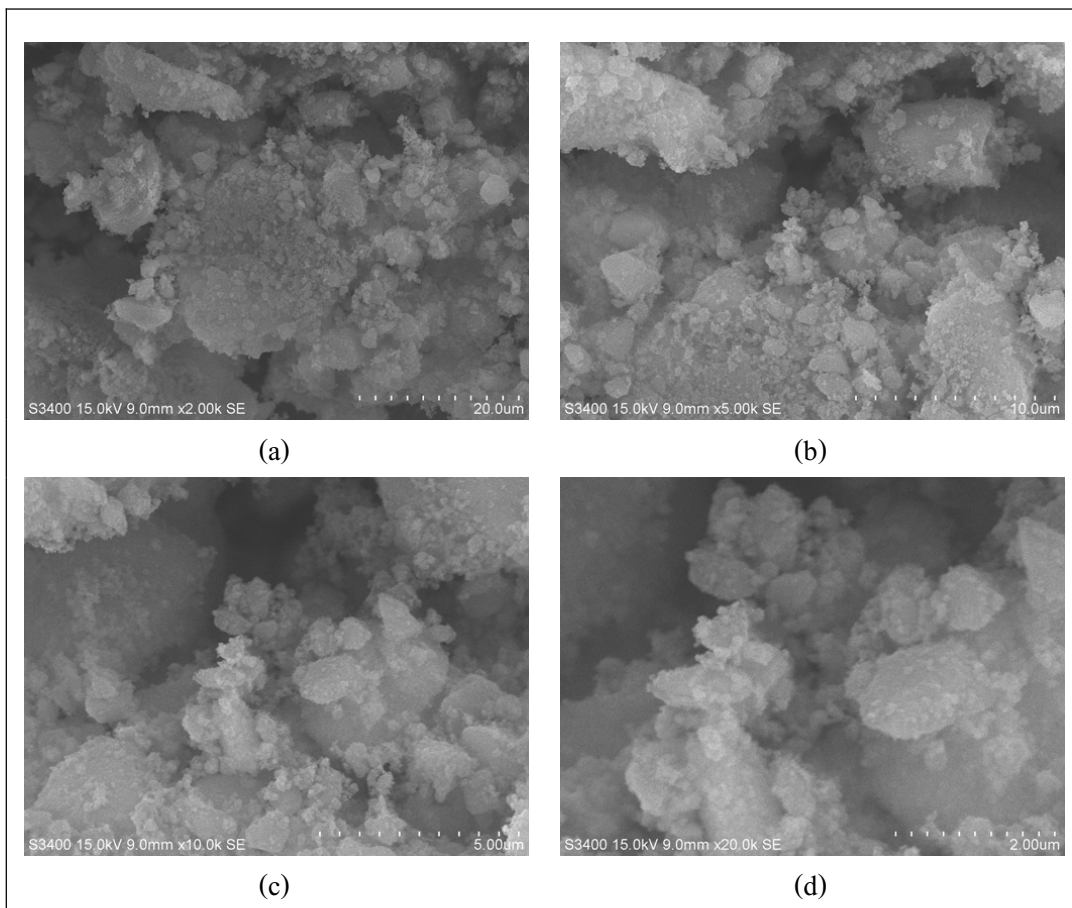
ภาพที่ 66 ภาพถ่าย SEM ของ Fe/SiO<sub>2</sub> ที่เตรียมจากกระบวนการ Impregnation (Fe(acac)<sub>3</sub>)+HNO<sub>3</sub> เมื่อใช้ปริมาณโลหะเหล็ก 3% ภายหลังการเผาที่อุณหภูมิ 600 องศาเซลเซียส อัตราการให้ความร้อน 10 องศาเซลเซียสต่อนาที เป็นเวลา 3 ชั่วโมง (a) 2,000 เท่า (b) 5,000 เท่า (c) 10,000 เท่า และ (d) 20,000 เท่า



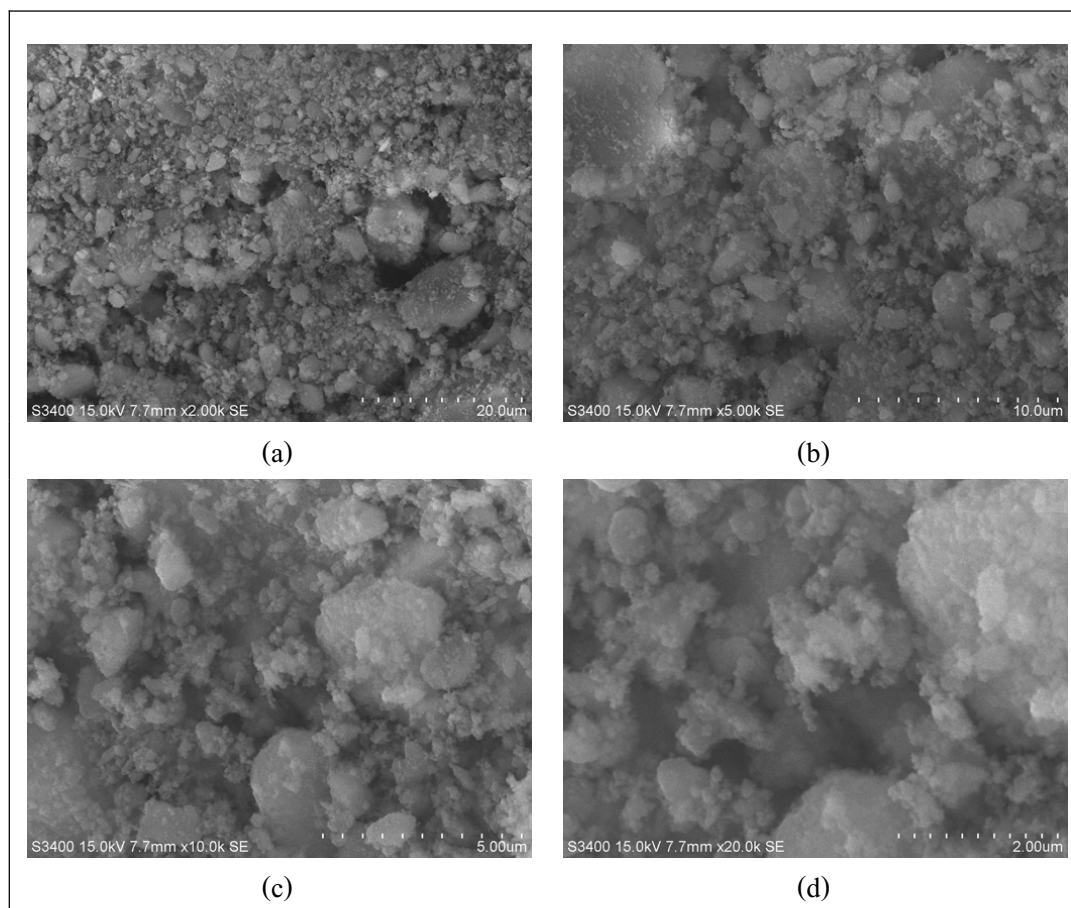
ภาพที่ 67 ภาพถ่าย SEM ของ  $\text{Fe}/\text{SiO}_2$  ที่เตรียมจากกระบวนการ Impregnation ( $\text{Fe}(\text{acac})_3 + \text{H}_2\text{SO}_4$  เมื่อใช้ปริมาณโลหะเหล็ก 3% ภายหลังการเผาที่อุณหภูมิ 600 องศาเซลเซียส อัตราการให้ความร้อน 10 องศาเซลเซียสต่อนาที เป็นเวลา 3 ชั่วโมง (a) 2,000 เท่า (b) 5,000 เท่า (c) 10,000 เท่า และ (d) 20,000 เท่า



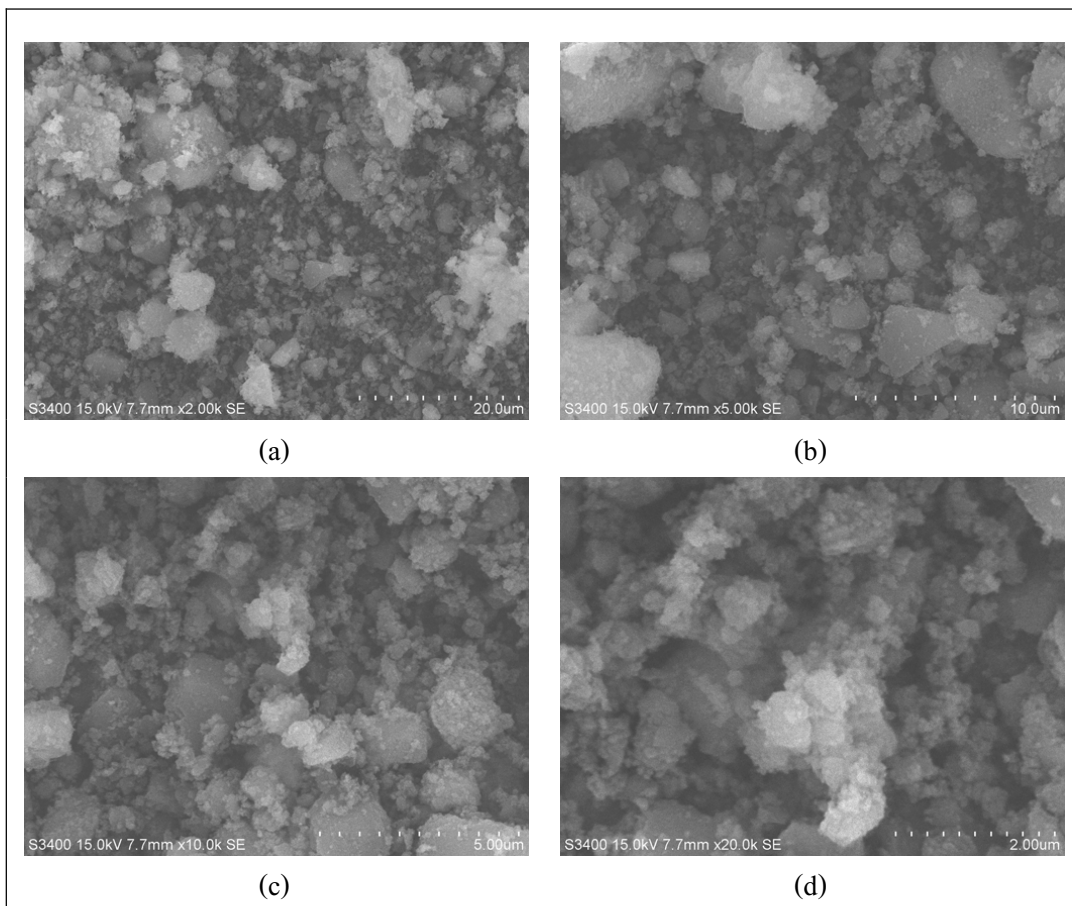
ภาพที่ 68 ภาพถ่าย SEM ของ Fe/SiO<sub>2</sub> ที่เตรียมจากการกระบวนการ Impregnation (Fe(NO<sub>3</sub>)<sub>3</sub>)+HNO<sub>3</sub> เมื่อใช้ปริมาณโลหะเหล็ก 5% ภายหลังการเผาที่อุณหภูมิ 600 องศาเซลเซียส อัตราการให้ความร้อน 10 องศาเซลเซียสต่อนาที เป็นเวลา 3 ชั่วโมง (a) 2,000 เท่า (b) 5,000 เท่า (c) 10,000 เท่า และ (d) 20,000 เท่า



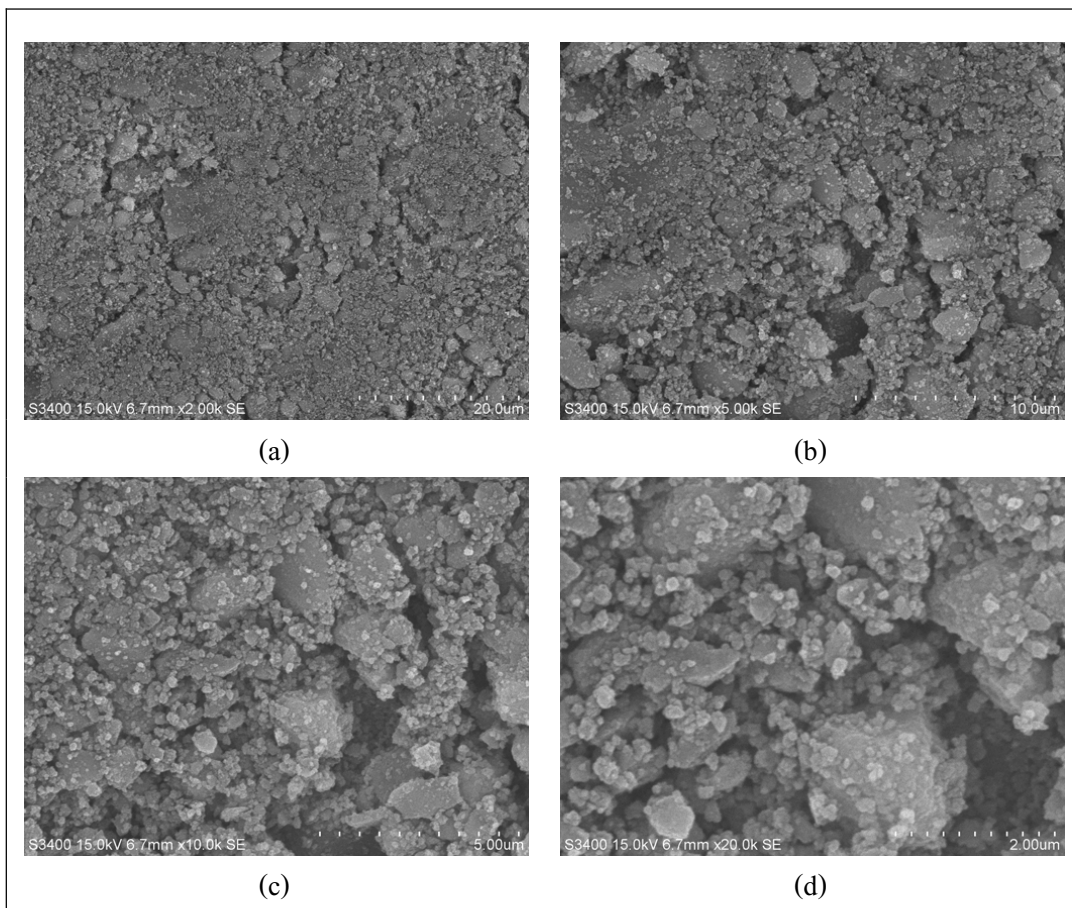
ภาพที่ 69 ภาพถ่าย SEM ของ Fe/SiO<sub>2</sub> ที่เตรียมจากกระบวนการ Impregnation (Fe(NO<sub>3</sub>)<sub>3</sub>)+H<sub>2</sub>SO<sub>4</sub> เมื่อใช้ปริมาณโลหะเหล็ก 5% ภายหลังการเผาที่อุณหภูมิ 600 องศาเซลเซียส อัตราการให้ความร้อน 10 องศาเซลเซียสต่อนาที เป็นเวลา 3 ชั่วโมง (a) 2,000 เท่า (b) 5,000 เท่า (c) 10,000 เท่า และ (d) 20,000 เท่า



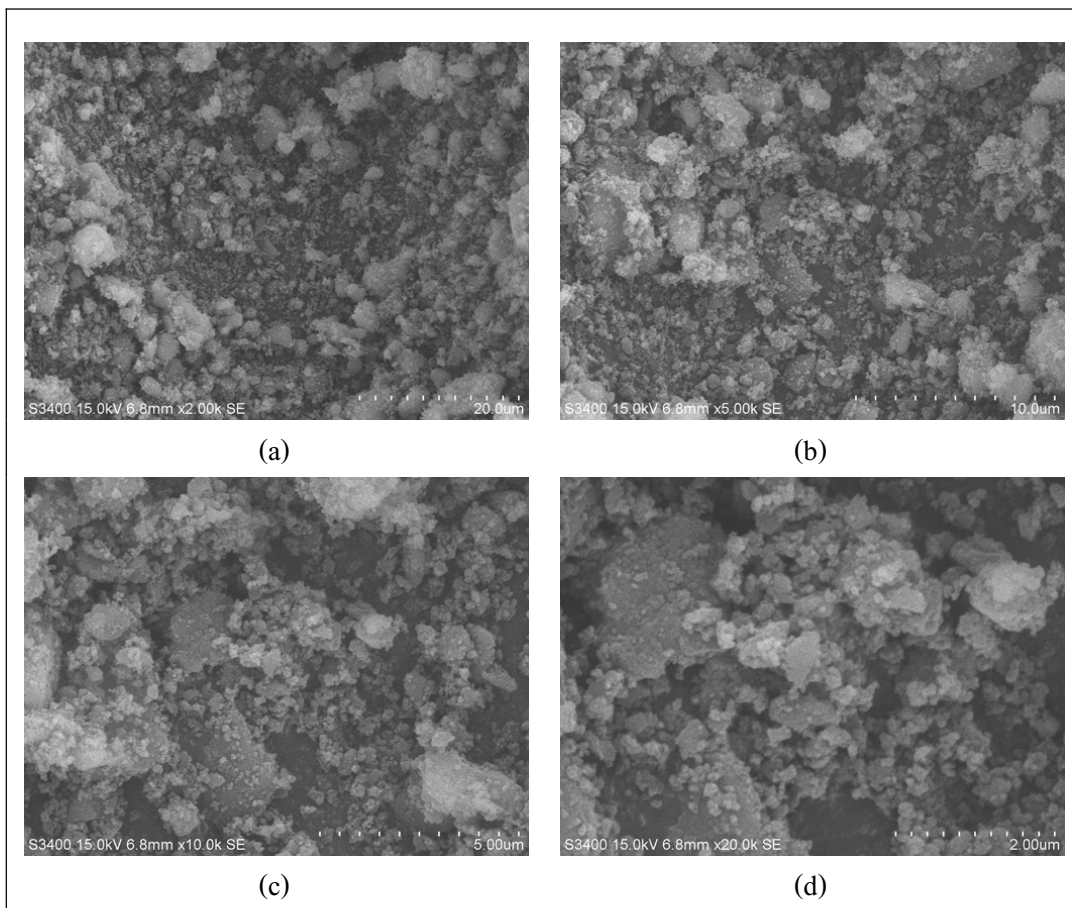
ภาพที่ 70 ภาพถ่าย SEM ของ  $\text{Fe/SiO}_2$  ที่เตรียมจากกระบวนการ Impregnation  $(\text{Fe(acac})_3 + \text{HNO}_3)$  เมื่อใช้ปริมาณโลหะเหล็ก 5% ภายหลังการเผาที่อุณหภูมิ 600 องศาเซลเซียส อัตราการให้ความร้อน 10 องศาเซลเซียสต่อนาที เป็นเวลา 3 ชั่วโมง (a) 2,000 เท่า (b) 5,000 เท่า (c) 10,000 เท่า และ (d) 20,000 เท่า



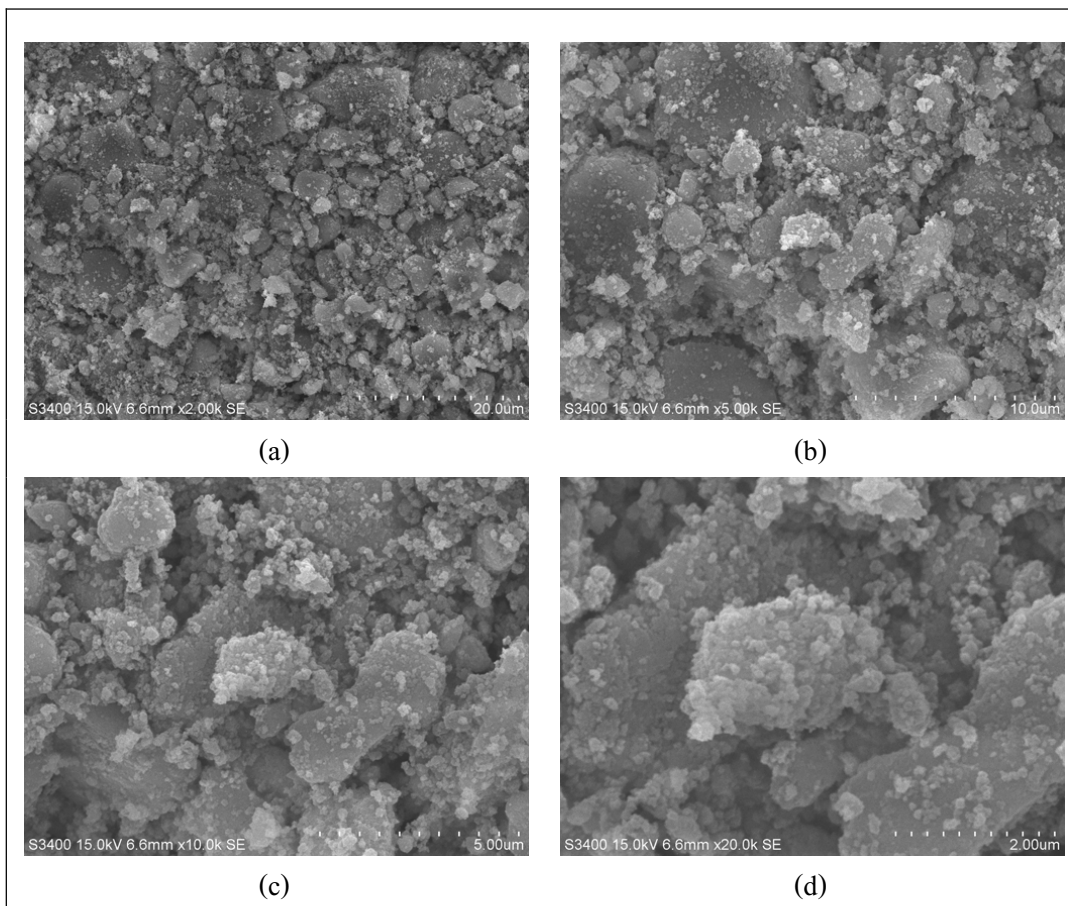
ภาพที่ 71 ภาพถ่าย SEM ของ  $\text{Fe}/\text{SiO}_2$  ที่เตรียมจากกระบวนการ Impregnation ( $\text{Fe}(\text{acac})_3 + \text{H}_2\text{SO}_4$  เมื่อใช้ปริมาณโลหะเหล็ก 5% ภายหลังการเผาที่อุณหภูมิ 600 องศาเซลเซียส อัตราการให้ความร้อน 10 องศาเซลเซียสต่อนาที เป็นเวลา 3 ชั่วโมง (a) 2,000 เท่า (b) 5,000 เท่า (c) 10,000 เท่า และ (d) 20,000 เท่า



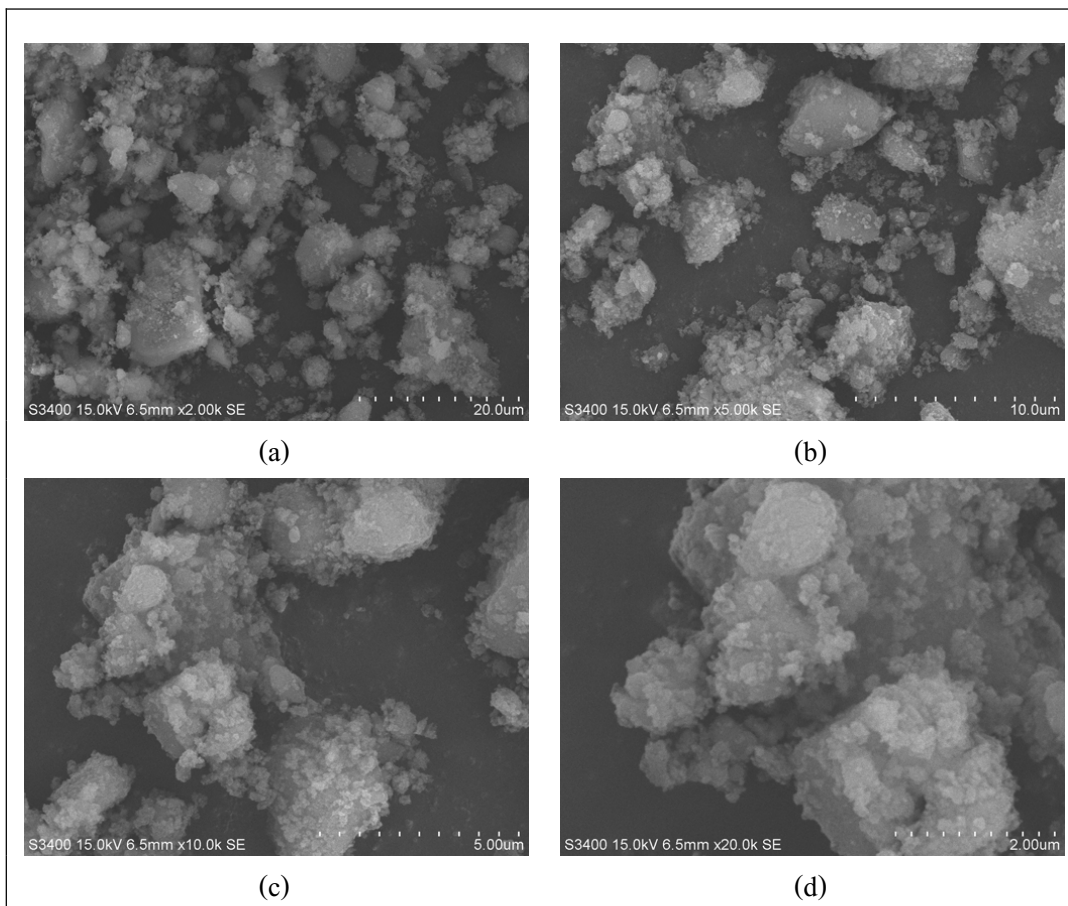
ภาพที่ 72 ภาพถ่าย SEM ของ  $\text{Fe}/\text{SiO}_2$  ที่เตรียมจากการกระบวนการ Impregnation  $(\text{Fe}(\text{NO}_3)_3)+\text{HNO}_3$  เมื่อใช้ปริมาณโลหะเหล็ก 7% ภายหลังการเผาที่อุณหภูมิ 600 องศาเซลเซียส อัตราการให้ความร้อน 10 องศาเซลเซียสต่อนาที เป็นเวลา 3 ชั่วโมง (a) 2,000 เท่า (b) 5,000 เท่า (c) 10,000 เท่า และ (d) 20,000 เท่า



ภาพที่ 73 ภาพถ่าย SEM ของ  $\text{Fe/SiO}_2$  ที่เตรียมจากกระบวนการ Impregnation  $(\text{Fe}(\text{NO}_3)_3 + \text{H}_2\text{SO}_4)$  เมื่อใช้ปริมาณโลหะเหล็ก 7% ภายหลังการเผาที่อุณหภูมิ 600 องศาเซลเซียส อัตราการให้ความร้อน 10 องศาเซลเซียสต่อนาที เป็นเวลา 3 ชั่วโมง (a) 2,000 เท่า (b) 5,000 เท่า (c) 10,000 เท่า และ (d) 20,000 เท่า



ภาพที่ 74 ภาพถ่าย SEM ของ  $\text{Fe/SiO}_2$  ที่เตรียมจากกระบวนการ Impregnation ( $\text{Fe(acac)}_3 + \text{HNO}_3$ ) เมื่อใช้ปริมาณโลหะเหล็ก 7% ภายหลังการเผาที่อุณหภูมิ 600 องศาเซลเซียส อัตราการให้ความร้อน 10 องศาเซลเซียสต่อนาที เป็นเวลา 3 ชั่วโมง (a) 2,000 เท่า (b) 5,000 เท่า (c) 10,000 เท่า และ (d) 20,000 เท่า



ภาพที่ 75 ภาพถ่าย SEM ของ  $\text{Fe}/\text{SiO}_2$  ที่เตรียมจากกระบวนการ Impregnation ( $\text{Fe}(\text{acac})_3 + \text{H}_2\text{SO}_4$  เมื่อใช้ปริมาณโลหะเหล็ก 7% ภายหลังการเผาที่อุณหภูมิ 600 องศาเซลเซียส อัตราการให้ความร้อน 10 องศาเซลเซียสต่อนาที เป็นเวลา 3 ชั่วโมง (a) 2,000 เท่า (b) 5,000 เท่า (c) 10,000 เท่า และ (d) 20,000 เท่า

ภาคผนวก ๖

**Abstrac of The 3<sup>rd</sup> International Symposium on Functional Materials, ISFM 2009**

**15<sup>th</sup>-18<sup>th</sup> 2009 JinJu,Korea**

**(Oral presentation)**

**Fabrication and characterization of Fe/SiO<sub>2</sub> nanoparticles using silatrane precursor  
for carbon nanotubes growth**

Watinee Klaharn<sup>1,2</sup>, Manop Panapoy<sup>1,2</sup>, Bussarin Ksapabutr<sup>1,2,\*</sup>

<sup>1</sup>Department of Materials Science and Engineering, Faculty of Engineering and Industrial Technology,

Silpakorn University, Sanamchandra Palace Campus, Nakhon Pathom 73000, Thailand

<sup>2</sup>Center of Excellence for Petroleum, Petrochemicals and Advanced Materials,

Chulalongkorn University, Bangkok, 10330, Thailand

E-mail address : kbussarin@yahoo.com (Corresponding author)

The control of hydrolysis and condensation is the key to synthesis of mesoporous and microporous materials, through sol-gel processing. However, tetraethoxysilane (TEOS) is extremely susceptible to hydrolysis by water. Thus, it is of interest to use silatrane, an organosilicate compound which is more stable toward hydrolysis and can be conveniently synthesized by the Oxide One Pot Synthesis (OOPS) process [1-2]. In this study, silatrane was synthesized from the reaction of SiO<sub>2</sub>, triethanolamine and ethylene glycol via OOPS process using triethylenetetraamine as catalyst under nitrogen atmosphere. The obtained silatrane complex was further used as a Si source for synthesis of Fe/SiO<sub>2</sub> catalysts via sol-gel technique. Furthermore; multi-walled carbon nanotubes were produced on Fe/SiO<sub>2</sub> catalysts by a chemical vapor deposition process. Various process parameters such as the reaction time, the temperature and the amount of metal on the SiO<sub>2</sub> support were investigated. The effect of these parameters on both the morphology of the deposit and the carbon deposited yield was examined.

[1] P.Piboonchaisit, S. Wongkasemjit, R. Laine, J. Sci. Soc. Thailand 25 (1999) 113.

[2] W. Charoenpinijkarn, M. Suwankruhagsn, B. Ksapabutr, S. Wongkasemjit, A.M. Jamieson, Eur. Polym.J. 37 (2001) 1441.

## ประวัติผู้วิจัย

ชื่อ-สกุล	นางสาววาราทินี กล้าหาญ
ที่อยู่ที่ติดต่อได้	152 หมู่ 2 ตำบล หนองกระทุ่ม อำเภอ กำแพงแสน จังหวัด นครปฐม 73140
โทรศัพท์	086-5330880
E-mail address	wa_petro@hotmail.com
ประวัติการศึกษา	
พ.ศ. 2546	สำเร็จการศึกษาระดับมัธยมศึกษาตอนต้นนั่น-ปลาย โรงเรียนมัธยมฐานบินกำแพงแสน จังหวัดนครปฐม
พ.ศ. 2550	สำเร็จการศึกษาปริญญาวิศวกรรมศาสตรบัณฑิต สาขาวิชาปิโตรเคมีและวัสดุพอลิเมอร์ มหาวิทยาลัยศิลปากร
พ.ศ. 2551	ศึกษาต่อระดับปริญญาโทบัณฑิต สาขาวิชาวิทยาการและวิศวกรรมพอลิเมอร์ บัณฑิตวิทยาลัย มหาวิทยาลัยศิลปากร
ประสบการณ์การทำงาน	
พ.ศ. 2549	บริษัท ไทย คอมโพสิท จำกัด
ผลงานทางวิชาการ	
(1)	Watinee Klaharn, Manop Panapoy and Bussarin Ksapabutr. “Fabrication and characterization of Fe/SiO <sub>2</sub> nanoparticles using silatrane precursor for carbon nanotubes growth.” <u>The 3<sup>rd</sup> International Symposium on Functional Materials</u> , June 15-18, 2009, Jinju, Korea.
(2)	วาราทินี กล้าหาญ, มาโนพ ปานะ โปป และบุศรินทร์ เมฆะปะบุตร. “ตัวเร่งปฏิกิริยาเหล็กบนตัวรองรับซิลิกาโดยใช้สารตั้งต้นไซเลนท์จากการสังเคราะห์ด้วยสารประกอบออกไซด์เพียงขั้นตอนเดียวสำหรับการปลูกท่อนาโนคาร์บอน.” <u>การประชุมวิชาการวิทยาศาสตร์และเทคโนโลยี</u> ครั้งที่ 8, 19 มีนาคม 2553, คณะวิทยาศาสตร์และเทคโนโลยี มหาวิทยาลัยธรรมศาสตร์.

- (3) Watinee Klaharn, Manop Panapoy and Bussarin Ksapabutr "Synthesis of carbon nanotubes on Fe/SiO<sub>2</sub> by chemical vapor deposition process." The 1<sup>st</sup> National Research Symposium on Petroleum, Petrochemicals, and Advanced Materials and The 16<sup>th</sup> PPC Symposium on Petroleum, Petrochemicals, and polymers, April 22, 2010, Montien Hotel Bangkok, Thailand.